

МІНІСТЕРСТВО ВИЩОЇ  
І СЕРЕДНІОЇ СПЕЦІАЛЬНОЇ ОСВІТИ УРСР

МИНИСТЕРСТВО ВЫСШЕГО  
И СРЕДНЕГО СПЕЦИАЛЬНОГО ОБРАЗОВАНИЯ УССР

ПРАЦІ  
ОДЕСЬКОГО ДЕРЖАВНОГО  
УНІВЕРСИТЕТУ  
імені І. І. МЕЧНИКОВА

РОК XCVIII

ВІСТИ  
АСТРОНОМІЧНОЇ ОБСЕРВАТОРІЇ

ТОМ 5

МАТЕРІАЛИ МГР ПО МЕТЕОРАХ

ТОМ 152

ВИПУСК 2

ТРУДЫ  
ОДЕССКОГО ГОСУДАРСТВЕННОГО  
УНИВЕРСИТЕТА  
имени И. И. МЕЧНИКОВА

ГОД XCVIII

ТОМ 152

ИЗВЕСТИЯ  
АСТРОНОМИЧЕСКОЙ ОБСЕРВАТОРИИ

ТОМ 5

ВЫПУСК 2

МАТЕРИАЛЫ МГГ ПО МЕТЕОРАМ

ВИДАВНИЦТВО КІЇВСЬКОГО УНІВЕРСИТЕТУ  
1963

ИЗДАТЕЛЬСТВО КИЕВСКОГО УНИВЕРСИТЕТА  
1963

НАУКОВА БІБЛІОТЕКА ОНУ

Выпуск содержит результаты обработки фотографических, фотометрических и спектральных исследований метеоров во время МГГ.

Приведены элементы орбит 90 метеоров и параметры атмосферы в метеорной зоне.

**РЕДАКЦИОННАЯ КОЛЛЕГИЯ:**

проф. В. П. ЦЕСЕВИЧ (ответственный редактор),  
доц. А. М. ШУЛЬБЕРГ, научный сотрудник [Р. Л. ДРЕИЗИН]

Печатается по постановлению  
редакционно-издательского совета  
Одесского государственного университета  
имени И. И. Мечникова

ТРУДЫ ОДЕССКОГО ГОСУДАРСТВЕННОГО УНИВЕРСИТЕТА  
им. И. И. МЕЧНИКОВА

год ХCVIII том V Известия Астрономической обсерватории

том 152 вып. 2

Е. Н. КРАМЕР, В. А. ВОРОБЬЕВА, О. А. РУДЕНКО

## ОПЫТ РАБОТЫ НА МЕТЕОРНОМ ПАТРУЛЕ ОДЕССКОЙ АСТРОНОМИЧЕСКОЙ ОБСЕРВАТОРИИ ВО ВРЕМЯ МЕЖДУНАРОДНОГО ГЕОФИЗИЧЕСКОГО ГОДА

С июля 1957 года по декабрь 1958 года на станциях Одесской астрономической обсерватории велись фотографические наблюдения метеоров по программе МГГ. Ниже излагаются некоторые результаты обработки наблюдений. Первая глава посвящена вычислению гелиоцентрических орбит. Здесь исследуются их распределение в пространстве, связь метеорных потоков с кометами и с наблюдавшимися ранее потоками. Из 90 орбит 10 гиперболические. Авторы пытаются объяснить наличие гиперболических метеоров происходящими вблизи Земли процессами, в результате которых порождаются метеорные частицы, движущиеся либо по короткопериодическим, либо по гиперболическим орбитам.

Вторая глава посвящена вычислению параметров атмосферы в метеорной зоне. Существенным здесь является предположение о низкой плотности метеорных частиц. Получено хорошее внутреннее согласие результатов. На высоте 85—95 км плотность атмосферы, вычисленная по метеорным данным, совпадает с измеренной прямыми методами.

В третьей главе содержится описание метода определения времени полета метеора с помощью обтюратора переменного сечения; оценивается точность метода.

- Первая глава написана Е. Н. Крамером и В. А. Воробьевой, вторая — Е. Н. Крамером, третья — В. А. Воробьевой и О. А. Руденко.

### Глава I

#### ГЕЛИОЦЕНТРИЧЕСКИЕ ОРБИТЫ 90 МЕТЕОРОВ

С июля 1957 года на станциях Одесской астрономической обсерватории ведется систематическое фотографирование метеоров. Патрулирование метеоров производится из трех пунктов. Основной фотографический агрегат с обтюратором переменного сечения [1] установлен на окраине села Маяки (A), два других — в селе Крыжановка (B) и на территории бота-

нического сада Одесского государственного университета в Одессе (С). Расстояния между пунктами наблюдения соответственно равны  $AB=45$  км,  $AC=39$  км и  $BC=14$  км. Каждый из агрегатов состоит из четырех фотографических камер НАФА ЗС/25 ( $F=250$  мм,  $D=100$  мм), программирующего устройства и приборов контроля. Обтюратор состоит из синхронного трехфазного двигателя (1440 об/мин), двух редукторов и двух дисков с вырезами. На нижнем диске имеются два выреза, на верхнем — один. Следовательно, нижний диск в течение одного оборота двигателя дважды, а верхний — один раз перекрывают все объективы. Оба диска кинематически связаны редуктором. Коэффициент редукции  $i = -93024:93025$ . Верхний диск в течение экспозиции непрерывно смещается относительно нижнего и делает относительно него один полный оборот в среднем за 1 час и 4 минуты. При некотором фиксированном положении дисков замыкается контакт нульпункта, соответствующий сигнал поступает в механизм перемотки пленки и одновременно регистрируется на ленте хронографа. Для контроля числа оборотов применяется контактный датчик, связанный с валом мотора вторым редуктором. Через каждые 250 оборотов основного вала производится отпечаток на ленте хронографа.

До 1 января 1959 года получено больше ста базисных фотографий метеоров. Для 90 метеоров вычислены гелиоцентрические орбиты. В наблюдениях принимали участие: Воробьев А. А., Израэцкая Н. Н., Крамер Е. Н., Ланге Г. А., Руденко О. А. и Теплицкая Р. Б. Измерение снимков и предварительные вычисления производили под руководством Крамера Е. Н. следующие сотрудники обсерватории: Воробьев А. А., Израэцкая Н. Н., Маркина А. К., Руденко О. А., Силаев А. Б., Теплицкая Р. Б. и Ширяева Е. П., а также вычислители-операторы: Кордюкова А. И., Власенко Ж. А. и Межецкая Р. Б.

*Вычисление гелиоцентрических элементов.* Сферические координаты видимого радианта  $t$  и  $\delta$  исправлялись за зенитное притяжение и aberrацию при помощи дифференциальных поправок, определяемых по обычным формулам [2, 3]:

за зенитное притяжение

$$\begin{aligned} \Delta t_1 \cos \delta &= \Delta z \sin P, \\ \Delta \delta_1 &= -\Delta z \cos P, \end{aligned} \quad (1)$$

где  $\Delta z = z_{\text{набл.}} - z_{\text{нсп.}}$  — зенитное расстояние радианта;  $P$  — параллактический угол;  $z$  — зенитное расстояние радианта;

за aberrацию

$$\begin{aligned} \Delta t_2 &= 1594' \cdot 2 \cdot \frac{\cos \varphi \cos t}{v \cos \delta}, \\ \Delta \delta_2 &= -1594' \cdot 2 \cdot \frac{\cos \varphi \sin t \sin \delta}{v}. \end{aligned} \quad (2)$$

Здесь  $\varphi$  — широта места наблюдения,  $v$  — скорость метеора (при вычислении поправок снималась с графика).

Время полета метеора вычислялось по чередованию штрихов различной длины на снимках, полученных на установке с обтюратором переменного сечения. Это позволило для каждого сфотографированного метеора вычислить прямое восхождение радианта. Во время наблюдения Геминид 1958 года на ленте хронографа не печатался нульпункт шкалы времени. Пришлось решать обратную задачу — по среднему радианту Геминид вычислить нульпункт и затем время полета каждого метеора (в частности, яркого метеора № 100).

Видимая относительная скорость  $v_0$  исправлялась за сопротивление воздуха, зенитное притяжение и aberrацию. Для вычисления внеатмосферной скорости метеора можно воспользоваться уравнением движения метеорной частицы в сопротивляющейся среде [4]:

$$m \frac{dv}{dt} = -\Gamma \rho_a s v^2, \quad (3)$$

где  $m$  — масса метеорной частицы,  $\Gamma$  — коэффициент сопротивления,  $\rho_a$  — плотность атмосферы и  $s$  — площадь мидлевого сечения. Для сферической частицы

$$\frac{s}{m} = A m^{-1/2}; \quad (4)$$

коэффициент  $A$  зависит от плотности метеорной частицы  $\rho_m$ . В среднем  $\rho_m = 0.1 \text{ г/см}^3$  [5]. Масса метеорной частицы вычисляется из уравнения свечения [6]:

$$I = \beta \frac{dm}{dt} \frac{v^2}{2}, \quad \lg I = -0.4 M + 9.72, \quad (5)$$

где  $M$  — блеск метеора,  $\beta$  — некоторый коэффициент, который зависит от структуры и массы метеорной частицы. Таким образом, точную величину внеатмосферной скорости метеоров можно получить после интегрирования уравнения движения (3) и уравнения свечения (5) по формуле [4]:

$$v_\infty = v_0 e^{-\Gamma A \frac{m^{-1/2}}{\cos z} \int_{H_0}^\infty \rho_a dh}. \quad (6)$$

При этих вычислениях можно воспользоваться величиной плотности атмосферы  $\rho_a$ , полученной из прямых измерений. Однако, вычисление массы метеора несколько затруднено из-за неуверенности в выборе величины  $\beta$ , что несколько усложняет применение формулы (6).

Если представить измеренные значения скорости  $v_i$  интерполяционной формулой [7]:

$$v = A + B e^{xt}, \quad (7)$$

то скорость метеорной частицы вне атмосферы равна  $v_\infty = A$ . При этом, однако, экстраполируется зависимость скорости от времени на участки, лежащие далеко за пределами измеренной части траектории.

Так как мы вычисляли скорость и торможение методами графического слаживания, то в первом приближении при вычислении внеатмосферной скорости можно было ограничиться предположением, что плотность атмосферы над метеорной зоной изменяется по закону:

$$\rho_a = \rho_0 e^{-\frac{h}{H_o^*}}, \quad (8)$$

где  $\rho_0$  — плотность атмосферы в некоторой фиксированной точке (в этой точке измерялись скорость  $v_o$  и торможение  $j_o$  метеора);  $H_o^*$  — высота однородной атмосферы. В таком случае (3) может быть записано в следующем виде:

$$\frac{dv}{v} = \Gamma \frac{s}{m} \frac{\rho_0}{\cos z} e^{-\frac{h}{H_o^*}} dh. \quad (9)$$

Откуда

$$v_\infty = v_o e^{\frac{j_o H_o^*}{\cos z v_o^2}}. \quad (10)$$

Разложив это решение уравнения (9) в ряд и пренебрегая величинами высшего порядка, получим рабочую формулу для вычисления внеатмосферной скорости [7]:

$$v_\infty = v_o \left[ 1 - \frac{j_o H_o^*}{\cos z v_o^2} \right], \quad (11)$$

где  $z$  — зенитное расстояние радианта,  $H_o^* = 7.5$  км.

Геоцентрическая скорость вычислялась с учетом зенитного притяжения и суточной aberrации по известным формулам [3, 8]:

$$(\bar{v}_g)^2 = v_\infty^2 + u^2 - 2v_\infty u \cos \psi, \quad (12)$$

$$\cos \psi = \cos \delta \cos [\alpha - (S + 90^\circ)],$$

$$v_g = \sqrt{\bar{v}_g^2 - 2gr}, \quad (13)$$

где  $\alpha, \delta$  — координаты радианта,  $S$  — звездное время,  $u$  и  $r$  — линейная скорость вращения и радиус Земли,  $g$  — ускорение свободного падения.

Элементы орбиты вычислялись по формулам [9]:

$$\sqrt{p} \cos i = R_t v_g \sin (\lambda_R - \lambda_\odot) \cos \beta_R + \sqrt{p_t}, \quad (14)$$

$$\sqrt{p} \sin i = R_t v_g |\sin \beta_R|, \quad (15)$$

$$\begin{aligned} \Omega &= \lambda_\odot && \text{при } \beta_R > 0, \\ \Omega &= \lambda_\odot + 180^\circ && \text{при } \beta_R < 0. \end{aligned} \quad (16)$$

$$e \sin \theta = \sqrt{p} [v_g \cos \beta_R \cos (\lambda_R - \Omega) - \frac{e_t}{\sqrt{p_t}} \cdot \sin (\Omega - \pi_t)], \quad (17)$$

$$e \cdot \cos \theta = \frac{p}{R_t} - 1, \quad (18)$$

$$\omega = 180^\circ - \theta \quad \text{при } \beta_R > 0, \\ \omega = \theta \quad \text{при } \beta_R < 0, \quad (19)$$

$$\frac{1}{a} = \frac{2}{R_t} - v_h^2, \quad (20)$$

Контроль:

$$\frac{1}{a} = \frac{1 - e^2}{p}. \quad (21)$$

Здесь, кроме обычных обозначений элементов орбиты метеора и Земли (последние со значком  $t$ ),  $\lambda_R$  и  $\beta_R$  — эклиптические координаты видимого радианта;  $v_g, v_h$  — геоцентрическая и гелиоцентрическая скорости метеора (в единицах средней орбитальной скорости Земли);  $R_t$  — гелиоцентрическое расстояние Земли в момент наблюдения и  $\lambda_\odot$  — долгота Солнца.

Применение этих формул освобождает от необходимости вычислять координаты истинного радианта.

**Элементы орбиты.** В таблице I приведены элементы орбиты и другие данные для 90 метеоров, наблюдавшихся с июля 1957 года по декабрь 1958 года.

В 1-й строке таблицы дается номер метеора, год (после 1900) и номер месяца наблюдения;

во 2-й и 3-й — дата всемирного времени и звездное время в момент полета метеора;

в 4-й — долгота Солнца;

в 5-й и 6-й — координаты видимого радианта (часовой угол и склонение);

в 7-й и 8-й — координаты исправленного радианта (прямое восхождение и склонение, эпоха 1950.0);

в 9-й — скорость  $v_0$  км/сек в некоторой средней точке пути метеора;

в 10-й — скорость ( $v_\infty$ ), исправленная за сопротивление воздуха;

в 11-й — геоцентрическая скорость  $v_g$  км/сек;  
 в 12-й — гелиоцентрическая скорость  $v_h$  км/сек;  
 в 13-й — ускорение в точке, где измерялась скорость  $v_0$ ;  
 в 14-й—16-й — высоты первого и последнего штрихов и продолжительность метеора;

в 17-й — косинус зенитного расстояния видимого радианта;  
 в 18-й —  $\epsilon_A$  — элонгация исправленного радианта от апекса Земли;  
 в 19-й—24-й — элементы орбиты;  
 в 25-й —  $q'$  — расстояние в афелии (астр. ед.);  
 в 26-й —  $n$  — число перерывов, которое, в частности, зависит от положения лопастей обтюратора.

Метеоры измерялись дважды. Вычисления производились для каждого измерения в отдельности. Были получены две системы элементов. Если обозначить геоцентрические скорости первого и второго вариантов соответственно через  $(v_0)_I$  и  $(v_0)_{II}$ , то величина

$$\frac{\Delta}{2} = \frac{(v_0)_{II} - (v_0)_I}{2} \quad (22)$$

дает возможность перейти от приведенных в таблице 1 значений  $v_0$  к их средним из двух измерений значениям.

В 27-й строке приведены поправки  $\frac{\Delta}{2}$ , так что всегда можно оценить скорость

$$(v_0)_{\text{ср.}} = v_0 + \frac{\Delta}{2}. \quad (23)$$

В 28-й строке приведен синус угла сближения — угла между дугами больших кругов, проведенных через фотометеоры на базисных снимках. В случае, когда метеор сфотографирован из трех пунктов, дается большее значение  $\sin Q'$  — вычисления тогда производились для соответственных снимков.

В 29-й строке приведены значения величины  $K$ , характеризующей связь метеоров с кометами или астероидами. По Уиппру [10], при  $K < 0$  возможно происхождение метеора из астероидов, при  $K > 0$  предпочтительнее связь метеора с кометами.

В 30-й строке даны сведения о принадлежности метеора к потоку или о его связи с кометой; отсутствие данных для конкретного метеора позволяет отнести его к спорадическим.

По этой классификации все метеоры распределяются следующим образом: Персеиды — 28 метеоров, Геминиды — 8, ё-Аквариды — 2, Ориониды — 2, Таврид — 1, спорадических — 49. Из 49 спорадических метеоров 15 связаны с менее известными потоками. В таблице 2 приведены радианты этих метеоров; для сравнения здесь же даны даты максимумов и координаты радианта соответствующего потока.

Таблица 1									
1	№, гол. месяц	1-57:7	3-57:7	6-57:7	7-57:7	13-57:8	14-57:8	20-89/2	20-89/7
2	Дата $UT$	29.997	29.899	30.921	30.973	20.802	20.897	20-89/2	20-89/7
3	Зв. время $S$	22 <sup>h</sup> 25 <sup>m</sup>	20 <sup>h</sup> 47 <sup>m</sup>	20 <sup>h</sup> 06 <sup>m</sup>	21 <sup>h</sup> 54 <sup>m</sup>	19 <sup>h</sup> 11 <sup>m</sup>	19 <sup>h</sup> 11 <sup>m</sup>	21 <sup>h</sup> 27 <sup>m</sup>	21 <sup>h</sup> 27 <sup>m</sup>
4	$\lambda, \odot$	126°27'	126°23'	127°20'	127°23'	127°25'	147°22'	147°28'	147°28'
5	Буд. радиант	$\left\{ \begin{array}{l} t \\ \delta \end{array} \right.$	$\left\{ \begin{array}{l} t \\ \delta \end{array} \right.$	$\left\{ \begin{array}{l} h \\ m \end{array} \right.$	$\left\{ \begin{array}{l} h \\ m \end{array} \right.$	$\left\{ \begin{array}{l} h \\ m \end{array} \right.$	$\left\{ \begin{array}{l} h \\ m \end{array} \right.$	$\left\{ \begin{array}{l} h \\ m \end{array} \right.$	$\left\{ \begin{array}{l} h \\ m \end{array} \right.$
6	Испр. радиант	$\left\{ \begin{array}{l} t \\ \delta_R \end{array} \right.$	$\left\{ \begin{array}{l} t \\ \delta_R \end{array} \right.$	$\left\{ \begin{array}{l} h \\ m \end{array} \right.$					
7	$v_0, \text{км/сек}$	64.9	42.5	60.5	61.3	36.6	58.5	24.3	23.0
8	$v_\infty, \text{км/сек}$	64.9	43.9	60.7	61.4	37.3	58.6	25.5	24.6
9	$v_g, \text{км/сек}$	63.8	42.3	59.4	60.2	35.6	57.3	23.0	23.1
10	$v_h, \text{км/сек}$	40.3	38.7	41.7	38.6	38.5	39.7	38.5	40.4
11	$j, \text{км}$	-0.30	-2.70	-1.0	-0.70	-1.60	-0.60	-3.64	-3.62
12	$H_n, \text{км}$	103.1	95.5	108.8	98.5	92.2	108.3	97.8	93.3
13	$H_k, \text{км}$	92.3	89.5	94.5	76.0	84.3	87.5	94.9	89.5
14	$\Delta t, \text{час}$	0.17	0.39	0.39	0.57	0.47	0.47	0.14	0.23
15	$\cos^2 R$	0.859	0.352	0.605	0.646	0.466	0.766	0.903	0.759
16	$q, \text{а}$	27°54'	62°29'	40°29'	32°08'	71°57'	40°19'	93°58'	99°46'
17	$q', \text{а}$	27°54'	62°29'	40°29'	32°08'	71°57'	40°19'	93°58'	99°46'
18	$\Delta t, \text{час}$	1950.0	13327'	30°19'	11254'	12725'	12725'	14728'	14728'
19	$e$	0.860	0.980	0.987	0.855	0.940	0.818	0.699	0.902
20	$q$	0.968	0.075	0.957	0.500	0.201	0.934	1.007	0.702
21	$q, \text{а}$	20556'	151°05'	152°10'	273°49'	130°58'	145°23'	171°48'	249°16'
22	$q, \text{а}$	20556'	151°05'	152°10'	273°49'	130°58'	145°23'	147°22'	147°28'
23	$q, \text{а}$	13327'	30°19'	11254'	140°28'	93°58'	111°48'	36°16'	13°20'
24	$a, \text{а}$	6.90	3.57	7.07	3.45	3.33	5.24	3.35	7.20
25	$q'$	12.83	7.07	143.6	6.40	6.46	9.55	3.70	13.69
26	$n$	18	40	56	56	69	68	20	23
27	$\sin Q$	+1.50	+0.04	+0.07	-0.10	-0.10	+0.19	0.00	-0.10
28	$\Delta \kappa, \text{км/сек}$	0.143	0.355	0.375	0.308	0.259	0.038	0.364	0.392
29	$K$	1.55	2.06	1.03	0.65	1.03	0.71	0.26	1.15
30	Класс	Персейд	Ё Аквар.	Персейд	Ё Аквар.				

1	$\#_{\text{т.м.}}$	15.57.8	17.57.8	18.57.8	19.57.8
2	$UT$	25.825	25.136	19.890	28.843
3	$S$	20.04.5	1.04.8	19.57.9	21.14.4
4	$\lambda \odot$	152°13'	151°27'	153°06'	146°29'
5	$t$	2.48.9	5.35.1	0.12.6	2.16.9
6	$\hat{\nu}$	614°41'	55°39'	63°13'	55°51'
7	$\alpha_R$	284°02'	284°51'	298°43'	280°56'
8	$\delta_R$	64°45'	53°21'	63°51'	55°48'
9	$v_o$	24.8	22.6	28.7	24.9
10	$v_\infty$	25.3	24.5	29.2	25.3
11	$v_g$	22.9	22.2	27.1	22.9
12	$v_h$	38.5	38.4	38.8	38.8
13	$j$	-1.20	-3.64	-1.81	-0.95
14	$H_H$	95.0	93.8	92.5	94.4
15	$H_x$	74.0	89.1	84.9	80.4
16	$\Delta f$	0.99	0.32	0.26	0.64
17	$\cos z_R$	0.873	0.640	0.957	0.919
18	$\xi_A$	93°34'	96°34'	86°30'	95°14'
19	$e$	0.692	0.728	0.721	0.730
20	$q$	1.008	0.986	0.990	0.996
21	$\omega$	173°23'	199°40'	197°21'	196°52'
22	$\Omega$	152°13'	151°27'	155°09'	146°52'
23	$i$	36°12'	33°51'	43°48'	35°26'
24	$a$	3.27	3.27	3.62	3.55
25	$q'$	5.54	6.25	6.11	7.38
26	$n$	96	32	26	62
27	$\nu_{1/2} \Delta$	-0.16	+0.03	-0.08	-0.05
28	$\sin Q$	0.457	0.905	0.346	0.362
29	$K$	0.24	0.22	0.33	0.34
30	Класс	Драк.	Лебедя	κ Лебедя	κ Лебедя

1	$\#_{\text{т.м.}}$	23.57.10	26.57.10	27.57.10	28.57.10
2	$UT$	20.027	27.812	28.103	29.098
3	$S$	4.32.6	23.52.9	6.57	7.13.7
4	$\lambda \odot$	206°15'	214°01'	214°48'	215°19'
5	$t$	17.28.2	6.37.6	0.15.2	0.08.6
6	$\hat{\nu}$	37°42'	55°35'	18°00'	16°24'
7	$\alpha_R$	168°41'	255°53'	100°09'	95°53'
8	$\delta_R$	37°29'	53°39'	17°48'	16°11'
9	$v_o$	64.3	29.5	68.3	66.9
10	$v_\infty$	10	30.3	69.2	67.1
11	$v_g$	63.0	28.5	68.4	66.2
12	$v_h$	46.4	43.3	43.4	41.9
13	$j$	-	-1.66	-7.50	-1.8
14	$H_H$	109.0	100.8	111.4	108.7
15	$H_x$	102.7	88.8	95.1	97.3
16	$\Delta f$	0.28	0.80	0.26	0.20
17	$\cos z_R$	0.367	0.534	0.878	0.866
18	$\xi_A$	44°10'	94°54'	25°39'	27°16'
19	$e$	1.242	1.077	1.064	1.050
20	$q$	0.574	0.973	0.570	0.518
21	$q'$	103°38'	163°49'	80°44'	88°06'
22	$Q$	206°15'	214°01'	34°18'	35°08'
23	$i$	115°52'	40°77'	168°08'	164°06'
24	$a$	-2.37	-12.6	-8.93	25.38
25	$q'$	-	-	50.26	38.04
26	$n$	28	78	26	27
27	$\nu_{1/2} \Delta$	-0.18	-0.04	+1.57	-0.02
28	$\sin Q$	0.093	0.333	0.999	+0.666
29	$K$	0.344	1.33	1.46	0.685
30	Класс	Близн.	Близн.	2.38	2.13

33

П р о д о л ж е н и е т а б л и ц ы I

1	$\frac{M_{\odot}}{U_T}$	35.57;12	36.57;12	37.58;1	39.58;3	40.58;3
2	$\frac{h}{U_T}$	14.919	14.952	9.778	18.732	19.014
3	$S$	5.39.0	5.24.8	$h/m$	$h/m$	$h/m$
4	$\lambda \odot$	26234'	26236'	288554'	357333'	357347'
5	$f$	21.05.9	22.48.5	$h/m$	$h/m$	$h/m$
6	$\delta$	30°44'	32°31'	0.56.4	21.56.2	1.40.6
7	$\alpha_R$	129°05'	113°48'	39°06'	60°24'	55°57'
8	$\delta_R$	30°01'	32°14'	42°06'	176°06'	181°44'
9	$v_0$	28.7	36.4	37°22'	64°45'	45°00'
10	$v_\infty$	28.7	36.5	15.8	19.1	27.7
11	$v_g$	26.2	34.7	13.4	16.9	26.0
12	$v_h$	24.2	34.2	41.8	39.5	37.6
13	$j$	—	—0.48	-3.18	-2.90	-0.92
14	$H_\mu$	91.3	87.9	135.6	83.6	84.8
15	$H_\kappa$	85.2	77.0	120.6	60.5	77.4
16	$\Delta t$	0.26	0.32	1	1.25	0.38
17	$\cos z_R$	0.800	0.943	0.976	0.922	0.696
18	$\varepsilon_A$	50°00'	63°05'	142°30'	111°03'	84°08'
19	$e$	0.834	0.884	0.930	0.744	0.799
20	$q$	0.121	0.142	0.958	0.960	0.480
21	$q$	338°21'	323°55'	198°43'	204°02'	279°37'
22	$Q$	262°34'	262°36'	288554'	357333'	357347'
23	$i$	20°39'	23°35'	6°29'	20°56'	5°1°
24	$a$	0.730	1.40	13.74	3.74	2.38
25	$q'$	1.34	2.65	26.5	6.52	4.28
26	$n$	26	32	106	119	38
27	$\frac{n}{n+24}$	0.00	0.00	+0.21	+0.20	+0.17
28	$K$	sin Q	0.031	0.397	0.588	0.296
29	$K$	—0.09	0.42	0.42	0.72	0.46
	Рака					
	Геминид					

## ПРОДОЛЖЕНИЕ ТАБЛИЦЫ

1	$\lambda_{\theta, \Gamma, M}$	49,58,8
2	$U_T^{\lambda}$	45,58,7
3	$S$	15,86,6
4	$\lambda_i \odot$	18,20,6 112°43'
5	$t$	21,53,8
6	$v$	21,52,7
7	$a_R$	118°34'
8	$\delta_R$	118°30'
9	$v_0$	22,4, m
10	$v_\infty$	22,18,0
11	$v_g$	16,98°
12	$v_h$	353°33'
13	$j$	53°58°
14	$H_\mu$	38,9
15	$H_K$	40,4
16	$\Delta f$	38,6
17	$\cos z_R$	41,5
18	$\xi_A$	-7,25
19	$e$	-1,60
20	$q$	96,9
21	$q_0$	85,5
22	$Q$	91,6
23	$i$	84,1
24	$a$	91,6
25	$q'$	104,6
26	$n$	111,6
27	$\frac{1}{2}\Delta$	104,6
28	$\sin Q$	99,3
29	$K_{\text{рас}}$	99,3
30	$K_{\text{рас}}$	73,2
31	$\Delta$	0,31
32	$\Delta$	0,31
33	$\Delta$	0,31
34	$\Delta$	0,31
35	$\Delta$	0,31
36	$\Delta$	0,31
37	$\Delta$	0,31
38	$\Delta$	0,31
39	$\Delta$	0,31
40	$\Delta$	0,31
41	$\Delta$	0,31
42	$\Delta$	0,31
43	$\Delta$	0,31
44	$\Delta$	0,31
45	$\Delta$	0,31
46	$\Delta$	0,31
47	$\Delta$	0,31
48	$\Delta$	0,31
49	$\Delta$	0,31
50	$\Delta$	0,31
51	$\Delta$	0,31
52	$\Delta$	0,31
53	$\Delta$	0,31
54	$\Delta$	0,31
55	$\Delta$	0,31
56	$\Delta$	0,31
57	$\Delta$	0,31
58	$\Delta$	0,31
59	$\Delta$	0,31
60	$\Delta$	0,31
61	$\Delta$	0,31
62	$\Delta$	0,31
63	$\Delta$	0,31
64	$\Delta$	0,31
65	$\Delta$	0,31
66	$\Delta$	0,31
67	$\Delta$	0,31
68	$\Delta$	0,31
69	$\Delta$	0,31
70	$\Delta$	0,31
71	$\Delta$	0,31
72	$\Delta$	0,31
73	$\Delta$	0,31
74	$\Delta$	0,31
75	$\Delta$	0,31
76	$\Delta$	0,31
77	$\Delta$	0,31
78	$\Delta$	0,31
79	$\Delta$	0,31
80	$\Delta$	0,31
81	$\Delta$	0,31
82	$\Delta$	0,31
83	$\Delta$	0,31
84	$\Delta$	0,31
85	$\Delta$	0,31
86	$\Delta$	0,31
87	$\Delta$	0,31
88	$\Delta$	0,31
89	$\Delta$	0,31
90	$\Delta$	0,31
91	$\Delta$	0,31
92	$\Delta$	0,31
93	$\Delta$	0,31
94	$\Delta$	0,31
95	$\Delta$	0,31
96	$\Delta$	0,31
97	$\Delta$	0,31
98	$\Delta$	0,31
99	$\Delta$	0,31
100	$\Delta$	0,31
101	$\Delta$	0,31
102	$\Delta$	0,31
103	$\Delta$	0,31
104	$\Delta$	0,31
105	$\Delta$	0,31
106	$\Delta$	0,31
107	$\Delta$	0,31
108	$\Delta$	0,31
109	$\Delta$	0,31
110	$\Delta$	0,31
111	$\Delta$	0,31
112	$\Delta$	0,31
113	$\Delta$	0,31
114	$\Delta$	0,31
115	$\Delta$	0,31
116	$\Delta$	0,31
117	$\Delta$	0,31
118	$\Delta$	0,31
119	$\Delta$	0,31
120	$\Delta$	0,31
121	$\Delta$	0,31
122	$\Delta$	0,31
123	$\Delta$	0,31
124	$\Delta$	0,31
125	$\Delta$	0,31
126	$\Delta$	0,31
127	$\Delta$	0,31
128	$\Delta$	0,31
129	$\Delta$	0,31
130	$\Delta$	0,31
131	$\Delta$	0,31
132	$\Delta$	0,31
133	$\Delta$	0,31
134	$\Delta$	0,31
135	$\Delta$	0,31
136	$\Delta$	0,31
137	$\Delta$	0,31
138	$\Delta$	0,31
139	$\Delta$	0,31
140	$\Delta$	0,31
141	$\Delta$	0,31
142	$\Delta$	0,31
143	$\Delta$	0,31
144	$\Delta$	0,31
145	$\Delta$	0,31
146	$\Delta$	0,31
147	$\Delta$	0,31
148	$\Delta$	0,31
149	$\Delta$	0,31
150	$\Delta$	0,31
151	$\Delta$	0,31
152	$\Delta$	0,31
153	$\Delta$	0,31
154	$\Delta$	0,31
155	$\Delta$	0,31
156	$\Delta$	0,31
157	$\Delta$	0,31
158	$\Delta$	0,31
159	$\Delta$	0,31
160	$\Delta$	0,31
161	$\Delta$	0,31
162	$\Delta$	0,31
163	$\Delta$	0,31
164	$\Delta$	0,31
165	$\Delta$	0,31
166	$\Delta$	0,31
167	$\Delta$	0,31
168	$\Delta$	0,31
169	$\Delta$	0,31
170	$\Delta$	0,31
171	$\Delta$	0,31
172	$\Delta$	0,31
173	$\Delta$	0,31
174	$\Delta$	0,31
175	$\Delta$	0,31
176	$\Delta$	0,31
177	$\Delta$	0,31
178	$\Delta$	0,31
179	$\Delta$	0,31
180	$\Delta$	0,31
181	$\Delta$	0,31
182	$\Delta$	0,31
183	$\Delta$	0,31
184	$\Delta$	0,31
185	$\Delta$	0,31
186	$\Delta$	0,31
187	$\Delta$	0,31
188	$\Delta$	0,31
189	$\Delta$	0,31
190	$\Delta$	0,31
191	$\Delta$	0,31
192	$\Delta$	0,31
193	$\Delta$	0,31
194	$\Delta$	0,31
195	$\Delta$	0,31
196	$\Delta$	0,31
197	$\Delta$	0,31
198	$\Delta$	0,31
199	$\Delta$	0,31
200	$\Delta$	0,31
201	$\Delta$	0,31
202	$\Delta$	0,31
203	$\Delta$	0,31
204	$\Delta$	0,31
205	$\Delta$	0,31
206	$\Delta$	0,31
207	$\Delta$	0,31
208	$\Delta$	0,31
209	$\Delta$	0,31
210	$\Delta$	0,31
211	$\Delta$	0,31
212	$\Delta$	0,31
213	$\Delta$	0,31
214	$\Delta$	0,31
215	$\Delta$	0,31
216	$\Delta$	0,31
217	$\Delta$	0,31
218	$\Delta$	0,31
219	$\Delta$	0,31
220	$\Delta$	0,31
221	$\Delta$	0,31
222	$\Delta$	0,31
223	$\Delta$	0,31
224	$\Delta$	0,31
225	$\Delta$	0,31
226	$\Delta$	0,31
227	$\Delta$	0,31
228	$\Delta$	0,31
229	$\Delta$	0,31
230	$\Delta$	0,31
231	$\Delta$	0,31
232	$\Delta$	0,31
233	$\Delta$	0,31
234	$\Delta$	0,31
235	$\Delta$	0,31
236	$\Delta$	0,31
237	$\Delta$	0,31
238	$\Delta$	0,31
239	$\Delta$	0,31
240	$\Delta$	0,31
241	$\Delta$	0,31
242	$\Delta$	0,31
243	$\Delta$	0,31
244	$\Delta$	0,31
245	$\Delta$	0,31
246	$\Delta$	0,31
247	$\Delta$	0,31
248	$\Delta$	0,31
249	$\Delta$	0,31
250	$\Delta$	0,31
251	$\Delta$	0,31
252	$\Delta$	0,31
253	$\Delta$	0,31
254	$\Delta$	0,31
255	$\Delta$	0,31
256	$\Delta$	0,31
257	$\Delta$	0,31
258	$\Delta$	0,31
259	$\Delta$	0,31
260	$\Delta$	0,31
261	$\Delta$	0,31
262	$\Delta$	0,31
263	$\Delta$	0,31
264	$\Delta$	0,31
265	$\Delta$	0,31
266	$\Delta$	0,31
267	$\Delta$	0,31
268	$\Delta$	0,31
269	$\Delta$	0,31
270	$\Delta$	0,31
271	$\Delta$	0,31
272	$\Delta$	0,31
273	$\Delta$	0,31
274	$\Delta$	0,31
275	$\Delta$	0,31
276	$\Delta$	0,31
277	$\Delta$	0,31
278	$\Delta$	0,31
279	$\Delta$	0,31
280	$\Delta$	0,31
281	$\Delta$	0,31
282	$\Delta$	0,31
283	$\Delta$	0,31
284	$\Delta$	0,31
285	$\Delta$	0,31
286	$\Delta$	0,31
287	$\Delta$	0,31
288	$\Delta$	0,31
289	$\Delta$	0,31
290	$\Delta$	0,31
291	$\Delta$	0,31
292	$\Delta$	0,31
293	$\Delta$	0,31
294	$\Delta$	0,31
295	$\Delta$	0,31
296	$\Delta$	0,31
297	$\Delta$	0,31
298	$\Delta$	0,31
299	$\Delta$	0,31
300	$\Delta$	0,31
301	$\Delta$	0,31
302	$\Delta$	0,31
303	$\Delta$	0,31
304	$\Delta$	0,31
305	$\Delta$	0,31
306	$\Delta$	0,31
307	$\Delta$	0,31
308	$\Delta$	0,31
309	$\Delta$	0,31
310	$\Delta$	0,31
311	$\Delta$	0,31
312	$\Delta$	0,31
313	$\Delta$	0,31
314	$\Delta$	0,31
315	$\Delta$	0,31
316	$\Delta$	0,31
317	$\Delta$	0,31
318	$\Delta$	0,31
319	$\Delta$	0,31
320	$\Delta$	0,31
321	$\Delta$	0,31
322	$\Delta$	0,31
323	$\Delta$	0,31
324	$\Delta$	0,31
325	$\Delta$	0,31
326	$\Delta$	0,31
327	$\Delta$	0,31
328	$\Delta$	0,31
329	$\Delta$	0,31
330	$\Delta$	0,31
331	$\Delta$	0,31
332	$\Delta$	0,31
333	$\Delta$	0,31
334	$\Delta$	0,31
335	$\Delta$	0,31
336	$\Delta$	0,31
337	$\Delta$	0,31
338	$\Delta$	0,31
339	$\Delta$	0,31
340	$\Delta$	0,31
341	$\Delta$	0,31
342	$\Delta$	0,31
343	$\Delta$	0,31
344	$\Delta$	0,31
345	$\Delta$	0,31
346	$\Delta$	0,31
347	$\Delta$	0,31
348	$\Delta$	0,31
349	$\Delta$	0,31
350	$\Delta$	0,31
351	$\Delta$	0,31
352	$\Delta$	0,31
353	$\Delta$	0,31
354	$\Delta$	0,31
355	$\Delta$	0,31
356	$\Delta$	0,31
357	$\Delta$	0,31
358	$\Delta$	0,31
359	$\Delta$	0,31
360	$\Delta$	0,31
361	$\Delta$	0,31
362	$\Delta$	0,31
363	$\Delta$	0,31
364	$\Delta$	0,31
365	$\Delta$	0,31
366	$\Delta$	0,31
367	$\Delta$	0,31
368	$\Delta$	0,31
369	$\Delta$	0,31
370	$\Delta$	0,31
371	$\Delta$	0,31
372	$\Delta$	0,31
373	$\Delta$	0,31
374	$\Delta$	0,31
375	$\Delta$	0,31
376	$\Delta$	0,31
377	$\Delta$	0,31
378	$\Delta$	0,31
379	$\Delta$	0,31
380	$\Delta$	0,31
381	$\Delta$	0,31
382	$\Delta$	0,31
383	$\Delta$	0,31
384	$\Delta$	0,31
385	$\Delta$	0,31
386	$\Delta$	0,31
387	$\Delta$	0,31
388	$\Delta$	0,31
389	$\Delta$	0,31
390	$\Delta$	0,31
391	$\Delta$	0,31
392	$\Delta$	0,31
393		

1	$\frac{N_b}{U_T}, \Gamma, M.$	54·58·8 11·0·2	56·58·8 12·0·33	57·58·8 11·888	58·58·8 13·001	59·58·8 12·971	60·58·8 12·969	61·58·8 13·034
2	$\frac{S}{U_T}$	12·0·4 $\frac{h}{h} m$	12·0·33 $\frac{h}{h} m$	12·0·33 $\frac{h}{h} m$	13·001 $\frac{h}{h} m$	13·001 $\frac{h}{h} m$	13·001 $\frac{h}{h} m$	13·001 $\frac{h}{h} m$
3	$S$	23·34·6 $\frac{h}{h} m$	0·09·8 $\frac{h}{h} m$	0·07·7 $\frac{h}{h} m$	20·39·0 $\frac{h}{h} m$	23·26·5 $\frac{h}{h} m$	22·41·9 $\frac{h}{h} m$	22·40·5 $\frac{h}{h} m$
4	$\frac{\nu_0}{\nu_\infty} \odot$	137·34·7 $\frac{h}{h} m$	138·92·2 $\frac{h}{h} m$	138·93·4' $\frac{h}{h} m$	138·93·4' $\frac{h}{h} m$	139·38·7' $\frac{h}{h} m$	139·36·7' $\frac{h}{h} m$	139·40·7' $\frac{h}{h} m$
5	$t$	20·46·9 $\frac{h}{h} m$	21·03·3 $\frac{h}{h} m$	21·37·3 $\frac{h}{h} m$	20·16·1 $\frac{h}{h} m$	19·24·2 $\frac{h}{h} m$	19·28·5 $\frac{h}{h} m$	20·59·1 $\frac{h}{h} m$
6	$\tilde{v}_g$	57·94·7 $\frac{h}{h} m$	58·94·4 $\frac{h}{h} m$	57·95·8 $\frac{h}{h} m$	58·12 $\frac{h}{h} m$	57·92·7 $\frac{h}{h} m$	56·95·7 $\frac{h}{h} m$	58·95·7 $\frac{h}{h} m$
7	$\frac{v_h}{v_h}$	46·39·7 $\frac{h}{h} m$	37·30·7 $\frac{h}{h} m$	46·21·7' $\frac{h}{h} m$	47·47·7' $\frac{h}{h} m$	49·50·7' $\frac{h}{h} m$	48·94·7' $\frac{h}{h} m$	48·94·7' $\frac{h}{h} m$
8	$\frac{q}{q'}$	58·70·7' $\frac{h}{h} m$	28·90·7' $\frac{h}{h} m$	57·97·7' $\frac{h}{h} m$	58·92·3' $\frac{h}{h} m$	57·93·7' $\frac{h}{h} m$	57·90·7' $\frac{h}{h} m$	59·07·7' $\frac{h}{h} m$
9	$\frac{\nu_0}{\nu_\infty}$	60·3 $\frac{h}{h} m$	61·0 $\frac{h}{h} m$	60·2 $\frac{h}{h} m$	62·8 $\frac{h}{h} m$	63·3 $\frac{h}{h} m$	64·4 $\frac{h}{h} m$	60·4 $\frac{h}{h} m$
10	$\frac{\nu_\infty}{\nu_0}$	60·6 $\frac{h}{h} m$	62·3 $\frac{h}{h} m$	71·2 $\frac{h}{h} m$	63·0 $\frac{h}{h} m$	63·3 $\frac{h}{h} m$	64·4 $\frac{h}{h} m$	60·6 $\frac{h}{h} m$
11	$\frac{v_g}{v_\infty}$	59·3 $\frac{h}{h} m$	61·0 $\frac{h}{h} m$	70·1 $\frac{h}{h} m$	59·3 $\frac{h}{h} m$	61·7 $\frac{h}{h} m$	62·0 $\frac{h}{h} m$	59·3 $\frac{h}{h} m$
12	$\frac{v_h}{v_h}$	41·8 $\frac{h}{h} m$	43·6 $\frac{h}{h} m$	42·2 $\frac{h}{h} m$	41·6 $\frac{h}{h} m$	43·8 $\frac{h}{h} m$	43·7 $\frac{h}{h} m$	44·4 $\frac{h}{h} m$
13	$j$	-2·35 $\frac{h}{h} m$	-8·63 $\frac{h}{h} m$	-0·50 $\frac{h}{h} m$	-2·30 $\frac{h}{h} m$	-1·50 $\frac{h}{h} m$	-0·25 $\frac{h}{h} m$	-0·84 $\frac{h}{h} m$
14	$H_u$	107·2 $\frac{h}{h} m$	108·3 $\frac{h}{h} m$	108·2 $\frac{h}{h} m$	95·4 $\frac{h}{h} m$	104·1 $\frac{h}{h} m$	114·4 $\frac{h}{h} m$	114·6 $\frac{h}{h} m$
15	$H_\kappa$	81·5 $\frac{h}{h} m$	97·4 $\frac{h}{h} m$	87·6 $\frac{h}{h} m$	83·3 $\frac{h}{h} m$	85·4 $\frac{h}{h} m$	96·5 $\frac{h}{h} m$	104·2 $\frac{h}{h} m$
16	$\Delta t$	0·51 $\frac{h}{h} m$	0·19 $\frac{h}{h} m$	0·33 $\frac{h}{h} m$	0·35 $\frac{h}{h} m$	0·37 $\frac{h}{h} m$	0·39 $\frac{h}{h} m$	0·22 $\frac{h}{h} m$
17	$\cos^2 R$	0·85·7 $\frac{h}{h} m$	0·876 $\frac{h}{h} m$	0·888 $\frac{h}{h} m$	0·857 $\frac{h}{h} m$	0·819 $\frac{h}{h} m$	0·744 $\frac{h}{h} m$	0·749 $\frac{h}{h} m$
18	$\frac{\nu}{\nu_A}$	40·50·7' $\frac{h}{h} m$	41·23·7' $\frac{h}{h} m$	40·35·7' $\frac{h}{h} m$	40·35·7' $\frac{h}{h} m$	39·19·7' $\frac{h}{h} m$	39·17·7' $\frac{h}{h} m$	41·18·7' $\frac{h}{h} m$
19	$e$	0·989 $\frac{h}{h} m$	1·152 $\frac{h}{h} m$	1·028 $\frac{h}{h} m$	0·976 $\frac{h}{h} m$	1·177 $\frac{h}{h} m$	1·638 $\frac{h}{h} m$	1·240 $\frac{h}{h} m$
20	$q$	0·967 $\frac{h}{h} m$	0·952 $\frac{h}{h} m$	0·986 $\frac{h}{h} m$	0·948 $\frac{h}{h} m$	0·956 $\frac{h}{h} m$	0·944 $\frac{h}{h} m$	0·944 $\frac{h}{h} m$
21	$q'$	155·9·4' $\frac{h}{h} m$	159·23·4' $\frac{h}{h} m$	194·50·7' $\frac{h}{h} m$	150·23·3' $\frac{h}{h} m$	163·9·8' $\frac{h}{h} m$	153·30·7' $\frac{h}{h} m$	149·37·7' $\frac{h}{h} m$
22	$Q$	137·9·3' $\frac{h}{h} m$	138·4·2' $\frac{h}{h} m$	138·42·7' $\frac{h}{h} m$	138·34·7' $\frac{h}{h} m$	139·38·8' $\frac{h}{h} m$	139·36·7' $\frac{h}{h} m$	139·40·7' $\frac{h}{h} m$
23	$i$	112·10·7' $\frac{h}{h} m$	112·13·7' $\frac{h}{h} m$	112·10·7' $\frac{h}{h} m$	112·52·7' $\frac{h}{h} m$	114·9·9' $\frac{h}{h} m$	113·31·7' $\frac{h}{h} m$	111·47·7' $\frac{h}{h} m$
24	$a$	89·5 $\frac{h}{h} m$	-4·38 $\frac{h}{h} m$	-34·5 $\frac{h}{h} m$	34·9 $\frac{h}{h} m$	-5·41 $\frac{h}{h} m$	-5·72 $\frac{h}{h} m$	-5·89 $\frac{h}{h} m$
25	$q'$	17·8 $\frac{h}{h} m$	-	-	68·8 $\frac{h}{h} m$	-	-	-
26	$n$	50 $\frac{h}{h} m$	19 $\frac{h}{h} m$	34 $\frac{h}{h} m$	35 $\frac{h}{h} m$	37 $\frac{h}{h} m$	56 $\frac{h}{h} m$	32 $\frac{h}{h} m$
27	$\frac{1}{2} \Delta$	-0·02 $\frac{h}{h} m$	+0·85 $\frac{h}{h} m$	+0·277 $\frac{h}{h} m$	+0·15 $\frac{h}{h} m$	+1·10 $\frac{h}{h} m$	-0·21 $\frac{h}{h} m$	+0·03 $\frac{h}{h} m$
28	$\sin Q$	0·215 $\frac{h}{h} m$	0·018 $\frac{h}{h} m$	0·240 $\frac{h}{h} m$	0·089 $\frac{h}{h} m$	0·090 $\frac{h}{h} m$	0·082 $\frac{h}{h} m$	0·053 $\frac{h}{h} m$
29	$K_{\text{Класс}}$	3·63 $\frac{h}{h} m$	0·93 $\frac{h}{h} m$	2·40 $\frac{h}{h} m$	0·82 $\frac{h}{h} m$	0·86 $\frac{h}{h} m$	0·57 $\frac{h}{h} m$	0·35 $\frac{h}{h} m$
30	Персенд	Персенд	Персенд	Персенд	Персенд	Персенд	Персенд	Персенд

1	$\frac{N_b}{U_T}, \Gamma, M.$	62·58·8 13·001	63·58·8 12·968	64·58·8 12·936	65·58·8 12·936	66·58·8 12·936	67·58·8 12·936	68·58·8 12·936
2	$\frac{S}{U_T}$	23·26·7 $\frac{h}{h} m$	22·38·1 $\frac{h}{h} m$	21·51·8 $\frac{h}{h} m$	21·51·8 $\frac{h}{h} m$	21·39·6 $\frac{h}{h} m$	23·17·0 $\frac{h}{h} m$	22·54·2 $\frac{h}{h} m$
3	$S$	139·38·7' $\frac{h}{h} m$	139·34·7' $\frac{h}{h} m$	139·34·7' $\frac{h}{h} m$	139·34·7' $\frac{h}{h} m$	139·34·7' $\frac{h}{h} m$	139·33·7' $\frac{h}{h} m$	139·36·7' $\frac{h}{h} m$
4	$\frac{\nu_0}{\nu_\infty} \odot$	20·15·2 $\frac{h}{h} m$	23·11·2 $\frac{h}{h} m$	20·33·6 $\frac{h}{h} m$	20·33·6 $\frac{h}{h} m$	18·29·3 $\frac{h}{h} m$	20·06·4 $\frac{h}{h} m$	20·09·5 $\frac{h}{h} m$
5	$t$	58·10·7' $\frac{h}{h} m$	75·98·7' $\frac{h}{h} m$	27·30·7' $\frac{h}{h} m$	57·59·7' $\frac{h}{h} m$	57·15·7' $\frac{h}{h} m$	57·24·7' $\frac{h}{h} m$	58·16·7' $\frac{h}{h} m$
6	$\frac{v_g}{v_\infty}$	48·70·6' $\frac{h}{h} m$	35·19·3' $\frac{h}{h} m$	19·39·7' $\frac{h}{h} m$	48·15·7' $\frac{h}{h} m$	48·70·1' $\frac{h}{h} m$	48·42·7' $\frac{h}{h} m$	49·37·7' $\frac{h}{h} m$
7	$\frac{v_h}{v_h}$	58·92·1' $\frac{h}{h} m$	-9·90·1' $\frac{h}{h} m$	27·92·2' $\frac{h}{h} m$	58·03·7' $\frac{h}{h} m$	57·25·7' $\frac{h}{h} m$	57·31·7' $\frac{h}{h} m$	58·29·7' $\frac{h}{h} m$
8	$\frac{\nu}{\nu_A}$	63·5 $\frac{h}{h} m$	42·4 $\frac{h}{h} m$	60·5 $\frac{h}{h} m$	60·9 $\frac{h}{h} m$	60·8 $\frac{h}{h} m$	59·8 $\frac{h}{h} m$	60·2 $\frac{h}{h} m$
9	$v_0$	63·6 $\frac{h}{h} m$	42·8 $\frac{h}{h} m$	61·0 $\frac{h}{h} m$	61·5 $\frac{h}{h} m$	61·2 $\frac{h}{h} m$	60·0 $\frac{h}{h} m$	60·6 $\frac{h}{h} m$
10	$v_\infty$	62·3 $\frac{h}{h} m$	41·3 $\frac{h}{h} m$	59·2 $\frac{h}{h} m$	59·7 $\frac{h}{h} m$	59·2 $\frac{h}{h} m$	58·7 $\frac{h}{h} m$	59·3 $\frac{h}{h} m$
11	$\frac{\nu_0}{\nu_\infty}$	44·3 $\frac{h}{h} m$	37·6 $\frac{h}{h} m$	35·8 $\frac{h}{h} m$	37·7 $\frac{h}{h} m$	41·8 $\frac{h}{h} m$	41·2 $\frac{h}{h} m$	41·6 $\frac{h}{h} m$
12	$v_h$	-1·20 $\frac{h}{h} m$	-1·20 $\frac{h}{h} m$	-9·0 $\frac{h}{h} m$	-1·4 $\frac{h}{h} m$	-1·4 $\frac{h}{h} m$	-1·3 $\frac{h}{h} m$	-2·4 $\frac{h}{h} m$
13	$j$	40·38·7' $\frac{h}{h} m$	-1·38·7' $\frac{h}{h} m$	-27·24·7' $\frac{h}{h} m$	40·16·7' $\frac{h}{h} m$	39·37·7' $\frac{h}{h} m$	39·43·7' $\frac{h}{h} m$	40·40·7' $\frac{h}{h} m$
14	$H_u$	114·5 $\frac{h}{h} m$	97·0 $\frac{h}{h} m$	97·5 $\frac{h}{h} m$	97·5 $\frac{h}{h} m$	109·4 $\frac{h}{h} m$	111·5 $\frac{h}{h} m$	107·6 $\frac{h}{h} m$
15	$H_\kappa$	84·7 $\frac{h}{h} m$	89·8 $\frac{h}{h} m$	74·0 $\frac{h}{h} m$	97·2 $\frac{h}{h} m$	95·4 $\frac{h}{h} m$	99·6 $\frac{h}{h} m$	96·5 $\frac{h}{h} m$
16	$\Delta t$	0·57 $\frac{h}{h} m$	0·66 $\frac{h}{h} m$	0·66 $\frac{h}{h} m$	0·66 $\frac{h}{h} m$	0·30 $\frac{h}{h} m$	0·32 $\frac{h}{h} m$	0·20 $\frac{h}{h} m$
17	$\cos^2 R$	0·818 $\frac{h}{h} m$	0·567 $\frac{h}{h} m$	0·714 $\frac{h}{h} m$	0·713 $\frac{h}{h} m$	0·661 $\frac{h}{h} m$	0·804 $\frac{h}{h} m$	0·810 $\frac{h}{h} m$
18	$\frac{\nu}{\nu_A}$	40·33·7' $\frac{h}{h} m$	61·94·7' $\frac{h}{h} m$	27·33·7' $\frac{h}{h} m$	27·24·7' $\frac{h}{h} m$	40·16·7' $\frac{h}{h} m$	39·37·7' $\frac{h}{h} m$	39·43·7' $\frac{h}{h} m$
19	$e$	1·227 $\frac{h}{h} m$	0·977 $\frac{h}{h} m$	0·687 $\frac{h}{h} m$	0·758 $\frac{h}{h} m$	0·996 $\frac{h}{h} m$	0·930 $\frac{h}{h} m$	0·897 $\frac{h}{h} m$
20	$q$	0·956 $\frac{h}{h} m$	0·059 $\frac{h}{h} m$	0·593 $\frac{h}{h} m$	0·642 $\frac{h}{h} m$	0·946 $\frac{h}{h} m$	0·946 $\frac{h}{h} m$	0·936 $\frac{h}{h} m$
21	$Q$	153·47·7' $\frac{h}{h} m$	154·43·7' $\frac{h}{h} m$	271·04·7' $\frac{h}{h} m$	261·21·7' $\frac{h}{h} m$	150·07·7' $\frac{h}{h} m$	148·11·7' $\frac{h}{h} m$	147·38·7' $\frac{h}{h} m$
22	$\Omega$	139·38·7' $\frac{h}{h} m$	20·39·7' $\frac{h}{h} m$	139·34·7' $\frac{h}{h} m$	139·34·7' $\frac{h}{h} m$	139·34·7' $\frac{h}{h} m$	139·33·7' $\frac{h}{h} m$	138·38·7' $\frac{h}{h} m$
23	$i$	114·34·7' $\frac{h}{h} m$	20·39·7' $\frac{h}{h} m$	142·94·7' $\frac{h}{h} m$	143·94·7' $\frac{h}{h} m$	113·51·7' $\frac{h}{h} m$	113·27·7' $\frac{h}{h} m$	112·40·7' $\frac{h}{h} m$
24	$a$	-4·22 $\frac{h}{h} m$	-2·64 $\frac{h}{h} m$	1·89 $\frac{h}{h} m$	2·65 $\frac{h}{h} m$	-550 $\frac{h}{h} m$	13·6 $\frac{h}{h} m$	52·9 $\frac{h}{h} m$
25	$q'$	-	5·23 $\frac{h}{h} m$	3·20 $\frac{h}{h} m$	-	550 $\frac{h}{h} m$	26·2 $\frac{h}{h} m$	17·3 $\frac{h}{h} m$
26	$n$	56 $\frac{h}{h} m$	29 $\frac{h}{h} m$	64 $\frac{h}{h} m$	44 $\frac{h}{h} m$	44 $\frac{h}{h} m$	18 $\frac{h}{h} m$	20 $\frac{h}{h} m$
27	$\frac{1}{2} \Delta$	-0·07 $\frac{h}{h} m$	+0·01 $\frac{h}{h} m$	+0·22 $\frac{h}{h} m$	-0·05 $\frac{h}{h} m$	-0·05 $\frac{h}{h} m$	+0·33 $\frac{h}{h} m$	-0·07 $\frac{h}{h} m$
28	$\sin Q$	0·090 $\frac{h}{h} m$	0·375 $\frac{h}{h} m$	0·153 $\frac{h}{h} m$	-	-0·052 $\frac{h}{h} m$	+0·33 $\frac{h}{h} m$	-0·073 $\frac{h}{h} m$
29	$K_{\text{Класс}}$	0·62 $\frac{h}{h} m$	1·37 $\frac{h}{h} m$	0·09 $\frac{h}{h} m$	-	4·14 $\frac{h}{h} m$	0·835 $\frac{h}{h} m$	1·21 $\frac{h}{h} m$
30	Рыб	Рыб	Рыб	Рыб	Рыб	Рыб	Рыб	Рыб

1	$\frac{N_b}{U_T}, \Gamma, M.$	62·58·8 13·001	63·58·8 12·968	64·58·8 12·936	65·58·8 12·936	66·58·8 12·936	67·58·8 12·936	68·58·8 12·936
2	$\frac{S}{U_T}$	23·26·7 $\frac{h}{h} m$	22·38·1 $\frac{h}{h} m$	21·51·8 <math				

Продолжение таблицы 1

## П р о д о л ж е н и е т а б л и цы 1

1	№ <sub>г.,М.</sub>	87:58:10	88:58:10	90:58:10	91:58:10	94:58:12	95:58:12	96:58:12	97:58:12
2	UT	12:960 <i>h m</i>	18:953 <i>h m</i>	18:916 <i>h m</i>	19:070 <i>h m</i>	22:096 <i>h m</i>	4:857 <i>h m</i>	6:806 <i>h m</i>	8:808 <i>h m</i>
3	S	2:26.9	2:41.4	5:29.5	6:18.3	3:27	2:22	1:55	2:27
4	λ⊙	19859° 204°56'	204°54'	205°03'	208°04'	252°05'	254°03'	256°04'	256°05'
5	t	0:59.6	16:22.0	19:33.7	22:33.0	23:56.5	23:32.0	19:20.1	18:52.4
6	δ	6°22'	37°37'	16:34.5	39°26'	15°32'	25°36'	31°31'	32°48'
7	αR	20°20'	155°31'	93°26'	103°56'	95°11'	106°32'	107°01'	112°10'
8	δR	3°41'	37°44'	16°31'	32°23'	15°21'	23°54'	30°57'	34°30'
9	v <sub>0</sub>	23.3	63.6	68.5	70.7	71.3	20.7	37.7	36.7
10	v <sub>∞</sub>	23.8	66.2	68.9	70.7	71.1	21.1	38.4	39.4
11	v <sub>g</sub>	21.0	64.9	67.7	69.7	70.8	17.9	36.5	37.5
12	v <sub>h</sub>	36.4	44.5	42.0	45.5	45.0	38.0	34.1	33.9
13	j	-1.19	-4.6	-	-2.64	-0.97	-2.01	-0.81	-7.25
14	H <sub>u</sub>	94.4	116.6	108.4	112.8	107.7	78.3	101.4	94.1
15	H <sub>k</sub>	77.8	107.0	96.9	95.0	96.2	68.1	85.9	76.6
16	Δt	0.96	0.75	0.34	0.26	0.20	0.54	0.72	0.27
17	cos <sup>2</sup> R	0.743	0.215	0.471	0.929	0.858	0.930	0.579	0.524
18	εA	89°46'	36°23'	23°30'	16°56'	25°10'	101°18'	60°33'	62°20'
19	e	0.710	1.143	0.986	0.981	1.211	0.709	0.929	0.891
20	q	0.569	0.644	0.635	0.848	0.653	0.722	0.098	0.135
21	t	91°54'	109°45'	109°45'	74:23	225°37'	68°11'	249°05'	325°27'
22	Ω	185°9'	204°56'	245°44'	205°03'	28°04'	252°05'	254°03'	256°05'
23	i	3°14'	128°31'	166°00'	162°43'	164°05'	175°44'	28°39'	21°29'
24	a	1.97	-4.50	46.6	44.7	-3.09	2.49	1.38	1.11
25	q'	3.37	-	92.6	88.5	-	4.25	2.66	2.10
26	n	92	73	36	27	20	52	70	40
27	ν <sub>12</sub> Δ	-0.03	-0.12	+0.02	+0.25	-0.01	-0.00	-0.18	+0.04
28	sinQ	0.847	0.116	0.163	0.272	-0.063	0.532	0.067	0.098
29	K	0.06	0.83	2.84	2.68	0.51	0.16	0.58	0.37
30	Класс			Орионид	Орионид	η Тельца	Геминид	Геминид	Геминид

1	№ <sub>г.,М.</sub>	99:58:12	100:58:12	101:58:12	102:58:12	103:58:9	104:58:10	105:58:10	106:58:11
2	UT	8:939 <i>h m</i>	8:728 <i>h m</i>	8:860 <i>h m</i>	11:896 <i>h m</i>	23:101 <i>h m</i>	23:129 <i>h m</i>	13:062 <i>h m</i>	10:728 <i>h m</i>
3	S	5:42	3:38	0:37	3:55	4:50.6	4:31.8	7:108	4:55.4
4	λ⊙	256°13'	258°00'	258°10'	259°14'	179°27'	209°05'	199°06'	222°46.8
5	t	22:35.2	21:36.9	20:26.7	21:35.2	21:35.6	22:06.7	20:21	21:51.9
6	δ	32°21'	33°44'	32°34'	33°08'	33°45'	5°11'	26°50'	72°48'
7	αR	106°35'	115°50'	65°12'	110°32'	108°58'	96°05'	102°22'	105°46'
8	δR	32°03'	33°29'	31:01'	32°47'	33°29'	51°18'	26°42'	73°12'
9	v <sub>0</sub>	35.6	35.6	38.3	21.7	37.3	63.6	70.4	54.0
10	v <sub>∞</sub>	35.6	33.8	36.5	21.7	37.6	37.8	63.6	55.6
11	v <sub>g</sub>	33.5	31.9	37.5	34.1	35.5	35.9	62.4	54.3
12	v <sub>h</sub>	-0.4	-6.60	-	-1.00	-3.6	—	42.5	42.6
13	j							-0.68	-9.6
14	H <sub>u</sub>	96.8	92.8	86:	98.0	86.5	108.2	111.7	-0.34
15	H <sub>k</sub>	74.7	84.8	48:	75.3	73.7	93.1	79.5	90.1
16	Δt	0.94	0.23	>1	0.74	0.42	0.24	0.52	0.24
17	cos <sup>2</sup> R	0.931	0.895	0.737	0.758	0.866	0.945	0.940	0.865
18	εA	62°30'	56°06'	97°41'	61°38'	64°06'	28°11'	19°18'	51°23'
19	a	0.892	0.924	0.683	0.911	0.910	0.713	1.017	1.037
20	q	0.141	0.085	0.694	0.123	0.145	0.990	0.731	0.964
21	t	324°50'	334°17'	254°11'	326°22'	32°255'	165°20'	241°41'	201°04'
22	Ω	256°13'	256°13'	256°00'	258°10'	254°14'	179°27'	209°05'	199°06'
23	i	20°45'	37°46'	5°16'	26°26'	25°37'	130°30'	172°51'	95°41'
24	a	1.31	1.13	2.19	1.39	1.62	3.44	41.7	-25.6
25	q'	2.48	2.18	3.69	2.66	3.10	5.90	—	—
26	n	98	34	200	110	61	24	51	36
27	ν <sub>12</sub> Δ	+0.01	-0.02	-0.04	+0.18	-0.30	+1.33	-0.06	-0.24
28	sinQ	0.300	0.216	0.091	0.149	0.145	0.072	0.127	0.00
29	K	0.36	0.46	0.09	0.47	0.55	0.31	2.69	1.21
30	Класс			Геминид	Геминид	Геминид	Геминид	Геминид	Геминид

Поток  $i$  Лебедя, по-видимому, совпадает с к Лебедя Нортон и Яккия [10]. Об этом свидетельствуют скорости метеоров и полуоси их орбит (3,12 и 3,58 соответственно для 16 и 18-го метеоров; Уиппл [10] для метеора 2185 получил полуось 3,53).

Таблица 2

№ метеора, поток	Дата	$\alpha$	$\delta$	$v_\infty$
13	20 авг.	251° 2	+ 65°,5	25,5 км/сек
15	25 авг.	254,0	+ 64,7	25,3
ξ Драк.	9—21 авг.	266	+ 57	
16	25 авг.	284,9	+ 53,3	24,5
18	19 авг.	280,9	+ 55,8	25,3
$i$ Лебедя	15—25 авг.	291	+ 52	23,8
21	19 окт.	41,2	+ 11,8	32,7
86	11 окт.	45,1	+ 10,3	18,9
λ Кита	13—24 окт.	45	+ 10	
27	28 окт.	100,1	+ 17,8	69,2
28	29 окт.	100,1	+ 16,2	67,1
33	30 окт.	100,1	+ 14,1	58,4
ζ Близн.	18—30 окт.	103	+ 19	
35	15 дек.	129,1	+ 30,0	28,7
φ Рака	12 дек.	121	+ 25	
45	22 июля	353,5	+ 15,9	65,0
$\alpha$ Персеса	с 23 июля	353	+ 16	
50	10 авг.	6,3	+ 64,2	51,1
51	10 авг.	21,4	+ 69,5	51,9
β Касс.	19 июля—15 авг.	14	+ 63	
56	12 авг.	37,5	+ 28,5	71,2
γ Треуг.	8—11 авг.	35	+ 34	
64	13 авг.	19,6	+ 27,3	60,5
η Рыб	10—13 авг.	14	+ 29	

Метеоры 21 и 86, наблюдавшиеся соответственно в 1957 и 1958 годах, возможно, принадлежат одному потоку, хотя по скорости и, следовательно, по элементам орбиты они несколько отличаются. По всей видимости, это старый поток, испытавший значительные возмущения.

Таблица 3

Метеор, комета	Дата	$\alpha$	$\delta$	$\omega$	$\Omega$	$i$	$q$	$e$	$\Delta$	Прим.
23	окт. 20	166°,7	+ 37°,5	103°,7	206°,2	115°,9	0,574	>1		
88	окт. 18	155,5	+ 37,2	109,9	204,9	128,6	0,646	>1		
1739	окт. 24	160	+ 38,5	104,8	207,4	124,3	0,674	1	0,078	[9]
45	июль 22	353,5	+ 15,9	264,5	118,6	142,6	0,551	>1		
$\alpha$ Пег.	июль 23	353	+ 16							[12]
1770 II	июль 20	354	+ 14	260,3	108,7	148,6	0,528	1	0,062	[9]
94	дек. 5	58,4	+ 23,9	249,1	252,1	1,9	0,722	0,709		
η Тельца	ноябрь 29	64	+ 23	266,2	247,7	1,6	0,526	1		[11,13]
1702	дек. 2	57	+ 26	309,8	189,0	4,4	0,647	1	0,061	[9]

Мы не останавливаемся здесь на хорошо известной генетической связи между такими потоками, как Персепты, Ориониды и др. с кометами, однако уместно отметить менее известное родство слабых потоков с кометами. В таблице 3 приведены три случая такой связи. Здесь  $\Delta$  — минимальное расстояние между орбитами кометы и Земли.

В 29-й строке таблицы 1 приведены численные значения

$$K = \lg \frac{a(1+e)}{1-e} - 1. \quad (24)$$

Только для двух метеоров (35 и 86)  $K < 0$ , что составляет 2% от общего числа метеоров. По данным Уиппла [10], 90% метеоров имеют кометное происхождение. в то время, как 10% движутся по орбитам астероидного типа. Этот вывод был сделан впервые Уипплом после обработки 144 метеорных фотографий. Все метеоры с  $K < 0$  — это сравнительно слабые метеоры, которые на наших фотографиях не выходят.

На рис. 1 приведена зависимость наклонности орбиты  $i$  от перигелийного расстояния  $q$ . Как и следовало ожидать,  $i$  и  $q$  концентрируются при значении  $q=1$  и при  $i=0$ , что является

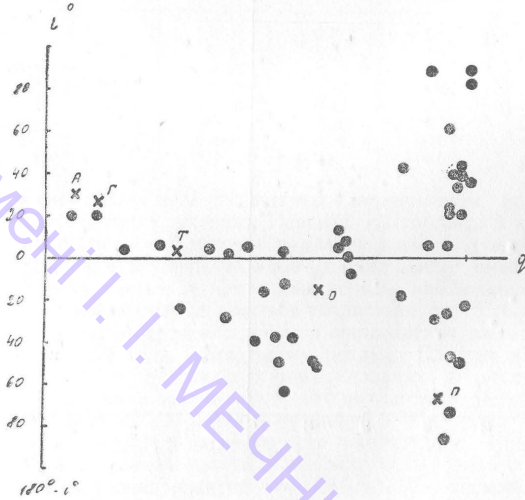


Рис. 1. Распределение наклонностей в зависимости от перигелийного расстояния.

следствием геометрического фактора условий наблюдений. При больших наклонностях  $i$  эта закономерность несколько

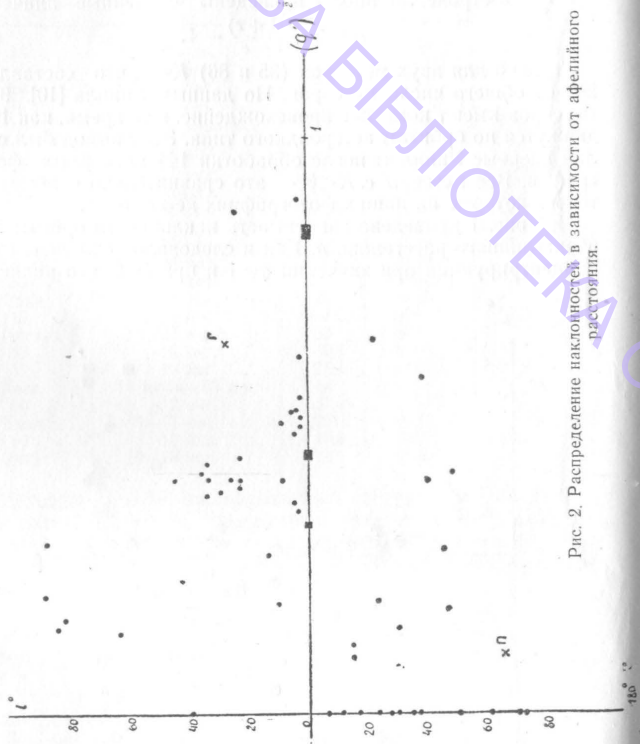


Рис. 2. Распределение наклонностей в зависимости от афелийного расстояния.

нарушается; распределение асимметрично относительно оси  $i=0$ .

Зависимость наклонности  $i$  от расстояния в афелии (рис. 2) также обнаруживает беспорядочное рассеяние точек при  $i > 90^\circ$ , в то время как при  $i < 90^\circ$  точки концентрируются при значениях  $(q')^{-1/2}$ , которые соответствуют среднему расстоянию Юпитера и Сатурна.

Тривиальные распределения  $q$  и  $v_g$  в зависимости от  $\phi$  и  $\epsilon_d$  изображены соответственно на рис. 3 и 4. Отклонения от теоретической кривой, рассчитанной для параболического движения, объясняются рассеянием в значениях эксцентриситета  $e$ .

*Персеиды 1958 года.* В ночь с 12 на 13 августа 1958 года сфотографировано 20 базисных метеоров этого потока. Ниже, в таблице 4, приводятся средневзвешенные координаты радианта и элементы орбиты.

Таблица 4

Радиант, элементы орбиты	Средняя величина	Стандартное отклонение		Гарвард [14]
		среднего	отд. наблюд.	
$\alpha$	$48^\circ 15'$	$\pm 0^\circ 51'$	$\pm 2^\circ 09'$	$46^\circ 49'$
$\delta$	$+ 57^\circ 48'$	$0^\circ 38'$	$1^\circ 37'$	$+ 57^\circ 49'$
$\Omega$	$139^\circ 36'$			$138^\circ 1$
$\omega$	$150^\circ 28'$	$1^\circ 12'$	$3^\circ 00'$	$151^\circ 2$
$i$	$113^\circ 31'$	$0^\circ 22'$	$0^\circ 56'$	$113^\circ 7$
$e$	$1.015$	$0.021$	$0.053$	$0.955$
$q$	$0.945$	$0.005$	$0.012$	$0.951$
$v_h$ км/сек	$42.0$	$\pm 0.2$	$\pm 0.6$	$41.3$

На рис. 5 нанесены координаты исправленного радианта для всех обработанных нами Персеид. Из таблицы 4 и рис. 5 видно, что среднее склонение радианта хорошо совпадает с эфемеридной величиной. Прямое восхождение смещено на  $1^\circ 26'$ , что находится за пределами ошибок наблюдений, так как время полета определяется с точностью до  $1''$ . Следовательно, смещение среднего прямого восхождения для Персеид 13 августа 1958 года, по-видимому, реально. Следует обратить внимание на то, что стандартные отклонения среднего значения  $\Delta\alpha$  и  $\Delta\delta$  мало отличаются, и это является свидетельством того, что измеренное рассеяние радианта отягощено только ошибками измерений часового угла и склонения: ошибки в определении времени полета и часового угла одного порядка.

Средний эксцентриситет  $e = 1.015 \pm 0.021$  несколько выше по сравнению с данными других авторов [14, 15]. Здесь сказалось влияние гиперболических Персеид, которых в этом каталоге сравнительно много — 13. Необходимо отметить, что почти во всех списках, содержащих элементы орбиты метеоров, встречаются гиперболические Персеиды.

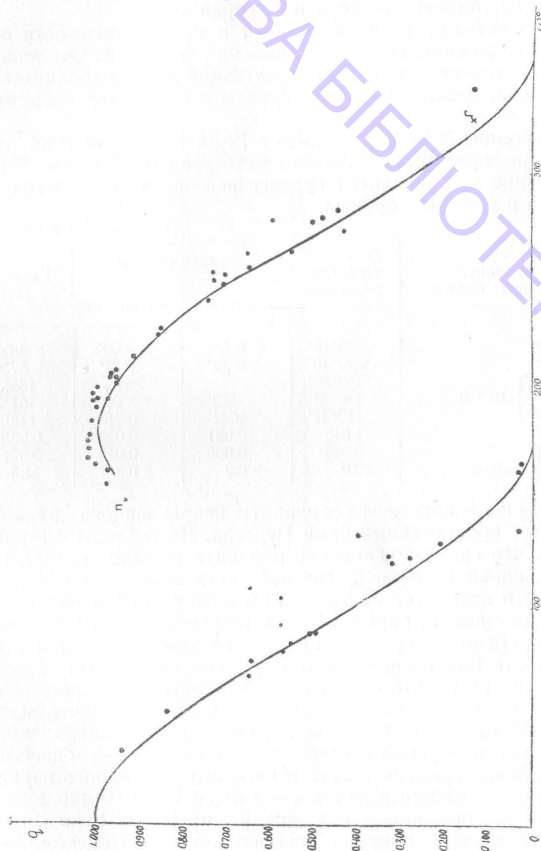


Рис. 3. Распределение перигелейных расстояний в зависимости от аргумента перигеля.

Так, например, П. Бабаджанов в работе, посвященной Персеидам [16], приводит элементы для 25 базисных фотографий, полученных с 1949 по 1953 гг. Для 14 из них вычислены параболические элементы. Гелиоцентрическая скорость этих метеоров  $v_h > 41.34 \text{ км/сек.}$ , т. е. все они гиперболические (для некоторых метеоров  $v_h > 44 \text{ км/сек.}$ ). Хаджес, исследуя следы ярких метеоров [17], приводит элементы их орбит. В списке содержится 17 орбит с экс-

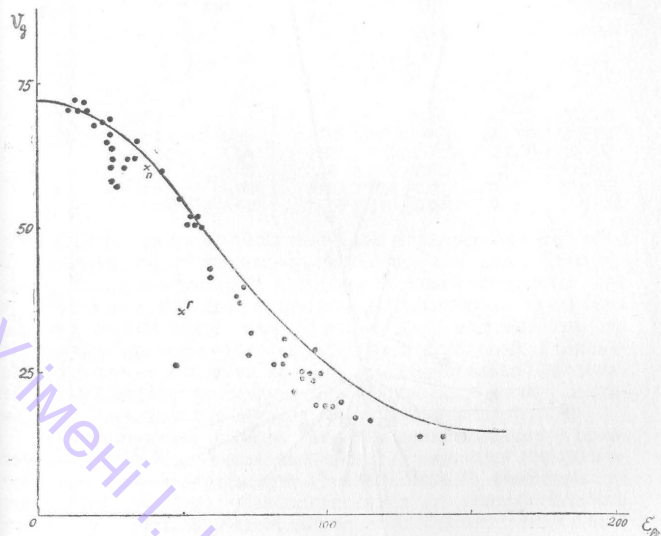


Рис. 4. Зависимость геоцентрической скорости от элонгации.

центриситетом  $e > 1$ . Три из них, несомненно, относятся к потоку Персеид. Гелиоцентрическая скорость этих метеоров 44, 43 и 45 км/сек. Несмотря на то, что скорость здесь вычислялась с погрешностью  $\pm 5\%$ , два из этих метеоров явились гиперболическими. Несколько ниже мы еще вернемся к проблеме гиперболических метеоров.

**Геминиды.** В таблице 1 содержатся данные о 8 метеорах потока Геминид. Один из этих метеоров наблюдался в 1957 году, остальные—в 1958 году. Время полета Геминид 1958 года получено несколько неуверенно, так как нульpunkt шкалы

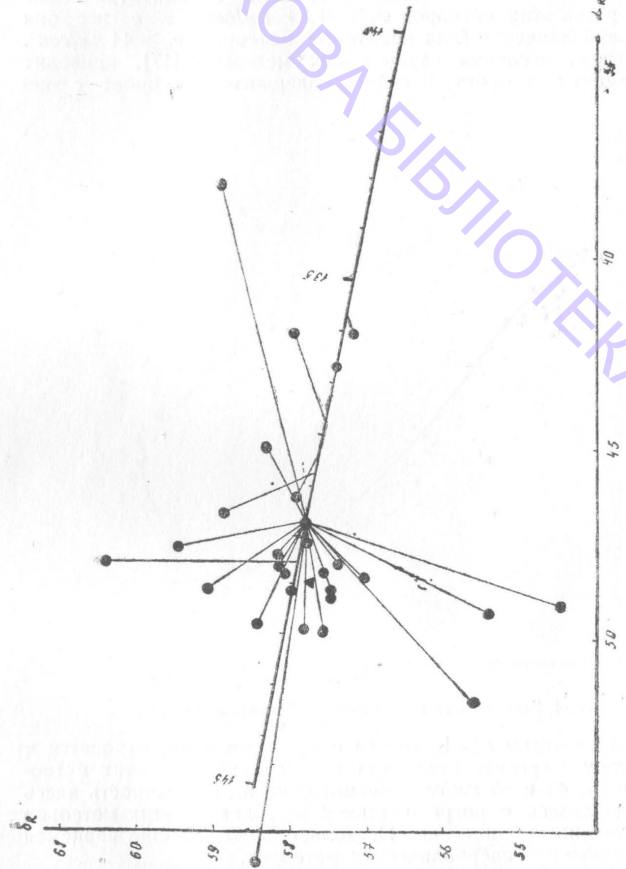


Рис. 5. Персептиль 1958 года.

времени не фиксировался. Пришлось решать обратную задачу — по среднему радиантту Геминид для даты наблюдения, по измеренным часовым углам и конфигурации перерывов на снимках вычислить усредненное время, соответствующее нулевому положению лопастей обтюратора. Это позволило вычислить время полета всех метеоров, наблюдавшихся во время фотографирования Геминид.

Средние элементы Геминид приведены в таблице 5.

Таблица 5

Радиант, элементы орбиты	Средняя величина	Стандартное откл.		Средние элементы потока		
		средн.	отд. наблюд.	фот. [10]	радарн. [18]	фот. [19]
$\alpha$	110°51'	$\pm 1^{\circ}10'$	$\pm 1^{\circ}25'$	112°43'	108°.90	111°32'
$\delta$	32°38'	0°18'	0°21'	+32°26'	+32°.57	+32°47'
$v_h$	33.8	0.3	0.4		33.10	
$\Omega$	257°49'				257°.21	259°39'
$\omega$	1950.0	326°29'	1°21'	324°.36 ± 0°.13	326°.00	325°30'
$i$		25°53'	1°58'	2°22'	23°.86 ± 0°.24	22°.36
$a$	1.34	0.05	0.06	1.382 ± 0.015	1.245	1.404
$e$	0.904	0.004	0.005	0.898 ± 0.0016	0.881	0.907
$q$	0.128	$\pm 0.007$	$\pm 0.009$	0.140 ± 0.0011	0.138	0.130

Стандартные отклонения не только характеризуют ошибки наблюдений, но, по-видимому, содержат реальный разброс орбит. Вычисленные нами элементы хорошо согласуются, как это видно из таблицы 5, с другими наблюдениями; величина полуоси  $a=1.34$  лежит между значениями, полученными из радиолокационных и фотографических наблюдений. Следовательно, наши вычисления не содержат значительной систематической ошибки. Это чрезвычайно важно при оценке достоверности приведенных в каталоге гиперболических орбит.

**Гиперболические метеоры.** Анализ данных таблицы 1 показывает, что из 90 вычисленных орбит 25 являются гиперболическими — их эксцентриситет  $e > 1$  (таблица 7). Некоторые из этих орбит близки к параболическим и их гиперболичность можно объяснить ошибками наблюдений. Однако таких орбит немного — всего 6 или 8. Основными источниками ошибок являются:

1. Ошибки измерений траектории метеоров. Точки на фотографическом изображении метеора определялись в среднем с точностью порядка 5''—8''. Ошибка в полюсе дуги большого круга соответственно больше и зависит от угловой длины метеора. Как уже отмечалось выше, как измерения, так и вычисления производились независимо в две руки. Следовательно, вычисления давали две системы значений координат полюсов. В среднем половина разности между соответствующими координатами равна теоретически ожидаемой средней ошибке. Таким образом, два варианта давали возможность,

во-первых, оценить ошибку измерения данной величины, т. е. оценить интервал изменения этой величины, и, во-вторых, контролировать все вычисления.

2. Ошибка в определении расстояния и высоты метеора. При вычислении этих величин используются: а) координаты точки на одном из снимков, б) координаты полюса для другого снимка и в) координаты базисного пункта. Здесь мы также получили систему двух значений измеряемой величины. Что касается координат базисного пункта, то они были определены привизкой к тригонометрическим пунктам 2-го класса. При вычислениях расстояния между базисными пунктами брались с точностью до 1 метра. В среднем ошибка в расстоянии до метеора не превышала 0,07 км.

3. Ошибка в вычислении скорости зависит от ошибки в радианте, ошибок в координатах точек на метеоре и расстояния этих точек от базисного пункта. В таблице 1 дана ошибка в скорости для каждого метеора. Она принимается равной полуразности скоростей, вычисленных для каждого варианта в отдельности. Угловая скорость вращения обтюратора контролировалась, и при вычислении обоих вариантов использовалась величина угловой скорости в момент полета метеора. Следует отметить, что мотор обтюратора работал стабильно, и изменения угловой скорости не превышали 0,5% от номинала. В среднем ошибки в измерении скорости метеора не превышали 0,5 км/сек. При вычислении внеатмосферной скорости возникает дополнительная ошибка, связанная с неточностью вычисления торможения. Гелиоцентрическая скорость зависит как от геоцентрической скорости, так и от элонгации радианта от апекса. Однако относительная ошибка в определении гелиоцентрической скорости мало отличается от относительной ошибки в измеренной скорости. В некотором смысле последнее относится и к элементам орбиты. Мы не останавливаемся здесь на вычислении ошибок в элементах орбиты, так как по этому вопросу имеется обширная литература, например [20].

В таблице 6 для иллюстрации приведены средние скорости метеоров, вычисленные по верхнему участку траектории. Здесь отобрано несколько наиболее увереных гиперболических метеоров.

Таблица 6

№ метеора	$v_0$ км/сек 1-й вариант	Число измер.	$v_0$ км/сек 2-й вариант	Число измер.
59	$63.09 \pm 0.14$	33	$63.06 \pm 0.07$	31
62	$63.35 \pm 0.06$	21	$62.24 \pm 0.07$	26
76	$62.94 \pm 0.29$	13	$61.79 \pm 0.25$	15
79	$61.42 \pm 0.21$	10	$61.86 \pm 0.37$	10

Расхождение между двумя вариантами обычно больше внутренней ошибки. Поэтому всегда можно судить о достоверности орбиты по величинам, которые приводятся в 27-й строке таблицы 1 —  $(\frac{\Delta}{2})$ .

Ниже, в таблице 7, приведен список гиперболических метеоров. Из всех гиперболических метеоров наибольший интерес представляют те, для которых  $\sin Q$  не слишком мал. Только для этих метеоров можно с уверенностью сказать, что гиперболичность их орбит с достаточной степенью точности достоверна. В таблице 7 наряду с номером метеора и  $\sin Q$  даны другие величины, характеризующие метеор. Приведены высоты первого и последнего перерывов; эти величины хорошо

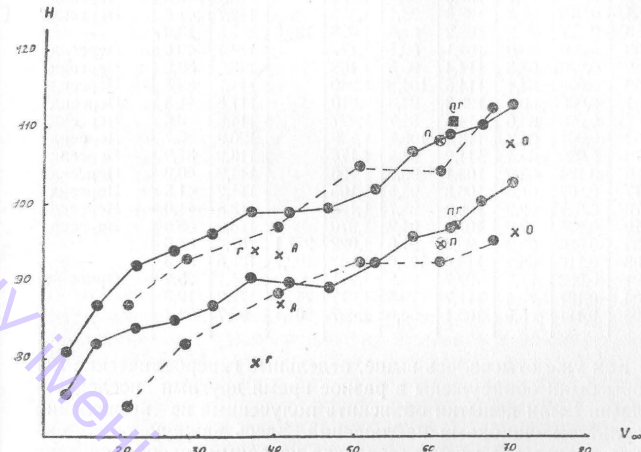


Рис. 6. Зависимость высоты появления и исчезновения метеоров от скорости.

согласуются с общей зависимостью высоты от скорости (см. рис. 6, сплошная линия). Здесь для сравнения приведена гарвардская зависимость [21]. Точка «П» соответствует всем Персеидам, «Г» — Геминидам, «А» — Акваридам, «ПГ» — гиперболическим метеорам из потока Персеид. Верхняя точка соответствует высоте появления, нижняя — высоте исчезновения метеора. Седьмая колонка содержит значения аргумента перигелия  $\omega$ . Для всех явно гиперболических метеоров ( $e > 1,050$ ) аргумент перигелия  $0^\circ < \omega < 180^\circ$ . Все они встречают Землю в нисходящем узле, то есть после прохождения через перигелий ( $\omega < 180^\circ$ ). В списке З. Плавцовой и М. Плавцева [22] из 6 гелиоцентрических орбит одна явно гиперболич-

ская ( $e=1,105$ ). Аргумент перигелия соответствующей орбиты  $\omega=163^{\circ}46'$ , т. е. и здесь встреча метеора с Землей произошла после его прохождения через перигелий.

Таблица 7

№	SinQ	$v_\infty$	$H_h$	$H_k$	$e$	$\omega$	$i$	$\epsilon_A$	Поток
23	0,093	64,3	109,0	102,7	1,242	103,6	115,9	44,1	—
26	0,333	30,3	100,8	88,8	1,097	163,8	40,1	95,5	—
27	0,999	69,2	111,4	106,2	1,064	80,1	168,8	26,0	Близи.
43	0,219	60,4	101,9	95,9	1,170	155,1	107,0	45,0	—
45	0,347	65,0	91,6	84,1	1,025	264,5	142,6	32,6	α Пегаса
46	0,243	68,7	111,6	104,6	1,007	51,0	151,7	22,3	—
48	0,548	61,1	107,8	99,3	1,023	—	113,1	40,6	Персейд
55	0,018	62,3	108,3	98,4	1,155	112,7	41,4	—	Персейд
56	0,277	71,2	108,2	87,6	1,028	194,8	157,8	13,9	—
58	0,090	63,0	104,1	89,1	1,177	114,1	40,6	—	Персейд
59	0,082	63,3	114,4	96,5	1,168	113,5	39,8	—	Персейд
60	0,053	64,4	114,6	104,2	1,240	116,7	39,3	—	Персейд
61	0,099	60,6	108,3	94,6	1,010	111,8	41,3	—	Персейд
62	0,090	63,6	114,5	84,7	1,227	114,6	40,6	—	Персейд
69	0,061	65,7	118,8	108,7	1,239	120,9	36,7	—	Персейд
70	0,080	64,4	111,2	97,5	1,178	118,9	37,9	—	Персейд
76	0,184	63,0	105,1	95,5	1,156	114,9	40,0	—	Персейд
77	0,562	61,3	106,8	98,5	1,105	111,2	41,8	—	Персейд
78	0,527	62,2	109,7	99,7	1,125	113,8	41,0	—	Персейд
79	0,804	62,2	107,8	94,2	1,070	113,2	39,6	—	Персейд
85	0,050	65,2	96,6	91,6	1,022	277,1	151,4	33,6	—
88	0,116	66,2	116,6	107,0	1,143	109,7	128,6	36,3	—
91	0,063	71,7	107,7	95,2	1,211	68,2	164,1	25,2	Орионид
104	0,127	70,4	111,7	79,5	1,017	246,7	172,9	19,3	—
105	0,411	55,6	105,1	94,0	1,037	201,1	95,7	51,4	—

Как уже отмечалось выше, отдельные гиперболические метеоры были обнаружены в разное время другими исследователями. Были попытки объяснить полученные из вычислений результаты ошибками наблюдений. Здесь важную роль сыграло предвзятое мнение, согласно которому гиперболических метеоров вообще не существует. Ниже мы приводим список некоторых наиболее достоверных гиперболических орбит (см. табл. 8).

В первом столбце приведены дата и год наблюдения, во втором и третьем — координаты радианта, в 4-м — принадлежность к потоку, в 5-м — скорость метеора, в 6-м и 7-м — полуось и эксцентриситет орбиты, в 8-м — источник, откуда заимствованы соответствующие данные. Во всех случаях, с учетом точности измерений, приведенные в таблице 8 метеоры движутся по гиперболическим орбитам.

Элементы орбиты метеора вычисляются по координатам и вектору скорости метеорной частицы в момент наблюдения. Следовательно, полученная таким образом орбита по сути своей является оскулирующей. Другими словами, нам извест-

но движение метеорной частицы во время ее встречи с Землей. Первоначальная ее орбита обычно неизвестна. Провести расчет первоначальной орбиты для каждого метеора очень трудно, так как для учета возмущений от планет скорость метеора должна была бы определяться точнее, чем сейчас удается.

Таблица 8

Дата	$\alpha$	$\delta$	Класс	$v$	$\epsilon_A$	$a$	$e$	Лит.
5 апр.	1954	229,3	+ 16,1	спор.	49	68°	— 2,9	1,15
28 июня	1954	18,7	+ 55,9	спор.	69	54	— 0,6	2,30!
9 авг.	1953	347,4	+ 57,0	спор.	61	58	— 1,0	1,9
13 авг.	1953	43,0	+ 55,9	Пер.	65	38	— 3,5	1,28
30 дек.	1954	182,3	+ 20,0	спор.	75	24	— 1,7	1,51
4 авг.	1956	31,2	+ 33,3	спор.	70,10	— 11,2	1,0902	[15]
10 авг.	1956	44,8	+ 55,9	Пер.	61,70	— 25,2	1,0377	[15]
20 янв.	1953	198,7	+ 29,3	спор.	61,60	— 49,400	1,015	[23]
21 мая	1952	283,5	+ 14,3	спор.	53,57	— 20,761	1,027	[23]
14 авг.	1953	34,1	— 36,1	спор.	52,79	— 10,272	1,075	[23]
21 апр.	1950	270,2	+ 33,1	Лир.	50,8	— 5,90	1,16	[10]
12 авг.	1951	46,2	+ 56,0	Пер.	62,2	— 31,8	1,020	[10]
13 дек.	1950	156,1	+ 34,6	спор.	66,1	— 8,86	1,071	[10]
7 авг.	1951	13,4	+ 74,0	спор.	49,67	— 9,42	1,105	[22]
17 нояб.	1959	140,2	+ 43,5	спор.	69,2	—	1,18	[18]
11 дек.	1959	103,1	+ 46,2	спор.	48,7	—	1,12	[18]
14 дек.	1959	147,6	+ 34,5	спор.	64,9	—	1,40	[18]

Если бы даже удалось это осуществить, то возникли бы затруднения при учете физического фактора. Известно, что при расчете движения некоторых комет нельзя объяснить все наблюдавшиеся закономерности, оставаясь в рамках классической небесной механики. Так, например, для объяснения движения кометы Энке-Баклунда необходимо было ввести предположение об определенном осевом вращении ядра этой кометы. При этом возникла новая гипотеза о строении ядра кометы [24]. Согласно общепринятым взглядам, ядро кометы представляет собой ледяную глыбу, толща которой заполнена метеорными и пылевыми частицами. Орбиты некоторых комет зависят от направления осевого вращения ядра и от скорости испарения летучих веществ. Таким образом, при исследовании движения таких, крупных, по сравнению с метеорными частицами, тел, какими являются ядра комет, физический фактор играет существенную роль.

Для того, чтобы как-то объяснить происхождение гиперболических орбит отдельных метеоров, необходимо еще раз подчеркнуть, что, во-первых, гиперболическими эти орбиты являются в месте встречи метеорной частицы с Землей, и, во-вторых, то, что даже среди метеоров известного эллиптического потока, каким является поток Персейд, наблюдаются отдельные метеоры, движущиеся по гиперболическим орбитам.

С другой стороны, наличие в этом потоке метеоров, движущихся по коротко-периодическим орбитам, полуось которых значительно меньше полуоси кометы 1862 III, признавалось всеми исследователями, хотя и не имело рационального объяснения.

Мы попытаемся здесь изложить рабочую гипотезу, при помощи которой можно объяснить некоторые особенности движения метеоров, и, в частности, происхождение гиперболических орбит.

1. Принимаем прежде всего, что все (или почти все) первоначальные орбиты метеорных частиц эллиптические.

2. Наряду со сравнительно мелкими метеорными частицами в потоке или вне потоков движутся более крупные тела. Назовем их кометоидами. По своим размерам кометоиды в несколько раз больше обычных метеорных частиц, порождающих яркие метеоры, и во много раз меньше кометных ядер, частью которых они когда-то могли быть.

3. Наряду с твердыми частицами внутри кометоидов содержится некоторое количество летучих веществ. Последние могут сохраняться в течение многих оборотов вокруг Солнца благодаря низкой теплопроводности внешнего слоя.

4. Время от времени вблизи перигелия под влиянием различных причин происходит распад кометоидов. Этими причинами могут быть корпоскулярные потоки с их магнитными полями или столкновения с пылевыми частицами вблизи Земли. Распад может быть и таким, что осколки разлетятся вначале с незначительной относительно центра масс скоростью.

5. При распаде кометоида обнажаются залегающие в его глубине летучие вещества (замерзшие газы или обычный лед). В результате под влиянием прямого солнечного излучения начинается интенсивное выделение газов. При этом возникает реактивная сила, которая в зависимости от расположения испаряющейся части может привести к тому, что осколки начнут двигаться по орбитам, несколько отличающимся от орбиты кометоида. В частности, возможно как превращение эллиптической орбиты в гиперболическую, так и превращение долгопериодической орбиты в короткопериодическую. Больше всего все эти изменения сказываются на эксцентриситете и полуоси орбиты. Так как распад происходит, по-видимому, недалеко от Земли, то ее встреча с разлетевшимися в результате распада осколками весьма вероятна. Направление движения осколков изменяется при этом относительно мало, так как оно определяется вектором гелиоцентрической скорости, а не его величиной. Поэтому радиант сравнительно мало изменяется. Следует ожидать, что большему изменению скорости соответствует большее изменение радианта. На рис. 7 приведены усредненные отклонения скорости отдельных метеоров от средней скорости Персеид в зависимости от изменения склонения радиан-

та. Из графика видно, что одновременно с изменением скорости меняется также направление движения метеора.

6. Наряду с гиперболическими метеорами в данном потоке (Персеиды) должны быть метеоры, движущиеся по коротко-периодическим орбитам, что в действительности наблюдается.

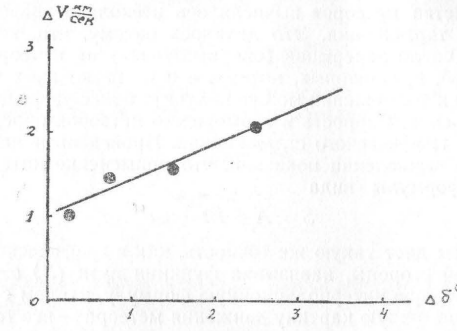


Рис. 7.

Свидетельством сложных процессов распада, происходящих в потоке, является то, что наблюдаются пачки метеоров. Из 20 Персеид, наблюдавшихся в течение 6 часов в ночь с 12 на 13 августа 1958 г., три метеора (58, 62, 68) пролетели с промежутком в 10—20 сек., два метеора (59, 60) — примерно с промежутком в две минуты и еще два метеора (77, 78) — с промежутком в три минуты.

Радианты последних двух метеоров отличаются по прямому восхождению почти на 20 градусов, в то время как среднее арифметическое этих прямых восхождений совпадает со средним прямым восхождением радианта Персеид.

Для подтверждения выдвигаемой нами гипотезы должны быть проведены дополнительные исследования.

## Г л а в а II ПАРАМЕТРЫ ВЕРХНЕЙ АТМОСФЕРЫ ПО МЕТЕОРНЫМ ИССЛЕДОВАНИЯМ ВО ВРЕМЯ МГГ

В соответствии с программой Международного Геофизического Года фотографические исследования метеоров должны быть использованы для вычисления плотности и температуры воздуха в метеорной зоне. Во время МГГ на станциях Одесской астрономической обсерватории были получены базисные фотографии 106 метеоров. Из этого числа отобраны 90 метеоров, для которых измерены и вычислены геоцентри-

ческие элементы орбиты. Фотометрические данные (блеск метеоров) получены для 87 метеоров. Параметры атмосферы могли быть вычислены по этим 87 метеорам, так как в формулы, при помощи которых вычисляется плотность атмосферы, обязательно входит интенсивность свечения метеора. Для большинства метеоров вычислялось несколько значений скорости и торможения. Это делалось потому, что, во-первых, среднее число перерывов (опорных точек) на метеоре порядка 40—60, и, во-вторых, потому, что из нескольких значений скорости и торможения можно получить более уверенные средние значения. Скорость и торможение метеоров определялись методом графического сглаживания. Проведенные нами контрольные вычисления показали, что применение интерполяционной формулы вида

$$S = A + Bt + Ce^{\alpha t} \quad (1)$$

в среднем дает такую же точность, как и графический метод. С другой стороны, навязывая функции пути ( $S$ ) от времени ( $t$ ) некоторую интерполяционную формулу, мы тем самым исказаем истинную картину движения метеора — все тонкие эффекты, проявляющиеся на сглаженном графике, затушевываются гладкой кривой вида (1). Последнее имеет место даже в том случае, когда интерполяционная формула применяется к отдельным участкам метеора. Так, например, обычно на верхнем участке траектории метеора торможение почти не наблюдается; применение же интерполяционной формулы дает для этого участка завышенные значения торможения. Измерения и вычисления исходных данных производились независимо в две руки. Результаты вычислений усреднялись. Интенсивность свечения метеоров вычислялась по фотометрическим данным, публикуемым в этом же сборнике [25].

**Основные уравнения.** Для вычисления плотности атмосферы используются следующие уравнения:

уравнение движения —

$$\frac{dv}{dt} = -\Gamma s \frac{v^3}{m} \rho_a; \quad (2)$$

уравнение испарения —

$$\frac{dm}{dt} = -\frac{\Lambda s}{2Q} v^3 \rho_a, \quad (3)$$

где  $v$  — скорость метеора,  $\Gamma$  — коэффициент сопротивления, характеризующий долю импульса, передаваемого метеорному телу,  $s$  — мидлево сечение и масса метеорной частицы,  $\Lambda$  — коэффициент теплопередачи,  $Q$  — теплота абляции,  $\rho_a$  — плотность атмосферы. Для тела сферической формы площадь поперечного сечения

$$s = \pi \left( \frac{4}{3} \right)^{1/3} \delta^{-2/3} m^{2/3}, \quad (4)$$

где  $\delta$  — плотность метеорной частицы. Допустим, что метеорная частица во время полета сохраняет сферическую форму. Тогда из уравнения (2) получаем следующее выражение для плотности атмосферы:

$$\rho_a = -\kappa_1 m^{1/3} v^{-2} \frac{dv}{dt}, \quad (5)$$

где

$$\kappa_1 = \Gamma^{-1} \pi^{-1/3} (4/3)^{2/3} \delta^{2/3}. \quad (6)$$

Независимо от формулы (5) можно из (3) для плотности атмосферы получить следующее соотношение:

$$\rho_a = -\kappa_2 m^{-2/3} v^{-3} \frac{dm}{dt}, \quad (7)$$

$$\kappa_2 = \kappa_1 (\sigma)^{-1}, \quad (8)$$

$$\sigma = \frac{\Lambda}{2Q\Gamma}. \quad (9)$$

**Вычисление массы метеора.** Масса метеора вычисляется из уравнения свечения [4]:

$$I = -\frac{\beta}{2} \left( \frac{dm}{dt} \right) v^2, \quad (10)$$

где  $\beta$  — коэффициент светимости, который зависит от скорости, массы и структуры метеорной частицы. По своему смыслу коэффициент светимости характеризует долю кинетической энергии, превращающейся в излучение. Элементарный акт излучения зависит от природы и скорости движения сталкивающихся частиц. Коэффициент  $\beta$ , кроме того, еще зависит от спектральной чувствительности приемника излучения. Э. Эпик [6] вычисляет визуальный коэффициент светимости. Он представляет  $\beta$  в виде суммы трех слагаемых:

$$\beta = \beta_0 + \beta_t + \beta_b, \quad (11)$$

где  $\beta_0$ ,  $\beta_t$  и  $\beta_b$  — доли энергии, превращающейся в визуальное излучение за счет столкновений (impact), теплового излучения комы и теплового излучения метеорной частицы соответственно. В свою очередь  $\beta_0$  зависит от степени разреженности комы. В разреженной коме преобладают столкновения атомов метеорного вещества с атомами воздуха; в плотной коме преобладают столкновения между атомами метеорного вещества. Э. Эпик предлагает вычислять  $\beta_0$  по следующей формуле:

$$\beta_0 = (\beta_1 + \beta_2 \delta) / (1 + \delta), \quad (12)$$

где  $\delta$  — коэффициент разрежения комы. Ниже, в таблице 9, приводится составленная по данным Эпика зависимость

$\beta_1$ ,  $\beta_2$  и  $\delta$  от скорости (для метеорных частиц в виде пылевых сгустков — „пылевых шаров“).

Аналогичные таблицы вычислены Эпиком для железных и каменных метеорных частиц.

Таблица 9

$v$ км/сек	20	30	40	50	60	70	80
$\beta_1 \cdot 10^3$	0.97	0.63	0.48	0.41	0.36	0.33	0.30
$\beta_2 \cdot 10^3$	1.40	1.68	2.00	2.36	2.62	2.84	3.05
$(\delta/m) \cdot 10$	0.12	0.53	1.03	1.09	0.82	0.39	0.28

Коэффициент теплового излучения комы  $\beta_t$  определяется по формуле:

$$\beta_t = 50 \beta_c \psi (1 - \psi), \quad (13)$$

где  $\psi$  — некоторая функция от скорости и массы метеора. В таблице 10 приведены значения  $\beta_c$  и  $\psi$  для „пылевых“ метеоров.

Таблица 10

$v$ км/сек	20.9	29.6	41.8	59.2	83.6
$\beta_c \cdot 10^3$	0.45	0.41	0.36	0.31	0.30
$(\psi/\sqrt{m}) \cdot 10$	0.17	0.105	0.052	0.027	0.016

Обычно  $\beta_t$  значительно меньше  $\beta_0$ . Однако для сплошных железных и каменных частиц его следует учитывать при вычислении точного значения массы. Что касается  $\beta_b$ , то этот коэффициент всегда значительно меньше  $\beta_0$  и им можно пренебречь. Так как масса метеора определяется из уравнения (10), в которое входит  $\beta$ , в свою очередь зависящее от массы, то, очевидно, вычисления следует проводить методом последовательных приближений. Основная трудность, возникающая при этом, заключается в том, что нам неизвестна природа метеорных частиц. Особенно это касается частиц, порождающих яркие метеоры. Можно получить, по крайней мере, три значения массы, отличающиеся чуть ли не на порядок в зависимости от того, считаем ли мы метеорную частицу железной, каменной или пылевым сгустком. В первом приближении при вычислении плотности атмосферы можно принять, как это следует из таблицы 9, следующее предположение:

$$\beta = \beta_2 = \tau_0 v, \quad (14)$$

где  $\tau_0$  — не зависящая от скорости постоянная. По данным таблицы 9

$$\lg \tau_0 = -9.30 \quad (15)$$

вместо  $\lg \tau_0 = -9.07$ , применявшегося ранее Эпиком и Яккия [26, 27]. Таким образом, следует (10) переписать в следующем виде:

$$I = -\frac{\tau_0}{2} \left( \frac{dm}{dt} \right) v^3. \quad (16)$$

Здесь

$$\lg I = 9.72 + \lg i; \quad \lg i = -0.4 M, \quad (17)$$

где  $M$  — абсолютный блеск метеора. Из уравнения (16) получаем два соотношения, при помощи которых можно вычислять изменение массы в единицу времени и массу метеора в фиксированный момент  $t$ :

$$dm/dt = -2 I/\tau_0 v^3, \quad (18)$$

$$m = \frac{2}{\tau_0} \int_{t_1}^{t_2} \frac{I}{v^3} dt \approx \frac{2}{\tau_0} v^{-3} \int_{t_1}^{t_2} I dt, \quad (19)$$

где  $t_2$  — время исчезновения метеора.

*Вычисление  $\sigma$ .* Из уравнений (2) и (3) легко получить следующее соотношение:

$$\sigma = \frac{\Lambda}{2Q\Gamma} = \frac{dm/dt}{mv^2 dv/dt}, \quad (20)$$

которое после подстановки (18) и (19) принимает вид:

$$\sigma = \frac{I}{v \frac{dv}{dt} \int_{t_1}^{t_2} Idt}. \quad (21)$$

Величина  $\sigma$  может быть легко вычислена, если из наблюдений известны скорость, торможение и свечение метеора. Для большинства обработанных нами метеоров удалось вычислить  $\sigma$ . Соответствующие значения  $\lg \sigma$  приведены в таблице 21.

В таблице 11 приведена зависимость  $\lg \sigma$  от индекса аблации

$$s = \lg \left( \frac{m_\infty}{m} - 1 \right), \quad (22)$$

где

$$m_\infty = \frac{2}{\tau_0 v^3} \int_{t_1}^{t_2} Idt, \quad (23)$$

$t_1$  — время, соответствующее началу свечения метеора.

Таблица 11

$\frac{s}{g}$	-0.90	-0.66	-0.46	-0.27	-0.09	+0.10	+0.28	+0.54
	-11.60	-11.46	-11.43	-11.40	-11.39	-11.35	-11.32	-11.25
	42	37	46	85	80	76	50	41

Из таблицы видно, что  $\lg \sigma$  растет по мере увеличения индекса аблации  $s$ . Аналогичная зависимость была получена в 1958 году Яккия [28]. В таблице 12 отражена зависимость  $\lg \sigma$  от  $\delta t$ , где

$$\delta t = \frac{t_2 - t_1}{t_2 + t_1}. \quad (24)$$

Таблицы 11 и 12 характеризуют изменение  $\lg \sigma$  с глубиной проникновения метеора в атмосферу. Несколько менее выражены зависимости  $\lg \sigma$  от скорости  $v$  и интегральной светодиодности (первоначальной массы) метеора ( $E = \int_{t_1}^{t_2} idt$ ), приведенные в таблицах 13 и 14.

Таблица 12

$\delta t$	$\lg \sigma$	Стандартное отклонение		$g$
		среднего	одн. измер.	
0.0 – 0.3	-11.59	$\pm 0.09$	$\pm 0.45$	27
0.3 – 0.4	-11.37	$\pm 0.09$	0.63	50
0.4 – 0.5	-11.46	$\pm 0.09$	0.56	37
0.5 – 0.6	-11.39	0.13	0.81	41
0.6 – 0.7	-11.30	0.08	0.60	56
> 0.7	-11.19	$\pm 0.16$	$\pm 0.89$	33

Таблица 13

$v$ км/сек	$\bar{v}$ км/сек	$\lg \sigma$	$g$
< 20	17.72	-11.21	44
20 – 25	22.82	-11.37	44
25 – 30	28.45	-11.35	28
30 – 35	31.77	-11.38	19
35 – 40	36.65	-11.28	63
40 – 50	44.09	-11.12	13
50 – 55	51.85	-11.28	23
55 – 60	58.95	-11.38	44
60 – 65	61.70	-11.59	138
> 65	69.10	-11.34	44

Для вычисления плотности атмосферы по формуле (7) нами было использовано среднее значение  $\lg \sigma = -11.39$ ,

так что формула, связывающая коэффициенты  $\kappa_2$  и  $\kappa_1$ , имеет следующий вид:

$$\lg \kappa_2 = \lg \kappa_1 + 11.39. \quad (25)$$

Таблица 14

$E$	$\bar{E}$	$\lg \sigma$	$g$
-0.50 до	-0.25	-0.38	-10.993
-0.25 "	0.00	-0.12	-11.272
0.00 "	0.25	+0.14	-11.386
0.25 "	0.50	+0.41	-11.300
0.50 "	0.75	+0.62	-11.481
0.75 "	1.00	+0.93	-11.524
1.00 "	1.25	+1.11	-11.552
1.25 "	1.50	+1.37	-11.322
1.50 "	2.00	+1.61	-11.483
	> 2.00	+2.22	-11.995

*Плотность атмосферы.* Уравнения (5) и (8) после подстановки (17), (18) и (19) могут быть записаны в следующем виде:

$$\rho_a = -\kappa_0 v^{-3} \frac{dv}{dt} \left[ \int_{t_1}^{t_2} idt \right]^{1/3}, \quad (26)$$

$$\rho_a = -\kappa'_0 v^{-4} i \left[ \int_{t_1}^{t_2} idt \right]^{-2/3}, \quad (27)$$

где

$$\kappa_0 = \kappa_1 \left( \frac{2}{\tau_0} 10^{9.72} \right)^{1/3}, \quad (28)$$

$$\kappa'_0 = \kappa_0 \sigma^{-1}. \quad (29)$$

Принимая в первом приближении  $\Gamma = 1$ ,  $\lg \tau_0 = -9.30$  и среднюю плотность метеорной частицы

$$\delta = 0.1 \text{ г/см}^3, \quad (30)$$

получаем для коэффициентов  $\kappa_0$  и  $\kappa'_0$  следующие численные значения:

$$\lg \kappa_0 = 5.69, \quad (31)$$

$$\lg \kappa'_0 = 17.08; \quad (32)$$

окончательные рабочие формулы принимают вид:

$$\lg \rho_1 = 5.69 - 3 \lg v + \frac{1}{3} \lg \int_{t_1}^{t_2} idt + \lg \frac{dv}{dt}, \quad (33)$$

$$\lg \rho_2 = 17.08 - 4 \lg v + \lg i - \frac{2}{3} \lg \int_{t_1}^{t_2} idt. \quad (34)$$

Плотность атмосферы вычислялась независимо как по торможению, так и по свечению метеоров. В связи с тем, что в каждом отдельном случае используются исходные величины ( $\frac{dv}{dt}$ ,  $v$  и  $i$ ), искаженные ошибками наблюдений, плотности, вычисленные из (33) и (34) не совпадают. Подставляя в (29) и (34) полученное по метеорным данным среднее значение  $\sigma$ , мы тем самым несколько исключаем случайные ошибки измерения торможения. Поэтому усредненные значения плотности, полученные по торможению и свечению метеоров, будут почти совпадать.

В таблице 21 приведены результаты вычисления плотности атмосферы. Здесь, кроме порядкового номера и номера метеора, даны  $\odot$  — долгота Солнца в момент наблюдения,  $h$  — высота атмосферы над уровнем моря,  $v$  — скорость метеора в км/сек,  $\lg \rho_1$  — плотность, вычисленная по формуле (33),  $\Delta_1 = \lg \rho_1 - \lg \rho_{\text{ст}}$ , где  $\lg \rho_{\text{ст}}$  — плотность стандартной атмосферы [29],  $\lg \rho_2$  — плотность, вычисленная по формуле (34),  $\Delta_2 = \lg \rho_2 - \lg \rho_{\text{ст}}$ ,  $E = \lg \int_{t_1}^{t_2} idt$ ; далее приведены  $\lg \sigma$ ,  $s$  — индекс аблации [28],  $[\delta t] = (t - t_1)/(t_2 - t_1)$  и  $g$  — статистический вес, приписываемый данному измерению.

Для того, чтобы получить разрез атмосферы в метеорной зоне, т. е. зависимость плотности от высоты, все данные таблицы 21 были сгруппированы по одинаковым интервалам  $h$  и вычислены соответствующие средние значения  $\lg \rho_1$  и  $\lg \rho_2$ . Эти данные для всех метеоров и отдельно для спорадических приведены соответственно в таблицах 15 и 16.

На рисунках 8 и 9 изображены стандартные графики изменения плотности с высотой (стандартная атмосфера). Здесь же нанесены измеренные значения  $\lg \rho_1$  (сплошные кружки) и  $\lg \rho_2$  (незаполненные кружки). Рис. 8 построен по данным, полученным для всех метеоров, рис. 9 — по спорадическим метеорам. Как видно из таблиц и графиков, плотность атмосферы, вычисленная по свечению метеоров (формула 34), ближе к данным стандартной атмосферы. Плотность, вычисленная по спорадическим метеорам, лучше согласуется с данными стандартной атмосферы, чем плотность, вычисленная по всем метеорам; таким образом, самое лучшее согласие получается для плотности, вычисленной по свечению спорадических метеоров.

Следует отметить хорошее внутреннее согласие измерений. Если исключить первую точку, соответствующую одному медленному метеору с аномальной кривой блеска (№ 39), то остальные точки приблизительно лежат на одной плавной кривой. Эта кривая пересекает стандартную кривую под некоторым небольшим углом. Поворотом вокруг точки, лежащей

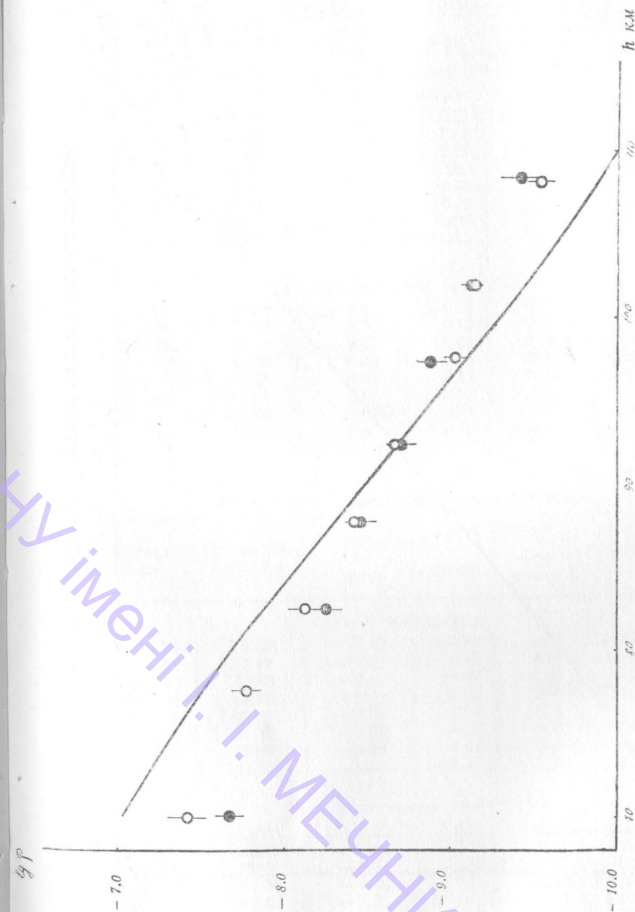


Рис. 8. Плотность атмосферы, вычисленная по всем метеорным данным.

Таблица 15-

## Плотность атмосферы, вычисленная по торможению метеоров

Высота $h \text{ км}$	Ср. высота $h \text{ сп. км}$	Плотность $\rho / \text{см}^3$ $\lg \rho_1$	Станд. откл.		$\Delta_1$	g
			средн.	одн. измер.		
Все метеоры						
< 75	70.08	- 7.67	$\pm 0.11$	$\pm 0.46$	- 0.64	19
75—80	77.62	7.77	0.11	0.53	- 0.26	24
80—85	82.53	8.25	0.10	0.79	- 0.39	65
85—90	87.78	8.45	0.09	0.81	- 0.16	80
90—95	92.41	8.69	0.10	0.80	- 0.01	65
95—100	97.40	8.87	0.10	0.77	+ 0.18	53
100—105	102.05	9.11	0.07	0.76	+ 0.31	116
> 105	108.42	- 9.41	$\pm 0.13$	$\pm 0.78$	+ 0.45	37
Сporадические метеоры						
< 75	70.08	- 7.67	$\pm 0.11$	$\pm 0.46$	- 0.64	19
75—80	77.06	7.70	0.13	0.56	- 0.23	19
80—85	82.44	8.07	0.08	0.51	- 0.21	46
85—90	87.76	8.38	0.13	0.90	- 0.09	50
90—95	92.38	8.61	0.15	0.96	+ 0.07	39
95—100	97.51	8.96	0.13	0.76	+ 0.11	35
100—105	101.94	9.06	0.20	0.83	+ 0.36	15
> 105	108.07	- 9.40	$\pm 0.19$	$\pm 0.82$	+ 0.43	19

Таблица 16-

## Плотность атмосферы по свечению метеоров

Высота $h \text{ км}$	Ср. высота $h \text{ сп. км}$	Плотность $\rho / \text{см}^3$ $\lg \rho_2$	Станд. откл.		$\Delta_1$	g
			средн.	одн. измер.		
Все метеоры						
< 75	70.08	- 7.42	$\pm 0.14$	$\pm 0.63$	- 0.39	19
75—80	77.47	- 7.76	0.16	0.78	- 0.26	22
80—85	82.53	- 8.12	0.07	0.58	- 0.26	65
85—90	87.77	- 8.41	0.08	0.70	- 0.12	83
90—95	92.42	- 8.65	0.10	0.79	+ 0.03	67
95—100	97.57	- 9.02	0.07	0.52	+ 0.05	60
100—105	102.00	- 9.14	0.04	0.49	+ 0.28	120
> 105	108.28	- 9.53	$\pm 0.08$	$\pm 0.59$	+ 0.33	48
Сporадические метеоры						
< 75	70.08	- 7.42	$\pm 0.14$	$\pm 0.63$	- 0.39	19
75—80	76.80	- 7.60	0.19	0.84	- 0.15	17
80—85	82.44	- 8.07	0.10	0.67	- 0.21	46
85—90	87.78	- 8.36	0.11	0.80	- 0.07	54
90—95	92.40	- 8.56	0.14	0.92	+ 0.12	41
95—100	97.77	- 9.01	0.08	0.55	+ 0.07	42
100—105	101.78	- 9.24	0.15	0.63	+ 0.17	17
> 105	107.88	- 9.54	$\pm 0.14$	$\pm 0.65$	+ 0.39	21

на высоте 80–90 км, измеренную кривую можно совместить со стандартной. Расхождения между данными, полученными из метеорных измерений, и данными стандартной атмосферы можно объяснить, во-первых, действительными сезонными флюктуациями плотности атмосферы (наши измерения проводились главным образом летом и осенью, когда больше всего ясных ночей) и, во-вторых, неточностью рабочих формул, т. е. погрешностями теории.

Формулу (33) можно было бы переписать в следующем более общем виде:

$$\lg \rho_1 = 5.69 - n \lg v - \alpha \lg \int_v^{t_2} idt + \lg \frac{dv}{dt}. \quad (35)$$

В таком случае отклонения  $\Delta_1 = \lg \rho_1 - \lg \rho_{\text{ст}}$  должны были бы при  $n \neq 3$  и  $\alpha \neq 1/3$  как-то изменяться в зависимости от скорости  $v$  и интегральной интенсивности  $E$ . В таблицах 17 и 18 иллюстрируются эти зависимости.

Таблица 17.

$v$ км/сек	17.7	22.8	28.4	31.8	36.6	44.1	51.8	58.9	61.7	69.1
$\Delta_1$	-0.09	+0.03	-0.22	-0.07	-0.21	-0.06	+0.03	+0.18	+0.15	+0.16
$g$	44	44	28	19	63	13	23	44	138	44

К сожалению, количество измерений недостаточно для того, чтобы получить уверенную зависимость  $\Delta_1$  от  $v$  и  $E$ . Последнее замечание также относится к попытке обнаружить сезонные вариации плотности атмосферы. В таблице 19 приведены значения  $\Delta_1$  для различных долгот Солнца. Однако и здесь нет какой-либо четкой зависимости. Очевидно, необходимо выяснить совместное влияние  $v$ ,  $E$  и  $\odot$  на величину отклонения  $\Delta_1$ . Для этого необходимо использовать наблюдения за больший, чем МГГ, промежуток времени.

Таблица 18

$E$	$\Delta_1$	$g$	$\odot$	$\Delta_1$	$g$
-0.50 до -0.25	+0.03	15	34	+0.72	12
-0.25 , 0.00	+0.06	52	115	+0.13	20
0.00 , +0.25	-0.25	27	127	-0.59	43
0.25 , 0.50	+0.14	49	138	+0.23	168
0.50 , 0.75	+0.23	69	144	+0.19	24
0.75 , 1.00	+0.32	68	162	+0.31	24
1.00 , 1.25	-0.07	63	204	+0.00	55
1.25 , 1.50	-0.23	55	211	+0.18	28
1.50 , 2.00	-0.28	18	254	-0.51	53
		357	-0.45	30	

Таблица 19

Шкала высот. Для того, чтобы вычислить шкалу высот, плотность атмосферы на отдельных участках метеорной зоны была представлена следующей формулой:

$$\rho(h_i) = \rho(h_{i-1}) \exp(\Delta h_i / H_i), \quad (36)$$

с помощью которой по данным таблиц 15 и 16 вычислялась высота однородной атмосферы. Соответствующие данные приведены в таблице 20, где через  $h$  обозначена высота над уровнем моря и  $H$  — высота однородной атмосферы. В последней строке таблицы 20 даны средние значения  $h$  и  $H$ . Для спорадических метеоров по методу наименьших квадратов были получены следующие уравнения, позволяющие вычислить плотность атмосферы в метеорной зоне в зависимости от высоты  $h$ :

а. по торможению —

$$\lg \rho_1 = -3.44 - \frac{0.434}{7.80} h, \quad (37)$$

б. по свечению —

$$\lg \rho_2 = -3.40 - \frac{0.434}{7.58} h. \quad (38)$$

Таблица 20

Все метеоры		Сporадические метеоры	
по торможению	по свечению	по торможению	по свечению
$h$	$H$	$h$	$H$
—	—	73.8	9.54
80.1	4.45	80.0	6.10
85.2	11.06	85.2	7.70
90.1	8.59	90.1	8.41
94.9	11.76	95.0	6.12
99.7	8.51	99.8	15.63
105.2	9.15	105.1	7.08
92.6	8.92	89.8	8.65
			92.4
			9.30
			92.3
			7.88

Вычисленная по метеорным измерениям высота однородной атмосферы лежит в пределах от 7,58 до 7,80 км, что примерно на 2 км больше данных, приводимых в стандартной атмосфере 1960 года [29]. К аналогичным результатам приводят радиолокационные наблюдения метеоров. В таблице 20 обращает на себя внимание большое значение  $H$  на высоте около 100–105 км. Здесь в основном использовались метеоры, движущиеся с большой скоростью. Более подробный анализ данных о высоте однородной атмосферы можно будет провести, если использовать некоторые дополнительные соображения и, главное, наблюдения за более продолжительное время.

№	Метод	⊙	<i>h</i>	<i>v</i>	$\lg \rho_1$	$\Delta_1$	$\lg \rho_2$	$\Delta_2$	<i>E</i>	$\lg \sigma$	<i>s</i>	$\delta t$	<i>g</i>
1	1	126°27'	99.11	66.31	-9.506	-0.316	-9.384	-0.194	-0.076	-11.220	-0.424	0.39	4
2	2	126.23	92.87	42.30	-9.032	-0.342	-8.799	-0.109	+0.690	11.138	-0.237	0.35	3
3	3	126.23	91.62	42.6	-8.330	+0.260	-8.620	-0.109	+0.696	11.688	+0.038	0.55	3
4	4	126.22	106.10	60.58	-8.966	-0.156	-9.561	+0.146	+4.42	11.084	-0.682	0.46	1
5	5	126.22	103.20	60.58	-9.496	+0.014	-9.364	+0.146	+4.42	11.258	-0.325	0.46	1
6	6	126.22	100.10	60.38	-9.047	+0.223	-8.870	+0.040	+4.42	11.204	+0.512	0.79	1
7	7	127.20	91.79	61.2	-9.677	-1.071	-9.643	-0.037	+25.7	11.376	-0.810	0.30	6
8	8	127.20	88.62	61.1	-8.969	-0.756	-9.351	-1.138	+25.7	11.873	-0.438	0.53	6
9	9	127.20	83.51	60.0	-8.512	-0.562	-8.580	-0.640	+25.7	11.486	+0.034	0.67	6
10	10	127.23	89.34	36.6	-8.597	-0.184	-8.665	-0.252	+0.806	11.462	-0.638	0.36	3
11	11	127.23	87.94	36.3	-8.223	+0.080	-8.438	-0.135	-1.051	11.637	-0.286	0.48	3
12	12	127.23	86.56	35.7	-7.927	+0.266	-8.266	-0.073	+0.806	11.729	+0.063	0.60	3
13	13	127.25	102.82	58.55	-9.959	-0.479	-9.311	+0.169	+0.878	10.742	-0.527	0.30	1
14	14	127.25	97.30	58.61	-9.672	-0.632	-9.103	-0.063	+0.878	10.920	-0.010	0.56	1
15	15	127.25	91.80	58.40	-9.005	-0.435	-8.834	-0.244	+0.878	11.218	-0.553	0.80	1
16	16	147.22	96.50	24.27	-8.092	+0.792	-7.829	+1.151	-0.433	11.127	-0.454	0.21	1
17	17	147.28	91.55	22.8	-7.782	+0.798	-7.889	+0.691	+0.593	11.497	+0.612	0.33	3
18	18	152.12	94.56	24.95	-8.873	-0.043	-9.286	-0.456	+0.986	11.802	-0.286	0.36	3
19	19	152.12	90.18	24.84	-8.102	+0.378	-8.099	-0.241	+0.989	11.388	-1.051	0.21	1
20	20	152.12	85.80	24.52	-8.068	+0.082	-7.892	-0.272	+0.989	11.927	+0.217	0.41	1
21	21	152.12	81.42	24.28	-8.229	-0.439	-7.765	+0.025	+0.989	11.768	+0.819	0.83	1
22	22	152.12	77.04	23.58	-7.357	+0.113	-7.735	-0.205	+0.989	11.768	+0.819	0.83	1
23	23	151.27	91.40	22.67	-9.063	-0.488	-7.807	-0.768	-0.190	10.119	-0.045	0.57	2
24	24	151.27	90.80	22.63	-8.445	+0.180	-7.735	-0.790	-0.190	10.680	+0.152	0.65	2
25	25	155.06	89.50	28.7	-8.032	+0.398	-7.900	+0.530	+0.490	11.258	-0.150	0.55	2
26	26	146.29	89.80	24.95	-8.569	-0.122	-8.344	+0.103	-0.022	11.374	-0.626	0.39	3
27	27	146.29	87.98	24.85	-8.227	+0.080	-8.231	+0.076	-0.022	-11.786	-0.361	0.33	3

Приложение к таблице 21

№	Метод	⊙	<i>h</i>	<i>v</i>	$\lg \rho_1$	$\Delta_1$	$\lg \rho_2$	$\Delta_2$	<i>E</i>	$\lg \sigma$	<i>s</i>	$\delta t$	<i>g</i>	
28	28	146°29'	86.08	24.55	-7.927	+0.230	-8.130	+0.027	-0.022	-11.901	-0.138	0.66	3	
29	29	155.07	105.70	50.35	-8.402	+1.278	-8.577	+0.113	+0.892	11.449	-0.229	0.37	1	
30	30	204.04	92.86	32.10	-8.957	-0.672	-8.221	+0.064	-0.015	11.449	-0.632	0.37	2	
31	31	204.04	87.73	32.10	-9.255	-1.182	-8.044	-0.083	-0.015	10.654	+0.097	0.64	2	
32	32	204.04	85.73	31.85	-9.255	-0.154	-8.228	-0.246	+0.158	10.128	+0.708	0.83	3	
33	33	210.65	83.92	31.10	-8.137	-0.154	-7.887	-0.260	+0.158	11.420	+0.271	0.62	4	
34	34	210.65	82.08	30.4	-7.934	+0.103	-7.587	+0.440	+0.469	11.322	+0.556	0.75	6	
35	35	206.05	84.50	19.99	-7.924	+0.308	-7.587	+0.447	-0.469	11.052	+0.062	0.53	4	
36	36	206.05	83.76	19.75	-7.883	+0.084	-7.520	+0.447	-0.469	11.019	+0.324	0.60	4	
37	37	23.06.15	106.3	64.15	-10.494	-10.494	-7.587	-0.759	-0.602	10.549	-0.602	0.31	2	
38	38	26.21.01	97.10	29.52	-9.307	-0.267	-8.485	+0.575	+0.602	11.732	-0.214	0.46	2	
39	39	26.21.01	94.98	29.44	-8.310	+0.545	-8.294	+0.561	+0.602	11.374	-0.214	0.46	2	
40	40	26.21.01	92.75	29.06	-8.284	+0.396	-7.979	+0.601	+0.602	11.086	-0.164	0.63	1	
41	41	214.01	91.10	28.75	-7.947	+0.563	-7.787	+0.727	+0.602	11.226	+0.574	0.74	2	
42	42	214.18	105.91	69.35	-9.061	+0.634	-9.323	-0.372	-0.217	11.657	-0.256	0.36	4	
43	43	215.18	102.72	66.82	-9.121	+0.354	-8.993	+0.482	+0.408	11.244	+0.082	0.62	6	
44	44	214.19	99.4	63.62	-9.130	-0.127	-9.085	+0.127	+0.504	11.732	+0.124	0.4	4	
45	45	210.08	86.78	27.74	-8.430	-0.225	-8.772	-0.567	+0.155	11.732	-0.655	0.27	4	
46	46	240.08	83.92	27.00	-8.298	-0.378	-8.551	-0.631	+0.155	11.644	-0.444	0.45	2	
47	47	240.08	79.87	26.91	-7.930	-0.265	-8.247	-0.582	+0.155	11.708	-0.095	0.64	2	
48	48	240.08	76.52	26.26	-7.846	+0.040	-7.756	-0.326	+0.155	11.107	+0.335	0.82	2	
49	49	216.13	104.37	70.51	-9.290	+0.300	-9.130	+0.460	+0.665	11.230	-0.385	0.40	2	
50	50	216.09	106.90	58.40	-9.540	+0.222	-9.257	+0.506	+0.342	11.106	-0.639	0.33	4	
51	51	35	262.34	87.50	28.70	-8.430	-0.225	-7.890	+0.900	+0.130	11.030	+0.175	0.4	4
52	52	262.36	82.77	36.40	-9.405	-1.515	-8.247	-0.357	+0.185	10.232	+0.275	0.62	2	
53	53	262.36	79.95	36.30	-8.206	-0.526	-8.114	-0.434	+0.185	11.299	+0.381	0.81	1	
54	54	357.33	81.5	19.45	-7.811	-0.021	-8.036	-0.246	+1.326	-11.866	-1.048	.10	4	

N <sub>№</sub>	Ме- теор	⊙	h	v	1gρ <sub>1</sub>	Δ <sub>1</sub>	1gρ <sub>2</sub>	Δ <sub>2</sub>	E	lgσ	s	δt	g
55	39	357933 <sup>4</sup>	77.67	19.35	-7.395	+0.122	-8.061	-0.544	+1.326	-11.056	-0.847	0.27	4
56	39	357 33	74.21	19.25	-8.080	-0.053	-8.000	-0.708	+1.326	12.045	-0.652	.42	4
57	39	357 33	70.97	19.14	-7.626	-0.539	-7.497	-0.705	+1.327	11.190	-0.456	.57	4
58	39	357 33	66.60	18.95	-7.537	-0.705	-7.237	-0.405	+1.326	11.089	-0.243	.78	4
59	39	357 33	63.57	18.93	-7.876	-1.209	-8.692	-0.285	+1.326	10.466	-0.715	.90	4
60	40	357 47	81.41	27.80	-8.613	-0.743	-8.033	-0.343	+1.320	11.608	-0.449	.36	3
61	40	357 47	80.12	28.08	-8.743	-1.053	-8.033	-0.343	+1.320	11.613	-0.202	.43	3
62	41	2 49	96.0	35.07	-7.917	+1.018	-8.872	-0.177	+1.326	12.346	-0.392	.36	2
63	41	2 49	93.47	35.03	-7.834	+0.901	-8.701	-0.034	+1.326	11.996	-0.273	.50	2
64	41	2 49	91.52	34.04	-7.712	+0.923	-8.545	+0.990	+1.326	12.256	-0.273	.60	2
65	41	2 49	88.86	32.16	-8.262	+0.901	-8.262	+0.996	+1.322	12.222	-0.156	.60	2
66	42	89.52	99.7	62.81	-9.135	+0.105	-9.154	+0.086	+1.326	12.178	-0.048	.79	3
67	42	89.52	98.5	62.75	-9.163	-0.018	-9.065	+0.080	+1.210	11.408	-0.299	.47	2
68	43	109.54	99.57	59.08	-8.293	+0.934	-8.887	+0.340	+1.210	11.290	-0.080	.53	2
69	44	112.43	91.24	38.59	-8.355	+0.207	-8.712	-0.150	+0.651	11.983	+0.086	.52	4
70	44	112.43	88.78	38.21	-8.105	+0.265	-8.264	+0.106	+0.651	11.745	-0.854	.37	4
71	45	118.34	88.5	64.68	-9.495	-1.145	-9.197	+0.847	+0.651	11.439	-0.270	.55	3
72	46	119.30	109.32	68.22	-10.109	-0.191	-9.673	+0.245	+0.651	11.113	-0.572	.43	2
73	46	119.30	108.03	68.28	-9.769	+0.064	-9.408	+0.245	+0.201	10.933	-0.285	.44	4
74	48	135.46	101.18	60.72	-8.963	+0.390	-9.025	+0.328	+0.201	11.029	+0.228	.63	3
75	49	135.45	76.5	18.36	-7.760	-0.320	-7.743	-0.103	+0.647	11.451	-0.200	.43	6
76	49	135.45	75.97	18.28	-7.743	-0.103	-6.794	+0.606	+0.978	10.658	-0.109	.54	2
77	49	135.45	75.4	18.10	-7.188	+0.182	-6.616	+0.754	+0.978	10.772	+0.118	.61	2
78	50	135.46	96.54	51.02	-9.096	-0.121	-9.007	+0.032	+0.157	11.299	-0.154	.36	4
79	50	135.46	88.54	50.89	-9.072	-0.722	-8.447	-0.997	+1.547	10.765	+0.154	.70	4
80	51	136.37	100.0	51.41	-8.791	+0.539	-9.263	-0.033	+1.431	11.962	-0.869	.44	4
81	51	136.37	95.24	51.41	-8.855	+0.023	-8.681	+0.197	+1.431	-11.216	-0.187	.67	5

N <sub>№</sub>	Ме- теор	⊙	h	v	1gρ <sub>1</sub>	Δ <sub>1</sub>	1gρ <sub>2</sub>	Δ <sub>2</sub>	E	lgσ	s	δt	g
82	53	13643 <sup>3</sup>	101.4	57.49	-8.989	+0.384	-8.821	+0.552	+1.045	-11.222	-0.617	.35	3
83	53	136 43	100.22	57.49	-8.928	+0.347	-8.748	+0.527	+1.045	11.209	-0.008	.56	4
84	54	137 43	99.4	60.23	-8.570	-0.203	-9.073	-0.710	+1.045	11.621	-0.941	.33	3
85	54	137 43	88.71	60.10	-8.671	+0.904	-9.112	+0.463	+1.061	11.820	-0.088	.69	3
86	55	138 42	104.17	61.62	-9.488	-0.288	-9.436	-0.236	+1.061	11.347	-0.433	.33	6
87	56	138 42	99.2	71.35	-9.413	+0.067	-9.333	-0.423	+1.061	11.582	-0.186	.47	4
88	56	138 42	95.6	70.22	-8.755	-0.175	-9.069	-0.649	+1.061	11.707	+0.077	.63	2
89	57	138 34	88.92	59.96	-8.564	-0.179	-8.785	-0.400	+1.061	11.659	+0.234	.62	3
90	58	139 38	97.66	63.60	-8.764	+0.310	-9.153	-0.078	+1.061	11.912	+0.450	.72	4
92	58	139 38	92.77	63.60	-8.568	+0.117	-8.898	-0.215	+2.158	11.780	-0.800	.35	4
93	59	139 36	108.7	62.85	-8.266	+0.120	-8.439	+0.459	+1.167	-11.320	-0.320	.62	2
94	59	139 36	108.7	63.26	-9.766	+0.120	-9.439	+0.447	+1.167	11.063	-0.927	.26	3
95	60	139 36	102.95	63.14	-9.172	+0.318	-9.108	+0.382	+1.167	11.326	-0.830	.26	3
96	61	139 40	101.68	60.41	-9.176	+0.214	-8.916	+0.474	+0.706	11.167	-0.070	.60	6
97	61	139 40	107.8	63.40	-9.121	+0.709	-9.912	-0.082	+2.260	12.208	-0.212	.48	6
98	62	139 38	99.11	63.17	-8.603	+0.592	-9.592	-0.397	+2.260	12.376	-1.374	.21	2
99	62	139 38	94.78	62.85	-8.299	+0.546	-9.405	-0.560	+2.260	12.489	-0.981	.49	2
100	62	139 38	93.85	62.40	-8.491	-0.159	-8.358	+0.405	+2.260	12.489	-0.776	.65	2
101	64	139 36	93.85	61.46	-8.491	-0.856	-8.358	-0.405	+2.260	12.489	-0.263	.34	6
102	64	139 34	104.88	60.83	-9.566	+0.177	-9.363	+0.380	+1.290	11.799	+0.453	.82	2
103	65	139 34	101.8	60.83	-9.127	+0.263	-9.111	-0.250	+1.290	11.206	-0.295	.37	3
104	65	139 34	103.93	60.74	-9.375	+0.185	-9.255	+0.302	+1.290	11.373	-0.174	.62	4
105	66	139 37	100.65	60.42	-9.539	+0.232	-9.095	+0.514	+1.290	11.273	-0.325	.49	3
106	66	139 37	103.05	60.04	-8.895	+0.465	-9.101	+0.259	+1.290	10.913	-0.049	.48	6
107	67	139 36	101.25	60.04	-8.895	+0.465	-9.101	+0.259	+1.290	11.596	-0.056	.55	6

N <sup>o</sup>	метеор	⊙	h	v	lgρ <sub>1</sub>	Δ <sub>1</sub>	lgρ <sub>2</sub>	E	lgσ	s	δt	g
109	69	139°32'	113.85	65.01	-8.977	+1.283	-10.016	+0.244	+0.743	-12.429	-0.094	3.37
110	69	139.32	112.35	64.82	-8.998	+1.152	-9.978	+0.172	+0.743	12.365	+0.271	52
111	70	139.33	103.13	64.00	-8.703	+0.380	-10.118	-0.618	+0.987	12.389	-0.275	52
112	70	139.33	101.0	63.77	-8.637	+0.637	-9.811	-0.471	+0.476	12.500	+0.193	70
113	71	139.26	107.42	60.15	-10.118	-0.318	-9.324	+0.476	+1.228	10.596	-0.614	36
114	71	139.26	105.45	60.13	-9.994	-0.319	-9.274	+0.401	+1.228	11.050	-0.242	49
115	71	139.26	103.5	60.10	-9.637	-0.107	-9.190	+0.340	+1.228	10.561	-0.113	62
116	71	136.26	101.5	59.95	-8.930	+0.450	-8.857	+0.523	+1.228	11.567	+0.332	4
117	72	139.28	95.0	64.45	-7.604	+0.256	-8.477	-0.617	+1.228	12.264	-0.329	2
118	73	139.28	105.1	60.56	-9.151	-0.199	-9.199	+0.441	+1.111	+0.329	-0.005	1
119	73	139.28	103.30	60.68	-9.151	+0.369	-9.041	+0.479	+1.111	11.280	-0.005	56
120	73	139.28	102.18	60.6	-8.860	+0.575	-8.944	+0.394	+1.111	11.470	-0.199	64
121	74	139.38	97.4	60.21	-9.137	-0.087	-9.296	-0.246	+0.946	11.549	-0.288	16
122	74	139.38	93.40	59.91	-8.803	-0.068	-9.118	-0.381	+0.946	11.703	+0.022	34
123	75	139.40	101.7	61.28	-8.533	+0.867	-9.056	+0.344	-0.208	11.905	-0.134	47
124	75	139.34	100.3	62.38	-8.878	+0.402	-9.118	+0.102	-0.208	11.629	+0.430	4
125	77	139.40	101.6	60.44	-8.777	-0.613	-8.842	+0.548	-0.076	11.455	+0.120	72
126	78	139.40	103.4	61.59	-8.505	+1.015	-8.940	+0.580	-0.197	11.830	+0.205	65
127	79	139.39	100.7	61.50	-9.134	+0.178	-9.271	-0.041	-0.168	11.521	+0.200	58
128	81	140.25	102.9	59.39	-9.413	+0.032	-9.404	+0.041	+1.193	11.380	-0.530	36
129	81	140.25	100.1	59.30	-9.338	-0.073	-9.174	+0.091	+1.493	11.226	-0.328	49
130	81	140.25	98.3	59.22	-8.845	+0.129	-8.991	+0.129	+1.493	11.535	-0.086	65
131	81	140.25	97.2	59.00	-8.502	+0.528	-8.868	+0.162	+1.493	11.755	+0.079	2
132	82	145.18	96.75	49.04	-8.777	+0.223	-8.464	+0.536	+0.954	11.077	+0.146	58
133	83	166.29	89.20	49.91	-7.814	+0.596	-7.782	+0.629	+0.968	11.359	-0.845	11
134	83	166.29	88.15	48.82	-7.633	+0.677	-7.610	+0.700	+0.968	11.368	-0.701	18
135	83	166.29	87.10	48.65	-7.243	+0.987	-7.503	+0.727	+0.968	11.650	-0.567	25
136	83	166.29	86.05	48.39	-6.946	+1.204	-7.416	+0.734	+0.968	-11.861	-0.457	32

N <sup>o</sup>	метеор	⊙	h	v	lgρ <sub>1</sub>	Δ <sub>1</sub>	lgρ <sub>2</sub>	E	lgσ	s	δt	g
137	83	166°24'	82.10	13.10	-6.585	+1.255	-7.037	+0.803	+0.968	-11.851	+0.086	0.60
138	84	171.17	89.6	20.74	-7.816	+0.618	-8.363	+0.667	+0.709	11.940	-0.943	14
139	84	171.17	86.3	20.50	-7.721	+0.449	-8.200	+0.449	+0.709	11.869	-0.719	28
140	84	171.17	83.2	20.30	-7.679	+0.271	-7.978	-0.058	+0.708	11.720	-0.472	43
141	84	171.17	80.0	20.08	-7.621	+0.059	-7.747	-0.067	+0.709	11.515	-1.171	57
142	84	171.17	76.9	19.77	-7.439	+0.021	-7.556	-0.065	+0.709	11.507	+0.149	1
143	85	176.16	94.2	62.75	-8.978	-0.178	-9.029	+0.229	-0.061	11.621	-0.010	.53
144	85	198.59	90.7	109.6	-8.481	+0.039	-8.478	+0.442	+0.346	11.438	-0.932	23
145	87	198.59	89.2	23.25	-8.320	+0.090	-8.366	+0.044	+0.346	11.486	-0.710	30
146	87	198.59	86.05	23.12	-8.145	+0.040	-8.213	-0.028	+0.346	11.457	-0.479	40
147	87	198.59	84.1	22.97	-7.857	+0.138	-7.894	+0.101	+0.346	11.407	-1.065	55
148	88	198.59	81.9	22.68	-7.604	+0.216	-7.617	+0.203	+0.346	11.403	+0.300	66
149	88	204.56	101.1	63.65	-8.735	+1.185	-8.296	+0.714	+1.137	11.861	+0.097	.68
150	88	204.56	109.6	63.40	-8.707	+1.233	-9.165	+0.775	+1.137	11.848	+0.217	73
151	88	204.56	109.6	63.10	-8.657	+1.233	-9.054	+0.836	+1.137	11.757	+0.373	.78
152	89	204.54	102.38	68.56	-9.786	-0.340	-9.463	-0.017	+0.643	11.121	-0.415	48
153	89	204.54	101.10	68.47	-9.322	+0.078	-9.180	+0.220	+0.643	11.167	-0.011	63
154	90	205.03	101.25	70.88	-9.170	+0.185	-9.038	+0.202	+0.814	11.167	+0.108	2
155	91	208.04	101.25	71.34	-8.723	-0.763	-7.807	-0.447	+0.505	11.289	-0.110	53
156	91	252.05	75.3	20.69	-8.343	-1.103	-7.616	-0.376	+0.505	11.084	-0.799	.23
157	91	252.05	73.35	20.70	-8.343	-1.080	-7.497	-0.357	+0.505	10.663	-0.313	.38
158	94	252.05	71.8	20.47	-7.940	-0.115	-8.728	-0.182	+0.498	11.947	-0.058	.51
159	95	254.03	95.7	37.60	-8.793	-0.023	-8.565	+0.205	+0.498	11.324	-0.530	31
160	95	254.03	93.9	37.46	-8.793	-0.154	-8.445	+0.175	+0.498	11.045	+0.199	43
161	95	254.03	92.0	37.34	-8.790	-0.170	-8.326	+0.154	+0.498	10.950	+0.516	.69
162	95	254.03	90.2	37.15	-8.767	-0.287	-8.170	-0.304	+0.498	10.525	+0.167	.61
163	96	256.04	84.75	35.87	-9.220	-1.170	-8.354	-0.304	+0.498	-11.861	-0.457	

№	Метеор	С	h	v	$\lg \rho_1$	$\Delta_1$	$\lg \rho_2$	$\Delta_2$	E	$\lg \sigma$	s	dt	g
164	96	256'04'	83.95	35.86	-9.072	-1.092	-8.130	-0.150	+1.061	-10.447	+0.303	0.64	2
165	96	256.04	83.15	35.84	-8.978	-1.058	-8.245	-0.325	+1.061	-10.606	+0.441	.67	2
166	98	256.13	88.35	35.58	-8.200	-0.860	-8.550	-0.210	+0.491	-10.741	-0.241	.36	2
167	98	256.13	85.56	35.55	-9.052	-0.942	-8.508	-0.398	+0.075	-10.845	+0.075	.47	2
168	99	256.13	89.8	36.80	-8.050	+0.400	-8.558	-0.108	+0.049	-11.898	-0.665	.34	2
169	101	258.10	92.10	37.56	-9.188	-0.558	-8.672	-0.542	+1.033	-10.852	-0.852	.23	2
170	101	258.10	89.70	37.51	-8.935	-0.495	-8.519	-0.079	+1.303	-10.923	-0.515	.33	2
171	101	258.10	87.35	37.46	-8.490	-0.545	-8.410	-0.160	+1.303	-11.005	-0.236	.44	2
172	101	258.10	85.0	37.37	-8.613	-0.543	-8.330	-0.260	+1.303	-11.105	-0.055	.55	2
173	101	258.10	82.70	37.26	-8.461	-0.581	-8.204	-0.324	+1.303	-11.133	+0.286	.66	2
174	102	259.14	82.5	36.67	-8.436	-0.566	-8.404	-0.534	+1.017	-11.358	-0.400	.53	2
175	102	259.14	81.1	36.56	-8.171	-0.411	-8.293	-0.533	+1.017	-11.409	-0.182	.59	2
176	102	259.14	79.8	36.41	-8.067	-0.407	-8.182	-0.522	+1.017	-11.503	-0.003	.66	2
177	102	259.14	78.7	36.18	-7.954	-0.367	-8.006	-0.416	+1.017	-11.442	+0.197	.73	2
178	103	179.27	101.	64.90	-10.37	-0.054	-10.197	-0.857	+0.963	-11.814	-0.467	.46	2
179	104	209.05	102.2	70.37	-8.936	+0.504	-9.360	+0.080	+3.288	-11.586	-0.644	.1	1
180	104	209.05	94.0	70.28	-8.856	-0.076	-9.051	-0.271	+3.288	-11.478	-0.292	.56	1
181	104	209.05	88.8	70.21	-8.530	-0.080	-8.618	-0.168	+3.288	-11.110	-0.138	.67	2
182	105	199.06	100.4	53.81	9.284	+0.006	-9.005	+0.285	+0.134	-11.187	+0.354	.40	2
183	105	199.06	97.87	53.43	-9.030	+0.060	-8.828	+0.282	-0.134	-11.057	-0.587	.64	3
184	106	228.42	86.5	29.50	-9.109	-0.529	-8.575	-0.395	+0.58	-10.857	-0.770	.21	1
185	106	228.42	84.1	29.43	-9.113	-1.113	-8.494	-0.494	-0.518	-10.770	-0.364	.42	1
186	106	228.42	81.25	29.38	-8.927	-0.457	-8.051	-0.281	+0.518	-11.277	+0.198	.64	2
187	106	228.42	79.06	29.06	-8.011	-0.311	-8.015	-0.315	+0.518	-11.433	+0.383	.73	2

## ОПРЕДЕЛЕНИЕ ВРЕМЕНИ ПОЛЕТА МЕТЕОРОВ

Фотографирование метеоров в Одесской астрономической обсерватории ведется с помощью неподвижных камер, поэтому время полета используется только при вычислении гелиоцентрических орбит метеоров. Для определения времени полета применяется метод крыла переменного сечения [30]. На наблюдательном пункте в с. Маяки перед камерами метеорного патруля установлен обтюратор, который состоит из трех секторов («крыльев»)  $AOB$ ,  $COD$  и  $MON$  (рис. 10), вращающихся со средней угловой скоростью 25 об/сек. Секторы  $AOB$  и  $COD$  жестко соединены между собой, а третий сектор  $MON$  связан с ними при помощи редуктора так, что он медленно смещается относительно двух первых, делая один полный оборот за 1 час и 4 минуты. На рис. 10 стрелка указывает

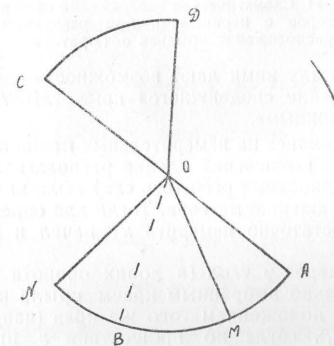


Рис. 10. Схематический чертеж обтюратора переменного сечения.

общее направление вращения крыльев и направление движения «подвижного» крыла  $MON$  относительно «неподвижных»  $AOB$  и  $COD$ . Угловые размеры крыльев (в долях оборота):

- $\angle AOB = 0.192$ ,
- $\angle COD = 0.153$ ,
- $\angle MON = 0.192$ ,
- $\angle BOC = 0.308$ ,
- $\angle AOD = 0.347$ .

Исходным положением крыла  $MON$  считается такое, когда  $\angle BON = 0.075$ . Этот момент времени фиксируется на ленте

хронографа и одновременно происходит перемотка пленки в камерах. Таким образом, для определения времени полета сфотографированного метеора достаточно знать расположение крыльев обтюратора в момент полета.

При таком способе фотографирования след метеора имеет вид, приведенный на рис. 11. В зависимости от взаимного расположения крыльев за один полный оборот обтюратора (цикла) на следе метеора получаются либо два, либо три штриха (рис. 11, А и В). Относительные длины штрихов и



Рис. 11. Схематическое изображение следов метеоров с перерывами при различном расположении крыльев обтюратора.

промежутков между ними дают возможность однозначно определить положение «подвижного» крыла  $MON$  по отношению к «неподвижным».

Снимки измерялись на измерительных машинах. Для удобства дальнейших вычислений пленка располагалась так, чтобы одна из координатных осей (оси « $x$ ») была направлена параллельно изображению метеора. Тогда для определения времени полета достаточно измерить  $x_i$  начал и концов всех штрихов.

Обозначим через  $\varphi$  угол (в долях оборота обтюратора) между произвольно выбранным краем крыла и некоторым фиксированным положением того же края (например, соответствующим  $x_1$ ). Тогда по прошествии  $s$  циклов  $\varphi = s$ , а соответствующие ему  $x = x_{1+sn}$ , где  $n=4$  или  $n=6$  в зависимости от числа штрихов в цикле. Таким образом, можно установить зависимость между  $\varphi$  и  $x$ :

$$\varphi = \varphi(x).$$

Эта функция в общем случае может быть представлена полиномом некоторой степени  $p$  ( $p \leq k - 1$ , где  $k$  — общее число циклов)

$$\varphi = a_0 + a_1x + a_2x^2 + \dots + a_px^p, \quad (1)$$

коэффициенты которого легко могут быть определены обычными методами.

Пользуясь формулой (1), можно для каждого измеренного  $x_i$  найти соответствующее  $\varphi_i$ . Разности  $\Delta\varphi_i = \varphi_{i+1} - \varphi_i$  дают величины углов между краями крыльев обтюратора.

Поскольку измеренные  $x_i$  отягощены случайными ошибками, то  $\Delta\varphi_i$ , соответствующие одному и тому же углу, будут несколько различаться между собой. Бзяя среднее из всех  $\Delta\varphi_i$  для данного угла по всем циклам, получим окончательное значение величины этого угла  $\Delta\varphi_m$  ( $1 \leq m \leq n$ ).

Однако, как показала практика, в уравнении (1) обычно достаточно ограничиться двумя первыми членами, т. е. положить

$$\varphi = a_0 + a_1x. \quad (2)$$

В силу линейности этой функции обработка значительно упрощается. По измеренным  $x_i$  вычисляются длины всех штрихов и промежутков  $\Delta x_i = x_{i+1} - x_i$ . Величины, соответствующие штрихам или промежуткам, от цикла к циклу изменяются, что объясняется эффектом перспективы, изменением масштаба изображения и случайными ошибками измерений. Так как зависимость  $\varphi(x)$  линейна, то для нахождения величин углов между крыльями обтюратора мы усредняем соответствующие  $\Delta x_i$ :

$$\bar{x}_m = \frac{1}{k} \sum_{j=0}^k \Delta x_{i=m+j}, \text{ где } 1 \leq m \leq n, \quad (3)$$

а затем находим среднюю длину цикла

$$\bar{l} = \sum_{m=1}^n \Delta x_m. \quad (4)$$

Соответствующие углы  $\Delta\varphi_m$  тогда будут:

$$\Delta\varphi_m = \frac{\Delta x_m}{\bar{l}}. \quad (5)$$

В качестве примера рассмотрим определение времени полета для метеора № 198. В табл. 22 приведены  $x_i$  для каждой точки и  $\Delta x_i$ . Как видно из фотографии метеора, цикл содержит два штриха, поэтому  $\Delta x_i$ , соответствующие штрихам и промежуткам в цикле, расположатся так, как показано в табл. 23. Согласно вычисленным углам расположение крыльев в момент полета метеора изображено на рис. 12. Из приведенных данных можно определить угол  $\psi$ , на который сместилась сторона подвижного крыла  $ON$  от своего исходного положения:

$$\psi = 0.308 - 0.075 + 0.140 + 0.316 + 0.192 = 0.881,$$

или

$$\psi = 1 - (0.314 + 0.229 - 0.500 + 0.075) = 0.882,$$

т. е.

$$\psi_{\text{ср.}} = 0.882.$$

Таблица 22

№ точек	$x_i$	$\Delta x_i$	№ точек	$x_i$	$\Delta x_i$	№ точек	$x_i$	$\Delta x_i$
1	55.501	0.654	26	69.734	0.613	51	84.679	0.895
2	56.155	0.446	27	70.347	0.684	52	85.574	0.381
3	56.601	0.788	28	71.031	0.337	53	85.955	0.878
4	57.389	0.295	29	71.368	0.719	54	86.833	0.416
5	57.684	0.661	30	72.087	0.600	55	87.249	0.878
6	58.345	0.633	31	72.687	0.731	56	88.127	0.342
7	58.978	0.578	32	73.418	0.335	57	88.469	0.819
8	59.556	0.391	33	73.753	0.737	58	89.288	0.438
9	59.947	0.554	34	74.490	0.516	59	89.726	0.559
10	60.501	0.665	35	75.006	0.773	60	90.285	0.715
11	61.166	0.625	36	75.779	0.373	61	91.000	0.892
12	61.791	0.361	37	76.152	0.709	62	91.892	0.546
13	62.152	0.693	38	76.861	0.557	63	92.438	0.890
14	62.845	0.528	39	78.418	0.779	64	93.328	0.355
15	63.373	0.739	40	78.197	0.323	65	93.683	0.817
16	64.112	—	41	78.520	0.820	66	94.500	0.587
17	—	—	42	79.340	0.530	67	95.087	0.873
18	—	—	43	79.870	0.768	68	95.960	0.365
19	65.774	0.558	44	80.638	0.239	69	96.325	0.803
20	66.332	0.511	45	80.877	0.881	70	97.128	0.571
21	66.843	0.546	46	81.758	0.591	71	97.699	0.937
22	67.389	0.655	47	82.349	0.723	72	98.636	0.256
23	68.044	0.654	48	83.072	0.383	73	98.892	0.915
24	68.698	0.392	49	83.455	0.745	74	99.807	0.525
25	69.090	0.644	50	84.190	0.489	75	100.332	1.007

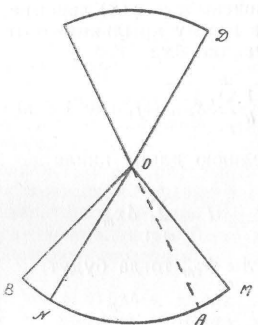


Рис. 12. Схема взаимного расположения крыльев обтекатора в момент полета метеора № 198.

Зная момент перемотки пленки ( $U.T. 19^h08^m27^s$ ) и интервал между перемотками ( $1^h04^m03^s$ ), по углу  $\Phi_{ср}$  вычисляем момент полета метеора ( $U.T.=19^h08^m27^s+1^h04^m03^s \cdot (0.882 \pm 0.007) = = 20^h04^m23^s \pm 27^s$ ). Звездное время полета  $S=11^h13^m23^s \pm 27^s$ .

Описанный метод позволяет в каждом конкретном случае оценить также и точность определения времени полета метеора. Обширный наблюдательный материал (135 метеоров) позволил найти максимальную ошибку, возникающую при практическом использовании данного метода. С этой целью было выбрано 10 метеоров с сильно размытыми концами штрихов, что обуславливало неуверенное определение углов  $\Delta\varphi$  между крыльями обтекатора. Результаты приведены

Таблица 23

	Штрих	Промежуток	Штрих	Промежуток	
	0.654	0.446	0.788	0.295	
	.661	.633	.578	.391	
	.554	.665	.625	.361	
	.693	.528	.739	—	
	—	—	.558	.511	
	.546	.655	.654	.392	
	.644	.613	.684	.337	
	.719	.600	.731	.335	
	.737	.516	.773	.373	
	.709	.557	.779	.323	
	.820	.530	.768	.239	
	.881	.591	.723	.383	
	.745	.489	.895	.381	
	.878	.416	.878	.342	
	.819	.438	.559	.715	
	.892	.546	.890	.355	
	.817	.587	.873	.365	
	.803	.571	.937	.256	
	.915	.525	1.007	.296	
	.782	.645	0.930	.292	
	.943	.576	.917	.300	
	.913	.631	.900	.284	
	.962	.560	.942	.320	
	1.005	.614	.903	.347	
	.996	.617	.918	.494	
	.778	.845	.852	.422	
	.867	.747	.933	.326	
	.963	.791	.960	.404	
	.943	.621	1.012	.390	
	.956	.720	0.928	.357	
	.949	.733	.982	.444	
	.974	.691	1.037	.396	
	.889				
Среднее . .	0.825	0.603	0.831	0.369	$\Sigma = 2.628$
Углы . .	0.314	0.229	0.316	0.140	$\Sigma = 0.999$

редняя значения  $\Delta S$  и  $\sigma_S$  по обеим колонкам, мы видим, что расхождение между двумя сериями измерений меньше, чем среднее квадратическое отклонение, что и следовало ожидать. Следовательно, можно считать, что ошибка в определении времени полета методом крыла переменного сечения не превышает 1 минуты, и только для метеоров с очень размытыми штрихами она может доходить до 2 минут (например, метеоры № 134 и № 148).

Для метеора № 198 оказалось возможным определить время полета и по способу, предложенному В. В. Федынским [31]. Для этого метеора был получен гидрируемый снимок на астрографе в том же наблюдательном пункте. Звездное

в табл. 24. Для каждого из 10 указанных в первой колонке метеоров время полета определялось по двум сериям независимых измерений. Для каждого метеора оказалось два несколько различающихся значения времени полета. Во второй колонке таблицы приведены разности этих величин  $\Delta S$ . В третьей колонке приведены средние квадратичные отклонения  $\sigma_S$ , вычисленные таким же способом, как для метеора № 198. При этом для каждого метеора отклонения вычислялись для обеих серий измерений и в таблицу внесено большее из них. Ус-

Таблица 24

№№ метеоров	$\Delta S$	$\sigma_s$
148	66 <sup>s</sup>	112 <sup>s</sup>
114	—	39
149	18	73
154	36	73
159	30	73
161	—	15
105	6	73
103	30	27
134	120	81
130	18	19
Среднее	41	59

время полета определялось как разность часового угла  $t$  и прямого восхождения  $\alpha$  полюсов больших кругов, проведенных через изображения метеора, для негидрируемого и гидрируемого снимков соответственно. Ошибки в координатах полюсов, обуславливающие ошибку в значении времени полета, вычислялись по методике, изложенной в работе [32]. Звездное время полета, определенное таким способом,

$$S = 11^{\circ}12'24'' \pm 6''.$$

Точность определения в данном случае очень высока, что объясняется прекрасным качеством изображений метеора и звезд на обоих снимках. Однако проведенный расчет погрешностей в координатах полюсов не учитывает возможных систематических ошибок этого способа определения времени полета. Поэтому мы считаем, что полученное расхождение во временах полета, определенных двумя методами, равное 59 секундам, лежит в пределах точности измерений.

Итак, установлено, что точность определения времени полета методом крыла переменного сечения составляет в среднем 1 минуту, что вполне достаточно при вычислении гелиоцентрических орбит.

#### ЛИТЕРАТУРА

1. Е. Н. Крамер, АЦ, № 135, 1953.
2. И. С. Астапович. Метеорные явления в атмосфере Земли. Госиздат, физ.-мат. лит., Москва, 1958.
3. А. Д. Дубягло, Определение орбит. Госиздат техн.-теорет. лит., Москва, 1949.
4. J. Horre. AN, 262, 169—198, 1937.
5. F. L. Whipple, Harv. Repr., № 465, 1957.
6. E. J. Öpik, Physics of Meteor flight in the atmosphere, 1958.
7. F. L. Whipple, Proc. of the American Phil. Soc., vol. 79, № 4, 1938.
8. Л. А. Катасев, Фотографические методы метеорной астрономии. Гос. изд-во техн.-теорет. лит., 1957.
9. Е. Н. Крамер, Изв. Одесской астр. обс., т. 3, 1953.
10. F. L. Whipple, Astron. Journ., vol. 59, № 6, 1954.
11. И. А. Клейбер, Определение, орбит метеорных потоков, СПб., 1891.
12. В. А. Мальцев, Русский Астр. календ., пост. часть, изд. IV, стр. 448, 1930.
13. W. F. Denning, General Catalogue..., MRAS, vol. 53, 1899.
14. F. W. Wright, F. L. Whipple, Harv. Col. Obs., Techn. Rep. 11, 1953.
15. Zd. Сеплеча, Bull. of the Astr. Inst. of Czechoslovakia, vol. 9, № 6.
16. П. Б. Бабаджанов. Бюлл. инст. астр. АН Тадж. ССР, № 29, 1960.
17. R. F. Hughes, Smit, contr. to astrophysics, vol. 3, N 8, 1959.
18. Б. Л. Кащеев, В. Н. Лебединец, Радиолокационные исследования метеорных явлений. Изд. АН СССР, Москва, 1961.
19. Zd. Сеплеча, Bull. of the Astr. Inst. of Czechoslovakia, vol. VIII, № 3.
20. П. Б. Бабаджанов, Бюлл. инст. астр. АН Тадж. ССР, № 26, 1958.
21. G. S. Hawkins, R. B. Southworth, Smit, contr. to astroph. vol. 2, № 11, 1958.
22. Z. Plavcová, M. Plavec, Бюлл. астр. инст. Чехословакии, том II, № 6, 1960.
23. F. L. Whipple, Smit. Contr. to Astrophysics, vol. 4, № 4, 1961.
24. F. L. Whipple, Astroph. Journ., vol. 113, № 3, 1951.
25. Р. Б. Теплицкая, Н. Н. Израэцкая, Фотометрия метеоров, в этом сборнике.
26. E. Öpik, Harv. Repr., 100, 1933.
27. L. G. Jacchia, Harv. col. obs., Techn. Rep. № 3, 1949.
28. L. G. Jacchia, Smit. Contr. to Astroph. vol. 2, № 9, 1958.
29. Таблица временной стандартной атмосферы 1960 года (ВСА-60), Вычислительный Центр, АН СССР, Москва, 1960.
30. Е. Н. Крамер, С. И. Ильштейн, А. П. Чемодуров, Техн.-экон. бюллетень Одесского Совнархоза, № 6, 1958.
31. В. В. Федынский, Астрономия в СССР за 30 лет (1917—1947), Гостехиздат, стр. 89, 1948.
32. Е. Н. Крамер, Р. Б. Теплицкая, О. А. Руденко, Инф. бюлл. МГК АН УССР, № 3, 1961.

НАУКОВА БІБЛІОТЕКА ОНУ

ТРУДЫ ОДЕССКОГО ГОСУДАРСТВЕННОГО УНИВЕРСИТЕТА

им. И. И. МЕЧНИКОВА

год XCVIII

том V

Известия Астрономической обсерватории

том 152

вып. 2

Р. Б. ТЕПЛИЦКАЯ, Н. Н. ИЗРАЕЦКАЯ

### ФОТОМЕТРИЯ МЕТЕОРОВ

(Эффективные звездные величины 83 метеоров)

Как известно, при фотометрии метеорных снимков возникают затруднения, связанные с необходимостью иметь стандарт, сфотографированный с той же продолжительностью экспозиции, что и метеор. В качестве такого стандарта используют специальную установку — «искусственный метеор». Однако методика привязки блеска метеоров к искусственным источникам на разных станциях, работавших в 1957—1958 гг. по программе МГГ, не была унифицирована. Поэтому для сравнения результатов, полученных отдельными станциями, удобно принять предложенные В. В. Шароновым «эффективные звездные величины» ( $m_e$ ). Под  $m_e$  подразумевается звездная величина метеора, который при выполнении закона взаимозаместимости создал бы на данном негативе такое же почернение, что и исследуемый метеор. Значение  $m_e$  можно определить привязкой к суточным следам звезд.

§ 1. В настоящее время мы измерили эффективные звездные величины для всех метеоров, сфотографированных в период МГГ. Чтобы получить эти данные, предварительно пришлось исследовать фотометрическую систему, состоящую из объективов НАФ 3с/25 и панхроматической пленки. Ввиду того, что марки эмульсии, поставлявшейся нам разными фабриками в указанный период, отличались друг от друга, для каждого из образцов применявшейся пленки было отобрано по одному-два кадра с непродолжительными экспозициями звездного неба, и по ним определялась цветовая характеристика системы. Предпочтение отдавалось снимкам зенитной камеры, для которых можно не вводить поправки за дифференциальное поглощение. Те же снимки использовались для нахождения фотометрической ошибки поля.

На исследуемых кадрах выбиралось 150—200 звезд, расположенных равномерно по всему полю. Их звездные величины  $m_{vis}$  записывались из «Каталога визуальных величин яр-

ких звезд» [1], после чего приводились к экватору по формуле [2]:

$$\Delta m_s = 2.5 \lg \cos \delta, \quad (1)$$

справедливой при выполнении закона взаимозаместимости [3].

Почернения  $D$  суюточных следов звезд измерялись на микрофотометре МФ-4. Характеристические кривые строились по величинам  $D$  и  $m_s$ , где

$$m_s = m_{vis} + \Delta m_s. \quad (2)$$

При этом предполагалось, что распределение звезд по спектральному классу одно и то же для любого расстояния  $r$  от оптического центра, и, следовательно, ошибками, связанными с возможным различием в цветовой системе каталога и панхроматической пленки, можно пренебречь. Тогда отклонения  $\Delta m(r)$  отдельных звезд от кривой ( $D, m_s$ ) можно приписать влиянию ошибки поля. Усредняя  $\Delta m(r)$  для звезд с близкими значениями  $r$ , получаем ход ошибки поля для каждого из используемых кадров, что позволяет исправить  $m_s$  всех звезд по формуле

$$m_r = m_s + \Delta m(r). \quad (3)$$

Величины  $D$  и  $m_r$  служили для построения новых характеристических кривых, на этот раз по звездам спектральных классов В5-А5. Отклонения индивидуальных  $m_r$  от этих кривых (обозначим их  $\Delta m_A$ ) приписывались различию между нашей цветовой системой и цветовой системой каталога. Для каждого кадра методом наименьших квадратов решалась система уравнений

$$\Delta m_A = a + b(C.I.), \quad (4)$$

где  $C.I.$  — колор-индекс.

Величины  $a$  и  $b$  для разных образцов пленки отличаются между собой незначительно. Их средние значения таковы:

$$a = 0^m 00 \pm 0^m 03,$$

$$b = 0^m 19 \pm 0^m 05.$$

Таким образом, наша фотометрическая система близка визуальной.

В таблице 1 приводятся сведения о найденных величинах  $\Delta m(r)$ . Они получены усреднением соответствующих значений  $\Delta m(r)$ , определенных для шести кадров зенитной камеры, для одного кадра каждой из южной, западной и восточной камер в Маяках (М), зенитной и западной камер в Крыжановке (К). Первая строка содержит расстояния  $r$  от оптического центра в мм, вторая строка — средние величины  $\Delta m(r)$ , третья — средние уклонения  $\Delta m(r)$  для отдельных камер от среднего значения.

Таблица 1

$r, \text{мм}$	20	30	40	50	60	70	80	90	100
$\Delta m(r)$ дисп.	$\frac{m}{\pm}$ $0.01 \pm 0.02$	$\frac{m}{\pm}$ $0.01 \pm 0.08$	$\frac{m}{\pm}$ $0.02 \pm 0.13$	$\frac{m}{\pm}$ $0.08 \pm 0.15$	$\frac{m}{\pm}$ $0.21 \pm 0.15$	$\frac{m}{\pm}$ $0.37 \pm 0.15$	$\frac{m}{\pm}$ $0.58 \pm 0.11$	$\frac{m}{\pm}$ $0.95 \pm 0.09$	$\frac{m}{\pm}$ $1.38 \pm 0.19$

Таблица показывает, что до расстояния  $r < 50$  мм ошибка поля мала и меньше ошибок измерений. Однако и на расстояниях  $r > 50$  мм рассеяние значений  $\Delta m(r)$  от средней кривой довольно велико. Поэтому мы сочли необходимым повторить определение фотометрической ошибки поля, использовав найденные выше величины  $a$  и  $b$ . Они дают возможность получить для всех звезд сравнения панхроматическую величину

$$m_p = m_s + \Delta m_s. \quad (5)$$

Величины  $m_p$  и  $D$  служили для проведения новых характеристических кривых, которые мы строили только по звездам центральной зоны с  $r \leq 50$  мм. Для остальных звезд находили отклонения  $\Delta m_1$  от этих кривых. Будучи сопоставлены с  $r$ , они дают следующую таблицу, представляющую ход ошибки поля во втором приближении.

Таблица 2

$r, \text{мм}$	50	60	70	80	90	100	110
$\Delta m_1$ дисп.	$\frac{m}{\pm}$ $0.05 \pm 0.06$	$\frac{m}{\pm}$ $0.17 \pm 0.07$	$\frac{m}{\pm}$ $0.32 \pm 0.06$	$\frac{m}{\pm}$ $0.53 \pm 0.08$	$\frac{m}{\pm}$ $0.82 \pm 0.10$	$\frac{m}{\pm}$ $1.23 \pm 0.13$	$\frac{m}{\pm}$ $1.61 \pm 0.12$

Таблица 2 подтверждает данные таблицы 1, но дисперсия значений  $\Delta m_1$  здесь значительно меньше. Таблица 3 содержит те же сведения, что таблица 2, выписанные для отдельных объективов. В первой строке дана средняя ошибка поля для зенитной камеры в Маяках, определенная по шести кадрам. Рядом с  $\Delta m_1$  приведены средние уклонения от средней кривой  $\Delta m_1(r)$ . Они позволяют судить о точности измерений.

Ошибка поля для всех камер приблизительно одинакова. В двух случаях (запад К, запад М) различия выходят за пределы ошибок измерений. Рис. 1, составленный по данным таблицы 3, иллюстрирует сказанное. Сплошная кривая проведена на основе величин первой строки, вертикальные прямые соответствуют дисперсии, связанным с ошибками измере-

Таблица 3

Камера	50	60	70	80	90	100	110
Зенит М . .	0.09	0.18	0.34	0.52	0.74	1.08	1.58
Дисп. . .	$\pm 0.07$	$\pm 0.06$	$\pm 0.07$	$\pm 0.09$	$\pm 0.08$	$\pm 0.16$	$\pm 0.20$
Запад М . .	0.10	0.28	0.46	0.66	0.88	1.28	1.85
Восток М . .	0.10	0.25	0.35	0.50	0.80	1.30	—
Юг М . .	0.09	0.12	0.28	0.60	1.02	1.59	—
Зенит К . . .	0.00	0.13	0.32	0.56	0.87	1.20	1.50 <sup>*</sup>
Запад К . . .	-0.08	+0.04	0.18	0.33	0.60	0.93	1.50 <sup>*</sup>

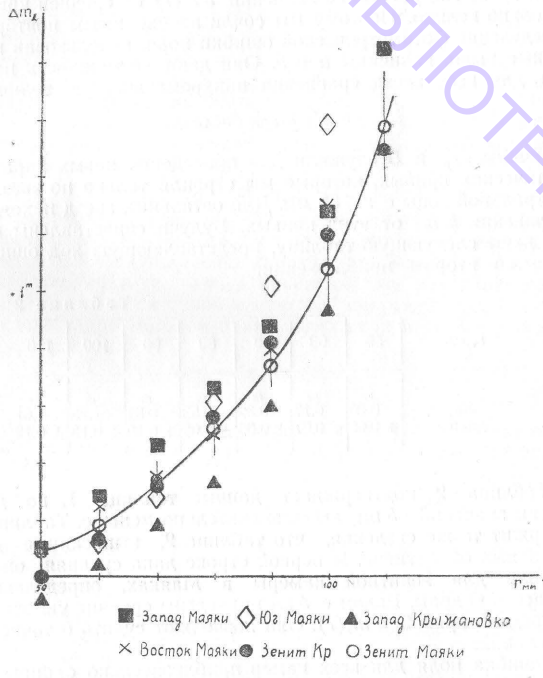


Рис. 1.

ний. Все приведенные результаты справедливы для звезд некоторого среднего блеска. В действительности, ошибка поля зависит от звездной величины. Если рассмотреть ход  $\Delta m_1(r)$

в отдельности для звезд, объединенных в группы по их  $m_p$ , то оказывается, что соответствующие графики смешены относительно друг друга. На рис. 2 приведены кривые  $\Delta m_1(r)$  для зенитной камеры (M). Из рассмотрения рисунка видно, что

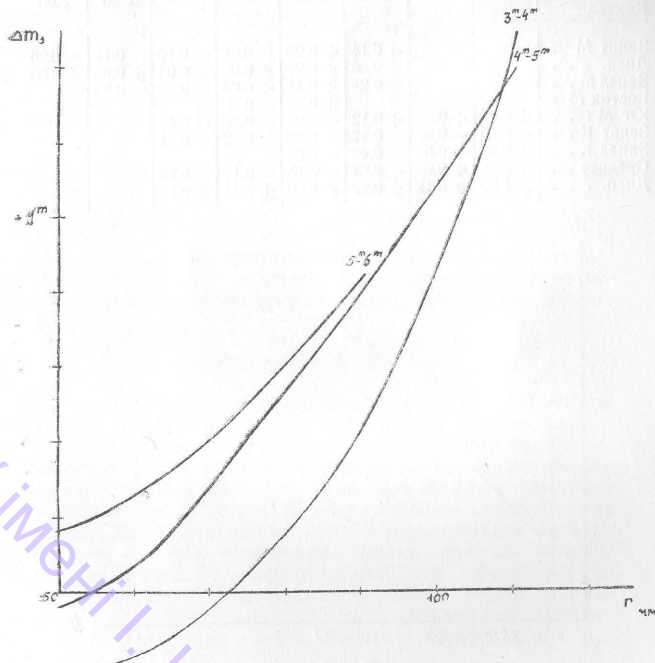


Рис. 2.

ошибка поля для ярких звезд меньше, чем для слабых. Так как у нас недостаточно материала, чтобы построить для всех камер уверенные кривые, аналогичные рисунку 2, то приходится идти по пути нахождения поправок к рисунку 1, что менее точно. Обозначим через  $\Delta m_2$  разницу между  $\Delta m_1(r)$ , снятых с графиков рисунка 1, и  $\Delta m_1(r)$ , реально имеющим место для каждой звезды. Усредненные величины, представляющие зависимость  $\Delta m_2$  от звездной величины  $m_p$ , собраны в таблице 4. Данные этой таблицы дают поправки, которые

нужно придать величине ошибки поля из таблицы 3, чтобы получить ошибку поля для звезды данного блеска.

Таблица 4

$m_p$	6.50	6.00	5.50	5.00	4.50	4.00	3.50	3.00
Камера								
Зенит М .			+ 0.14	+ 0.06	- 0.01	- 0.10	- 0.17	- 0.26
Дисп. . .			± 0.06	± 0.04	± 0.04	± 0.04	± 0.06	± 0.06
Запад М .			+ 0.25	+ 0.14	+ 0.03	- 0.22	- 0.28	
Восток М .								
Юг М . .	+ 0.24	+ 0.24	+ 0.12	- 0.05	- 0.26	- 0.40		
Зенит К . .	+ 0.10	- 0.06	- 0.17	- 0.30	- 0.42	- 0.44		
Запад К . .	+ 0.48	- 0.02	- 0.40	- 0.85				
Среднее . .	+ 0.17	+ 0.05	- 0.01	- 0.13	- 0.14	0.29		
Дисп. . .	± 0.05	± 0.12	± 0.22	± 0.30	± 0.14	± 0.13		

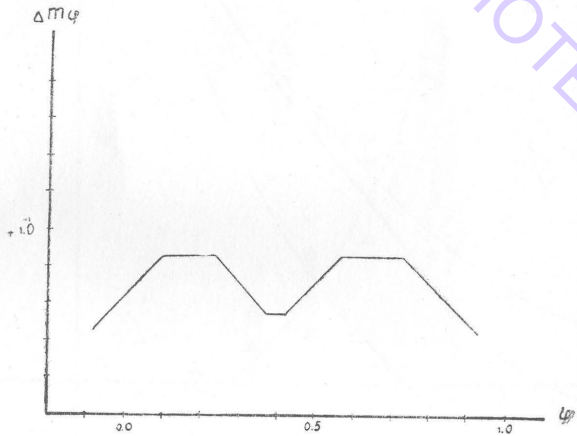


Рис. 3.

Для отдельных камер имеются отличия в величинах  $\Delta m_2$ , которые можно уменьшить, если искать зависимость  $\Delta m_2$  не от звездной величины, а от плотности почернения. Таблица 5, аналогичная таблице 4, содержит зависимость  $\Delta m_2(D)$ .

Различия в  $\Delta m_2$  для отдельных камер здесь того же порядка, что ошибки измерений.

§ 2. Для определения кривой блеска метеора выбиралось 10—20 звезд сравнения, по возможности не слишком далеко от метеора, чтобы не было нужды вводить поправку за дифференциальное поглощение. Фотометрировались, в основном,

Таблица 5

$D$	0.040	0.060	0.080	0.100	0.120	0.140	0.160	0.180	0.200
Камера									
Зенит М .	± 0.26	± 0.05	± 0.03	± 0.14	± 0.18	± 0.21	± 0.24	± 0.19	± 0.27
Дисп. . .	± 0.10	± 0.09	± 0.10	± 0.10	± 0.09	± 0.11	± 0.12	± 0.09	± 0.07
Запад М .	± 0.50	— 0.00	— 0.10	— 0.22	— 0.32	— 0.38	— 0.42	— 0.47	— 0.50
Восток М .	± 0.10	— 0.11	— 0.30	— 0.50					
Юг М . .	± 0.34	± 0.26	± 0.23	— 0.06	— 0.18	— 0.24	— 0.29	— 0.34	— 0.42
Зенит К . .	± 0.28	± 0.20	± 0.12	— 0.00	— 0.14	— 0.29	— 0.32	— 0.36	
Среднее . .	± 0.30	± 0.08	— 0.02	— 0.18	— 0.21	— 0.28	— 0.32	— 0.34	— 0.39
Дисп. . .	± 0.10	± 0.12	± 0.13	± 0.14	± 0.06	± 0.05	± 0.05	± 0.06	± 0.07

снимки обтюораторного пункта (с. Маяки), так как здесь фон неба практически равен нулю, в то время, как в Крыжановке и в Ботсаду, базисных пунктах, сильная засветка огнями города создает фон, значительно более темный и менее пригодный для задач фотометрии. Использование обтюораторного снимка приводит к необходимости учитывать влияние эффекта прерывистого диафрагмирования. Вводилась поправка [4]:

$$\Delta m_\varphi = -2.5 \lg \frac{t_\varphi}{T}, \quad (7)$$

где  $t_\varphi$  — время, в течение которого объектив открыт при данном расположении крыльев обтюоратора,  $T$  — период полного оборота обтюоратора. Зная, как изменяется положение подвижного крыла в течение экспозиции (64 мин.), можно рассчитать таблицу поправок  $\Delta m_\varphi$  для каждого момента времени. На рис. 3 по оси абсцисс отложены значения угла  $\varphi$ , образованного подвижным крылом и положением подвижного крыла в начале экспозиции, по оси ординат отложены поправки  $\Delta m_\varphi$ . Величина поправок  $\Delta m_\varphi$  была проверена по специально снятых кадрам: в течение экспозиции обтюоратор периодически выключался, и сравнивалось почернение участков суточных следов, снятых с обтюоратором и без него.

Редукция звездных величин звезд сравнения сводилась к следующим операциям: выписанные из [1] визуальные звездные величины приводились на экватор и переводились в панхроматические величины  $m_p$ . В большинстве случаев суточные следы измерялись в той точке, которая соответствует моменту пролета метеора, поэтому поправка  $\Delta m_\varphi$  снималась с графика рис. 3 по значению угла  $\varphi$  в этот момент. В редких случаях приходилось измерять и другие точки суточных следов, тогда  $\varphi$  для них определялись по известному расстоянию фотометрируемой точки от начала экспозиции.

Поправка за ошибку поля вводилась на основании графиков рис. 1 и данных таблиц 4 или 5. Найденные таким

путем величины  $m$  использовались для построения характеристической кривой кадра.

При измерении метеора и звезд сравнения высота щели фотометра подбиралась так, чтобы она была немного больше максимальной толщины изображения метеора. В случае, когда блеск метеора меняется значительно (например, вспышка), фотометрия проводилась при двух или более значениях высоты щели.

Почернение  $D_m$  метеора переводилось в звездную величину  $m_m$ , которая затем исправлялась с учетом ошибки поля и служила для определения эффективной звездной величины на основании закона взаимозаместимости:

$$m_e = m_m + \Delta m_m, \quad (8)$$

где

$$\Delta m_m = -2.5 \lg \frac{v_m}{v_0}. \quad (9)$$

Здесь  $v_m$  — линейная скорость фотометора,  $v_0$  — линейная скорость передвижения изображения экваториальной звезды по кадру.

Абсолютная эффективная величина получается из видимой применением формулы

$$M_e = m_e - 5 \lg r + 10, \quad (10)$$

где  $r$  — расстояние от пункта наблюдения до точки на метеоре.

Таблица 6 содержит  $M_e$  всех метеоров, сфотографированных в период МГГ. В первой колонке приведено время, прошедшее от появления метеора, выраженное в долях оборота обтюратора. Во второй колонке — величины  $M_e$ . Номера метеоров соответствуют номерам из статьи Е. Н. Крамера, и др., помещенной в настоящем сборнике.

Метеоры № 57, 82, 94, 95, 96, 97, 98, 99, 102, 103 фотометрировались по снимкам базисных пунктов, поэтому их звездные величины могут быть занижены из-за значительного влияния фона неба.

Случайные ошибки измерений зависят от плотности почернений. В некоторых случаях они достигают  $\pm 0^m 2$ . Такие метеоры отмечены звездочкой около номера. В большинстве случаев это слабые фотометоры.

Данные таблицы 6 служат в дальнейшем материалом для вычисления плотности атмосферы.

Как уже неоднократно отмечалось в литературе (например [4]), кривые изменения блеска метеоров чрезвычайно разнообразны, и указать на какие-либо закономерности трудно. Максимум блеска в среднем по всем обработанным метеорам приходится на величину  $p=0,65$  от момента появления ( $p$  — положение максимума в долях полной продолжительности свечения  $t$ ).

Таблица 6

$\tau$	$M_e$	$\tau$	$M_e$	$\tau$	$M_e$	$\tau$	$M_e$
Метеор № 1	м	Метеор № 4	м	Метеор № 6	м	Метеор № 15	м
0.0	-1.0	+0.5	-3.6	13.5	-2.5	3.0	-1.6
+0.5	1.2	1.0	3.6	14.0	-2.5	4.0	2.3
1.0	1.5	1.5	3.2			5.0	2.6
1.5	1.7	2.0	3.2			6.0	2.8
2.0	1.9	2.5	3.3			7.0	2.9
2.5	1.9	3.0	3.7			8.0	2.8
3.0	1.8	3.5	4.3	0.0	-1.8	9.0	2.9
3.5	1.2	4.0	4.3	+0.5	1.9	10.0	2.9
4.0	-0.5	4.5	4.4	1.0	2.0	11.0	3.0
4.5	+0.2	5.0	4.3	1.5	2.1		
			5.5	2.0	2.2	12.0	3.0
			4.0				
		Метеор № 2	6.0	5.2	2.5	13.0	3.0
			6.5	5.5	3.0	14.0	2.9
-1.0	-1.7	7.0	5.5	3.5	2.3	14.5	2.8
0.0	1.8	7.5	5.5	4.0	2.4	15.0	2.6
+0.5	1.9	8.0	5.5	4.5	2.5	15.5	2.7
1.0	2.0	8.5	5.4	5.0	2.5	16.0	2.8
1.5	2.1	9.0	5.2	5.5	2.5	16.5	2.8
2.0	2.3	9.5	4.7	6.0	2.3	17.0	2.8
2.5	2.6	10.0	4.3	6.5	2.3	17.5	2.3
3.0	2.9	10.5	3.9	7.0	2.4	18.0	2.8
3.5	3.0	11.0	3.3	7.5	2.5	18.5	3.1
4.0	3.1	11.5	2.7	8.0	2.6	19.0	2.5
4.5	2.7	12.0	2.0	8.5	2.7	19.5	2.0
5.0	2.5	12.5	-1.3	9.0	2.7	20.0	2.0
5.5	2.5			9.5	2.8	20.5	2.1
6.0	2.5			10.0	2.8	21.0	2.2
6.5	2.5			10.5	2.5	21.5	2.3
7.0	2.5	0.0	-0.9	11.0	-1.0	22.0	2.6
7.5	2.4	+0.5	1.4			22.5	3.5
8.0	2.4	1.0	1.8			23.0	2.8
8.5	2.4	1.5	1.9			23.5	-2.0
9.0	-2.3	2.0	1.9	0.0	-0.6		
		2.5	2.0	1.0	0.6		
		3.0	2.0	2.0	0.6	Метеор № 16	м
		3.5	2.0	3.0	0.6		
0.0	-1.9	4.0	2.0	4.0	0.6	-3.0	-0.2
+0.5	2.2	4.5	2.1	5.0	+1.1	-1.0	0.2
1.0	2.2	5.0	2.2	6.0	+1.2	0.0	0.2
1.5	2.2	5.5	2.4			+1.0	0.3
2.0	2.2	6.0	2.5			Метеор № 14	2.0
2.5	2.1	6.5	2.7				0.4
3.0	2.0	7.0	2.9	0.0	0.0	4.0	0.5
3.5	2.2	7.5	3.0	1.0	-0.2	5.0	0.6
4.0	2.7	8.0	3.0	2.0	0.4	6.0	0.5
4.5	2.7	8.5	3.0	3.0	0.6	7.0	-0.2
5.0	2.6	9.0	3.0	4.0	0.8	8.0	+0.3
5.5	2.6	9.5	2.9	5.0	0.9		
6.0	2.6	10.0	2.8	6.0	1.0	Метеор № 17	м
6.5	2.6	10.5	2.8	7.0	-1.1		
7.0	2.7	11.0	2.7			-2.0	-0.3
7.5	2.7	11.5	2.7			1.0	1.2
8.0	3.0	12.0	2.6			0.0	1.2
8.5	3.0	12.5	2.6	1.0	-0.7	+0.5	1.6
9.0	-2.6	13.0	2.5	2.0	1.0	1.0	2.4

Продолжение таблицы б.

$\tau$	$M_e$	$\tau$	$M_e$	$\tau$	$M_e$	$\tau$	$M_e$
Метеор № 17 (продолжение)	$m$	Метеор № 20 (продолжение)	$m$	Метеор № 26 (продолжение)	$m$	Метеор № 31* (продолжение)	$m$
2.0	-2.4	6.0	-1.2	2.0	-1.1	4.0	-0.4
2.5	2.6	7.0	1.3	3.0	1.4	5.0	0.8
3.0	2.6	8.0	1.2	4.0	1.5	6.0	0.9
3.5	2.6	9.0	0.9	5.0	1.5	7.0	0.8
4.0	2.5	10.0	-0.6	6.0	1.5	8.0	0.8
4.5	2.1					5.0	0.8
5.0	2.5	Метеор № 21*	$m$	7.0	2.9	9.0	0.8
5.5	2.8	-1.0	-3.2	9.0	2.9	11.0	1.2
6.0	3.0	0.0	3.3	10.0	2.9	12.0	1.3
6.5	-1.4	+1.0	3.4	11.0	3.0	13.0	-1.2
7.0	+0.4	2.0	3.3	12.0	3.0	14.0	+0.8
		3.0	3.1	13.0	3.0		
Метеор № 18	4.0	-2.7	14.0	2.9		Метеор № 32	
	$m$	Метеор № 22	$m$	14.5	2.8	0.0	-3.4
3.0	-0.1			15.0	2.6	+0.5	3.6
4.0	0.2	-3.0	+1.1	15.5	2.7	1.0	3.7
5.0	0.2	2.0	0.7	16.0	2.8	1.5	3.9
6.0	0.3	-1.0	0.5	16.5	2.8	2.0	4.0
7.0	0.3	0.0	0.2	17.0	2.8	2.5	4.0
8.0	0.4	+1.0	0.0	17.5	2.3	3.0	-3.7
9.0	0.5	2.0	0.0	18.0	2.8		
9.5	0.4	3.0	0.0	18.5	3.1	Метеор № 33	
10.0	0.2	4.0	0.1	19.0	2.5	1.0	-1.8
10.5	0.3	5.0	0.2	19.5	2.0	1.5	1.9
11.0	0.4	6.0	0.3	20.0	2.0	2.0	2.1
11.5	0.7	7.0	0.5	20.5	2.1	2.5	2.2
12.0	1.2	8.0	0.7	21.0	2.2	3.0	2.3
12.5	1.8	9.0	+0.8	21.5	2.3	3.5	2.4
13.0	-2.0			22.0	2.6	4.0	2.4
Метеор № 19	$m$	Метеор № 23	$m$	22.5	3.5	4.5	2.3
	$m$		$m$	23.0	2.8	5.0	2.3
-1.0	-2.2	1.0	3.1	23.5	-2.0	5.5	1.9
0.0	2.9	0.0	3.2	Метеор № 27*	$m$	6.0	-1.2
+0.5	3.8	+0.5	3.3	Метеор № 35	$m$		
1.0	4.2	1.0	3.2	1.0	-0.9	Метеор № 39	
1.5	4.4	1.5	3.3	1.5	1.2	0.0	0.0
2.0	4.5	2.0	3.3	2.0	1.4	+0.5	-0.5
2.5	4.5	2.5	3.3	2.5	1.6	1.0	1.1
3.0	4.5	3.0	3.4	3.0	1.8	1.5	1.4
3.5	4.5	3.5	3.5	3.5	1.7	2.0	1.7
4.0	4.1	4.0	3.7	4.0	0.7	2.5	1.9
4.5	3.4	4.5	3.9	4.5	-0.0	3.0	2.1
5.0	2.3	5.0	4.8	5.0	+0.5	3.5	2.2
5.5	-1.4	5.5	5.5	5.5	0.8	4.0	2.3
		6.0	5.1	6.0	+1.0	4.5	1.8
Метеор № 20	$m$	Метеор № 31*	$m$	5.0	1.4	8.0	2.2
	$m$		$m$	5.5	1.2	9.0	2.2
0.0	-0.5	7.5	-3.5	-2.0	+0.4	10.0	2.3
1.0	0.6	Метеор № 26	$m$	-1.0	0.2	11.0	2.4
2.0	0.7		$m$	0.0	0.3	12.0	2.3
3.0	0.8	-2.0	-0.0	+1.0	0.3	13.0	2.3
4.0	0.6	0.0	0.4	2.0	0.3	14.0	2.3
5.0	1.0	+1.0	0.8	3.0	+0.1	14.5	2.1

Продолжение таблицы б.

$\tau$	$M_e$	$\tau$	$M_e$	$\tau$	$M_e$	$\tau$	$M_e$
Метеор № 36 (продолжение)	$m$	Метеор № 39 (продолжение)	$m$	Метеор № 42	$m$	Метеор № 45	$m$
0.0	-1.5	1.0	-1.9	15.0	-1.9	-1.0	-3.0
		2.0	1.5	15.5	1.6	3.5	3.3
		3.0	1.4	16.0	1.8	1.0	1.0
		4.0	1.2	16.5	2.2	1.5	3.6
		5.0	0.8	17.0	4.0	2.0	3.8
		6.0	-0.3	17.5	4.6	2.5	3.9
				18.0	4.5	3.0	4.0
Метеор № 37	$m$			18.5	4.1	4.1	$m$
				19.0	3.9	4.0	+0.3
		-2.0	-0.1	19.5	3.7	4.5	0.0
		1.0	0.4	20.0	-3.5	5.0	0.2
		0.0	0.6			5.5	4.2
Метеор № 40	$m$					6.0	4.1
						6.5	4.1
		3.0	1.2			7.0	4.0
		4.0	1.3			7.5	4.0
		5.0	1.5	1.0	-1.5	8.0	4.0
		6.0	1.6	2.0	1.6	8.5	4.0
		7.0	1.6	3.0	1.8	9.0	+0.4
		8.0	1.7	4.0	2.0		
		9.0	1.8	5.0	2.0	9.0	+1.0
		10.0	1.7	6.0	1.9		
		11.0	1.6	7.0	1.8	Метеор № 43	Метеор № 48
		12.0	1.5	8.0	1.7		
		13.0	1.5	9.0	1.6	0.0	-1.6
		14.0	1.4	10.0	1.6	+0.5	2.0
		15.0	1.3	11.0	-1.6	3.0	2.4
		16.0	1.4	Метеор № 41	1.5	3.1	2.4
		17.0	1.5		2.0	2.0	2.4
		18.0	1.5	-3.0	-1.4	2.5	2.6
		19.0	1.3	2.0	1.5	3.0	3.0
		20.0	1.3	1.0	1.6	4.5	3.1
		21.0	1.3	0.0	1.8		
		22.0	1.4	+1.0	2.1	5.0	2.8
		23.0	-1.5	2.0	2.2	5.5	2.5
				3.0	2.2	6.0	1.7
				4.0	2.2	6.5	-1.7
Метеор № 39	$m$			5.0	2.2	7.0	$m$
				6.0	2.2	7.5	
		-1.0	-1.6	5.0	2.2	1.0	1.4
		0.0	1.6	6.0	2.2	1.5	1.6
		1.0	1.6	7.0	2.3	2.0	1.7
		2.0	1.6	8.0	2.4	2.5	1.7
		3.0	1.7	9.0	2.4	3.0	1.8
		4.0	1.7	10.0	2.5	3.5	1.8
		5.0	1.8	11.0	2.5	4.0	2.5
		6.0	2.0	12.0	2.5	4.5	3.2
		7.0	2.1	13.0	2.6	5.0	3.4
		8.0	2.2	14.0	2.7	5.5	3.5
		9.0	2.2	15.0	2.7	6.0	3.4
		10.0	2.3	16.0	2.7	6.5	3.3
		11.0	2.4	16.5	2.2	7.0	3.1
		12.0	2.3	17.0	2.3	7.5	3.2
		13.0	2.3	17.5	3.1	8.0	5.5
		14.0	2.3	18.0	3.0	8.5	3.2
		14.5	2.1	19.0	-3.0	9.0	-1.3

### Продолжение таблицы 6

$\tau$	$M_e$	$M_e$	$\tau$	$M_e$	$\tau$	$M_e$
Метеор № 49 (продолжение)	Метеор № 51 (продолжение)	Метеор № 55 (продолжение)	Метеор № 58 (продолжение)			
7.0	-3.5	8.0	-4.7	1.0	3.0	2.5
7.5	3.7	8.5	4.8	1.5	3.3	3.0
8.0	3.6	9.0	5.0	2.0	3.6	3.5
8.5	3.7	9.5	5.3	2.5	3.5	4.0
9.0	3.9	10.0	5.6	3.0	3.5	4.5
9.5	4.1	10.5	5.2	3.5	3.5	5.0
10.0	4.2	11.0	3.7	4.0	3.5	5.5
10.5	3.8	11.5	-2.8	4.5	3.6	6.0
11.0	3.2			5.0	-3.8	6.5
11.5	2.7					7.3
12.0	2.0	Метеор № 53	Метеор № 56			7.0
12.5	1.5		Метеор № 56 m			7.5
13.0	-1.1	0.0	-2.1	0.0	-3.0	8.0
Метеор № 50		+0.5	2.1	+0.5	3.4	8.5
	m				9.0	5.1
2.0	-4.1	1.0	2.3	1.0	3.6	Метеор № 59 m
2.5	4.1	1.5	2.8	1.5	3.8	1.0
3.0	4.1	2.0	4.5	2.0	3.8	-2.7
3.5	4.1	2.5	4.5	2.5	3.7	1.5
4.0	4.3	3.0	4.2	3.0	3.6	2.8
4.5	4.5	3.5	4.1	3.5	3.6	2.0
5.0	4.7	4.0	4.3	4.0	3.6	3.3
5.5	4.8	4.5	4.4	4.5	3.6	2.5
6.0	4.8	5.0	4.5	5.0	3.7	3.6
6.5	4.8	5.5	4.4	5.5	3.8	3.9
7.0	4.9	6.0	3.7	6.0	3.9	4.1
7.5	5.0	6.5	3.2	6.5	4.2	4.2
8.0	5.3	7.0	2.7	7.0	4.2	5.5
8.5	5.2	7.5	-2.3	7.5	3.8	4.1
9.0	5.0			8.0	-4.0	6.5
9.5	5.0	Метеор № 54 m	Метеор № 57			6.5
10.0	5.1	1.5	-3.3	1.0		4.0
10.5	-5.6	2.0	4.0	-3.0	-4.9	4.5
11.0	всп.	2.5	4.4	2.0	4.7	5.3
Метеор № 51		3.0	4.5	1.0	4.6	9.0
	m	3.5	4.5	0.0	4.5	-3.4
-1.0	-2.3	4.0	4.6	+1.0	4.5	60*
0.0	2.5	4.5	4.6	2.0	4.5	m
+0.5	2.7	5.0	4.7	3.0	4.4	0.0
1.0	2.8	5.5	4.8	4.0	4.4	-2.2
1.5	2.9	6.0	4.8	5.0	4.4	2.2
2.0	3.0	6.5	4.7	6.0	4.4	1.0
2.5	3.0	7.0	4.4	7.0	4.2	2.2
3.0	3.1	7.5	4.1	7.5	4.1	2.9
3.5	3.2	8.0	4.1	8.0	4.5	3.5
4.0	3.4	8.5	4.1	8.5	4.7	3.2
4.5	3.7	9.0	4.2	9.0	3.2	4.0
5.0	4.1	9.5	4.4	9.5	-3.4	3.3
5.5	4.5	10.0	5.3	Метеор № 58	Метеор № 61	3.3
6.0	4.7	11.0	5.0	+0.5	m	2.9
6.5	4.7	11.5	5.0	-4.6	m	2.7
7.0	4.7	12.0	5.2	1.0	5.0	3.0
7.5	4.7	12.5	-3.3	1.5	5.3	3.9

Продолжение таблицы 6

$\tau$	$M_e$	$\tau$	$M_e$	$\tau$	$M_e$	$\tau$	$M_e$
Метеор № 61 (продолжение)	$m$	Метеор № 63 (продолжение)	$m$	Метеор № 66 $m$		Метеор № 66 $m$	70*
2.0	-3.5	6.5	-3.2	-1.0	-0.6	0.0	-3.2
2.5	3.7	7.0	-2.9	0.0	1.2	+0.5	3.2
3.0	3.9	Метеор № 64 $m$		+0.5	1.7	1.0	3.3
3.5	4.0			1.0	2.0	1.5	3.3
4.0	4.2	0.0	-0.5	1.5	2.1	2.0	3.4
4.5	4.2	+0.5	0.9	2.0	2.2	2.5	3.5
5.0	4.0	1.0	1.2	2.5	2.3	3.0	3.7
5.5	3.6	1.5	1.6	3.0	2.5	3.5	3.8
6.0	-1.6	2.0	1.9	3.5	2.5	4.0	4.0
Метеор № 62 $m$	2.5	2.0	4.0	4.0	2.6	4.5	4.1
0.0	-2.5	3.0	2.0	4.5	2.6	5.0	4.3
+0.5	3.5	3.5	2.2	5.0	2.6	5.5	4.1
1.0	3.7	4.0	2.5	5.5	2.8	6.0	4.2
1.5	3.9	4.5	2.9	6.0	3.0	6.5	4.1
2.0	4.0	5.0	2.5	6.5	2.8	7.0	—2.8
2.5	4.2	5.5	2.8	7.0	2.4		
3.0	4.2	6.0	3.2	7.5	-1.8		
3.5	4.3	6.5	3.3	Метеор № 67 $m$		Метеор № 71 $m$	
4.0	4.5	7.0	3.6	0.0	-0.7	0.0	-2.4
4.5	4.6	7.5	3.9	+0.5	0.9	+0.5	2.7
5.0	4.6	8.0	3.9	1.0	1.1	1.0	3.0
5.5	4.6	8.5	4.0	1.5	1.3	1.5	3.2
6.0	4.7	9.0	4.2	2.0	1.5	2.0	3.4
6.5	4.9	10.0	4.2	2.5	1.6	3.0	3.4
7.0	5.1	10.5	4.2	3.0	1.3	3.5	3.5
7.5	5.2	11.0	4.2	3.5	1.0	4.0	3.6
8.0	5.4	11.5	4.3	-4.0	-0.7	4.5	3.8
8.5	5.5	12.0	4.3	Метеор № 68* $m$		5.0	3.8
9.0	5.5	12.5	4.2	0.0	-1.5	5.5	3.6
9.5	5.5	13.0	4.1	+0.5	1.2	6.0	3.5
10.0	5.9	13.5	4.0	1.0	0.9	6.5	3.5
10.5	5.6	14.0	3.9	1.5	1.5	7.0	3.3
11.0	5.5	14.5	4.1	2.0	1.8	7.5	3.5
11.5	5.2	15.0	4.8	2.5	1.2	8.0	3.7
12.0	5.5	15.5	5.4	3.0	0.8	8.5	3.9
12.5	7.2	16.0	-4.0	3.5	-0.8	9.0	4.1
13.0	8.0	Метеор № 65 $m$		10.0		9.5	4.2
13.5	-5.7			10.0		10.0	4.2
Метеор № 63 $m$	0.0	-1.7	Метеор № 69 $m$		10.5	4.1	
	+0.5	1.7	0.0	-2.3	11.0	4.1	
0.0	-2.9	1.0	1.7	0.0	-2.3	11.5	4.2
+0.5	3.3	1.5	1.8	+0.5	2.7	12.0	4.2
1.0	3.5	2.0	1.8	1.0	3.0	12.5	4.1
1.5	3.6	2.5	1.8	1.5	3.3	13.0	—4.0
2.0	3.7	3.0	1.8	2.0	3.5		
2.5	3.7	3.5	1.9	2.5	3.6	Метеор № 72 $m$	
3.0	3.7	4.0	2.0	3.0	3.6		
3.5	3.8	4.5	2.0	3.5	3.4		
4.0	3.8	5.0	2.1	4.0	2.9	0.0	-4.8
4.5	3.7	5.5	2.1	4.5	3.1	+0.5	4.7
5.0	3.6	6.0	2.0	5.0	3.1	1.0	4.5
5.5	3.4	6.5	1.9	5.5	2.7	1.5	4.1
6.0	3.3	7.0	-1.7	6.0	-2.0	2.0	-3.9

Продолжение таблицы 6

$\tau$	$M_e$	$\tau$	$M_e$	$\tau$	$M_e$	$\tau$	$M_e$
Метеор № 74	$m$	Метеор № 81	(продолжение)	Метеор № 83	(продолжение)	Метеор № 85	$m$
-1.0	-3.1	—	—	—	—	0.0	-1.8
0.0	3.1	5.0	-4.0	28	-1.8	+0.5	1.8
+0.5	3.0	5.5	3.9	30	1.9	1.0	1.8
1.0	3.0	6.0	3.8	32	1.9	1.5	2.1
1.5	3.0	6.5	3.9	34	1.9	2.0	2.0
2.0	3.0	7.0	4.1	36	1.9	2.5	1.9
2.5	3.0	7.5	4.3	38	1.9	3.0	-1.6
3.0	3.1	8.0	4.4	40	1.6		
3.5	3.1	8.5	4.5	42	1.4	Метеор № 86	
4.0	3.1	9.0	4.6	44	1.4		
4.5	3.2	9.5	4.7	46	1.0	0	-2.5
5.0	3.4	10.0	4.8	48	0.9	+1	2.5
5.5	3.7	10.5	4.9	50	0.6	2	2.5
6.0	3.9	11.0	4.9	52	0.2	3	2.5
6.5	3.5	11.5	5.0	54	-0.4	4	2.5
7.0	3.2	12.0	4.9	56	+0.3	5	2.5
7.5	3.0	12.5	4.8				
8.0	-2.9	13.0	4.6			6	2.5
Метеор № 76*	$m$	13.5	4.3	Метеор № 84		7	2.6
		14.0	-4.0			8	2.6
2.5	-2.3	Метеор № 82		3	-0.9	9	2.7
3.0	2.3			4	0.9	10	2.7
3.5	2.3	-2.0	-3.3	5	0.9	11	2.8
4.0	2.3	1.0	3.7	6	0.8	12	2.8
4.5	-2.3	0.0	3.9	7	0.8	13	2.9
		+0.5	3.9	8	0.7	14	3.0
Метеор № 77	$m$	1.0	3.9	9	0.8	15	3.0
		1.5	3.9	10	0.9	16	3.0
-1.0	-1.3	2.0	3.9	11	1.0	17	3.0
0.0	1.4	2.5	3.9	12	1.0	18	3.0
+0.5	1.6	3.0	3.8	13	1.2	19	3.1
1.0	1.7	3.5	3.7	14	1.2	20	3.2
1.5	1.9	4.0	3.5	15	1.3	21	3.2
2.0	2.0	4.5	-3.2	16	1.6	22	3.2
2.5	1.7	Метеор № 83		17	2.0	23	3.2
3.0	-1.2			18	2.3	24	3.2
		$m$		19	2.4	25	3.2
Метеор № 79	$m$	0	-0.5	20	2.3	26	3.1
		+1	0.5	21	2.0	27	3.1
0.0	-1.0	2	1.0	22	2.0	28	3.1
1.0	1.0	3	1.1	23	2.0	29	3.1
2.0	1.0	4	1.2	24	2.1	30	2.9
3.0	-1.1	5	1.4	25	2.4	31	2.8
		6	1.5	26	2.8	32	2.8
Метеор № 81	$m$	7	1.6	27	2.4	33	2.8
		8	1.6	28	1.3	34	2.8
1.0	-3.6	10	1.6	29	1.5	35	2.8
1.5	3.5	12	1.6	30	1.5	36	2.8
2.0	3.5	14	1.6	31	1.7	37	2.8
2.5	3.6	16	1.7	32	2.3	38	2.8
3.0	3.8	18	1.7	33	2.9	39	2.7
3.5	3.9	20	1.7	34	3.3	40	2.7
4.0	4.0	22	1.8	35	-1.7	41	2.7
4.5	4.0	24	1.8			42	2.6
		26	1.8			43	-2.5

Продолжение таблицы 6

$\tau$	$M_e$	$\tau$	$M_e$	$\tau$	$M_e$	$\tau$	$M_e$
	$m$		$m$		$m$		$m$
Метеор № 87	(продолжение)	Метеор № 89	(продолжение)	Метеор № 96	(продолжение)	Метеор № 97	(продолжение)
2	-0.1	5.5	-3.1	—2	-2.3	12.0	-3.8
3	0.1	6.0	2.9	1	2.4	12.5	4.0
4	0.3	6.5	2.8	0	2.6	13.0	4.0
5	0.3	7.0	2.6	+1	2.7	13.5	-4.0
6	0.5	7.5	2.0	2	2.6	к.к.	
7	0.5	8.0	-1.5	3	2.6		
8	0.8			4	2.5		
9	0.8	Метеор № 90		5	2.8	Метеор № 98	
10	0.6			6	2.7		
11	0.7	-1.0	-2.9	7	2.5	: 1	-0.7
12	1.0	0.0	3.6	8	2.6	2	1.5
13	1.1	+0.5	3.6	9	2.6	3	1.8
14	1.2	1.0	3.6	10	2.7	4	1.8
15	1.6	1.5	3.6	11	2.8	5	1.9
16	1.6	2.0	3.7	12	3.3	6	1.9
17	1.6	2.5	3.7	13	3.4	7	2.0
18	1.5	3.0	3.7	14	3.0	8	1.8
19	1.1	3.5	3.7	15	2.8	9	1.8
20	0.8	4.0	-3.5	16	2.4	10	1.9
21	0.7	Метеор № 94		17	2.2	11	1.7
22	0.6			18	2.1	12	1.5
23	0.2	1.0	-1.1	19	2.0	13	1.6
24	-0.0	2.0	1.2	20	1.9	14	1.4
		3.0	1.2	21	-1.6	15	1.1
		4.0	1.3	22	+0.1	16	-0.6
Метеор № 88						Метеор № 99	
	$m$						$m$
3	-2.9	6.0	2.0	Метеор № 97		2.0	-1.0
4	2.8	7.0	2.0			2.5	1.5
5	2.8	8.0	2.0	-3.0	-1.3	3.0	2.0
6	3.0	9.0	2.0	2.0	1.5	3.5	1.9
7	3.1	10.0	1.9	1.0	1.9	4.0	1.8
8	3.1	11.0	1.8	0.0	2.4	4.5	1.8
9	3.2	12.0	1.8	+0.5	2.5	5.0	-1.9
10	3.3	13.0	1.8	1.0	2.5		
11	3.4	14.0	1.6	1.5	2.6	Метеор № 102	
12	3.5	15.0	-1.2	2.0	2.5		
13	3.6	Метеор № 95		2.5	2.6	-3.0	-1.6
14	3.7			3.0	2.7	2.0	2.0
15	3.7	-1.0	-1.0	3.5	2.8	1.0	2.3
16	3.6	0.0	0.9	4.0	2.9	0.0	2.6
17	-3.5	+1.0	0.7	4.5	3.0	+0.5	2.7
Метеор № 89							
	$m$						
-1.0	-1.2	2.0	0.6	5.0	3.0	1.0	2.9
0.0	1.7	5.0	1.8	5.5	3.0	1.5	3.1
+0.5	1.8	6.0	2.0	6.0	3.1	2.0	3.2
1.0	1.9	7.0	2.0	6.5	3.3	2.5	3.3
1.5	2.2	8.0	2.0	7.0	3.4	3.0	3.4
2.0	2.6	9.0	1.9	7.5	3.3	3.5	3.5
2.5	2.8	10.0	2.0	8.0	3.4	4.0	3.6
3.0	2.9	11.0	2.0	8.5	3.5	4.5	3.6
3.5	3.0	12.0	2.0	9.0	3.5	5.0	3.7
4.0	3.2	13.0	1.8	9.5	3.6	6.0	3.8
4.5	3.3	14.0	1.4	10.0	3.6	6.5	3.9
5.0	3.2	15.0	-0.7	11.0	3.2	7.5	3.9

Продолжение таблицы 6

$\tau$	$M_e$	$\tau$	$M_e$	$\tau$	$M_e$	$\tau$	$M_e$
Метеор № 102 (продолжение)	$m$	Метеор № 104 (продолжение)	$m$	Метеор № 105 (продолжение)	$m$	Метеор № 106 (продолжение)	$m$
8.0	-3.7	5.0	-3.5	3.5	-1.3	21	-1.4
8.5	3.5	5.5	5.0	4.0	-1.3	22	1.1
9.0	2.4	6.0	5.1			23	-0.2
9.5	-1.6	7.0	5.2				
		7.5	6.3	Метеор № 106		Метеор № 73	
		8.0	6.9	3	-1.1	0.0	-3.4
	$m$	8.5	6.2	4	1.2	+0.5	3.4
+0.5	-2.5	9.0	7.0	5	1.3	1.0	3.5
1.0	2.6	9.5	7.1	6	1.3	1.5	3.5
1.5	2.7	10.0	7.3	7	1.3	2.0	3.6
2.0	2.9	11.5	7.0	8	1.3	2.5	3.7
2.5	3.0	12.0	-2.8	9	1.3	3.0	3.8
3.0	3.0			10	1.4	3.5	3.9
3.5	3.0			11	1.5	4.0	3.8
4.0	2.9	Метеор № 105		12	1.5	4.5	3.8
4.5	2.7			13	1.6	5.0	3.9
5.0	2.5	0.0	-0.6	14	1.6	5.5	4.0
5.5	-2.1	+0.5	1.0	15	1.7	6.0	4.0
		1.0	1.4	16	1.7	6.5	3.9
Метеор № 104	1.5	1.5	17	1.7	7.0	3.8	
	$m$	2.0	1.5	18	1.7	7.5	3.7
4.0	-2.3	2.5	1.5	19	1.7	8.0	3.7
4.5	3.0	3.0	1.4	20	1.6	8.5	-3.7

Имеются некоторые различия в положении максимума блеска метеоров, принадлежащих разным потокам. Невспыхивающие Персеиды дают в среднем  $p=0,71$ , Геминиды  $p=0,58$ . Между этими метеорами можно заметить и другие отличия, которые удобно проиллюстрировать следующей таблицей:

Таблица 7

Поток	$M_{\max}$	$A$	$p$	$t$
Персеиды (невспых.)	-3.6	0.8	0.71	7.3
Геминиды	-3.1	1.4	0.58	12.9

$t$  измерено в долях оборота обтюратора.  $A$  — амплитуда изменения блеска. К сожалению, мы располагаем данными только о 7 Геминидах и 18 невспыхивающих Персеидах, так что трудно говорить о реальности средних величин, помещенных в таблице 7. Тем не менее, некоторые из них косвенным образом подтверждаются наличием отмечавшихся в свое время зависимостей между  $t$  и скоростью  $v$ , между  $M$  и  $v$  и др. [5].

Некоторые из указанных связей можно проследить и по нашему материалу. Так, имеется слабая корреляция между геоцентрической скоростью  $v$  и максимальной яркостью метеора. Это видно из таблицы 8, где  $n$  означает число метеоров, по которому подсчитаны средние значения  $v$  и  $M_{\max}$  (звездные величины в максимуме блеска).

Таблица 8

$v$	$M_{\max}$	$n$
23 км/сек	-2.2	18
38	2.9	15
57	3.8	20
65	-3.6	26

Продолжительность свечения  $t$  отчетливо связана со скоростью, что подтверждает таблица 9.

Таблица 9

$v$ км/сек	$t$	$n$
20	25.8	10
28	14.3	10
37	14.0	10
50	8.6	9
59	8.8	14
62	7.8	11
67	7.4	15

Однако нам не удалось обнаружить никакой зависимости между  $p$  и  $v$  (за исключением разницы между  $p$  для Персеид и Геминид) и между  $M$  и  $p$ , которые были найдены по визуальным наблюдениям метеоров [5]. Для Персеид, по-видимому, имеет место корреляция между  $t$  и  $M_{\max}$ .

Таблица 10

$M_{\max}$	$t$	$n$
-1.8	4.9	6
-3.3	7.7	6
-4.5	9.6	6

12 из 83 фотометрированных нами метеоров дают вспышки. Среди них аномальная кривая блеска у метеора № 39, где усиление блеска произошло почти на средине пути и блеск оставался постоянным вплоть до исчезновения метеора. В остальных случаях вспышки происходили в конце пути. У всех

метеоров, кроме № 23, этому предшествовало ослабление блеска, так что до вспышки наблюдался еще один максимум. В таблице 11 сопоставлены характеристики обычных и вспыхивающих метеоров.

Таблица 11

	<i>t</i>	<i>M</i> <sub>max</sub>	<i>M</i> <sub>всп.</sub>	<i>A</i>	<i>A</i> <sub>всп.</sub>	<i>p</i>	<i>p</i> <sub>всп.</sub>
Обычные	12.1	— 3.3	<i>m</i>	1.1	<i>m</i>	0.67	
Вспыхив.	13.5	— 4.7	-- 6.2	1.1	3.1	0.47	0.87

Данные таблицы 11 свидетельствуют о том, что вспыхивают относительно более продолжительные и яркие метеоры. Бросается в глаза тот факт, что первый максимум яркости вспыхивающих метеоров наступает значительно раньше, чем максимум яркости обычных метеоров.

#### ЛИТЕРАТУРА

1. Visual Magnitudes of Bright Stars reduced to the Harvard Photovisual System, Harvard Observatory Mineograms, Series III, № 2, 1938.
2. Сытинская Н. Н., Астроном. журн. 12, 174, 1935.
3. Иванников В. И., Бюлл. САО, № 15, 14, 1956.
4. Иванников В. И., Бюлл. САО, № 21, 3, 1957.
5. Астапович И. С., Метеорные явления в атмосфере Земли, М., 1958, стр. 280—294.

ТРУДЫ ОДЕССКОГО ГОСУДАРСТВЕННОГО УНИВЕРСИТЕТА

им. И. И. МЕЧНИКОВА

год XCVIII

том V

Известия Астрономической обсерватории

том 152

вып. 2

Н. С. КОМАРОВ

## ИССЛЕДОВАНИЕ СПЕКТРА МЕТЕОРА 12 АВГУСТА 1958 ГОДА

### 1. Введение

Спектр метеора был получен 12 августа 1958 года на метеорном спектральном патруле Одесской астрономической обсерватории. Метеорный патруль снабжен 4-мя камерами F-24 со светосилой 1:4.5 и с полем зрения в 60°. Фокусное расстояние каждой камеры 5 дюймов. На камеры поставлены призмы с преломляющими углами в 17°.

Спектр содержит 16 линий, причем первыми появляются самые интенсивные линии К и Н Са II. Немного позже с красной стороны спектра появляется полоса сливающихся линий.

Данный метеор имеет базисные снимки, по которым были определены радиант и скорость. Радиант имеет координаты:

$$t = -03^{\text{h}}40^{\text{m}}59\overset{\text{s}}{.}2$$

$$\delta = +58^{\circ}31'14\overset{\text{s}}{.}5''$$

Средняя скорость метеора составляет 60 км в секунду.

### 2. Отождествление метеорного спектра

При отождествлении линий метеорного спектра применялся следующий упрощенный способ построения дисперсионной кривой непосредственно по исследуемой спектрограмме. Результаты измерений метеорной спектрограммы наносятся на миллиметровую бумагу в произвольном масштабе по оси Y и через эти точки проводятся линии, параллельные оси X. По оси X наносятся длины волн наиболее часто встречающихся линий метеорных спектров и через эти точки также проводятся линии, параллельные оси Y. Затем из всех точек пересечения выбираются такие, которые лежат на плавной кривой. Эту плавную кривую можно в первом приближении принять за дисперсионную и по ней определить длины волн всех остальных линий.

На этой кривой были выбраны три точки (рис. 1)

$$\begin{aligned} n_1 &= 0.346 & n_2 &= 0.000 & n_3 &= -0.454 \\ \lambda_1 &= 3934 \text{ \AA} & \lambda_2 &= 4481 \text{ \AA} & \lambda_3 &= 5890 \text{ \AA} \end{aligned}$$

и вычислены постоянные известной формулы Гартмана:

$$\lambda_0 = \frac{\frac{n_1}{n_3}(\lambda_2 - \lambda_3) - (\lambda_2 - \lambda_1)n_3}{\frac{n_1}{n_3}(\lambda_2 - \lambda_3) - (\lambda_2 - \lambda_1)},$$

$$n_0 = \frac{-n_1}{\frac{\lambda_2 - \lambda_0}{\lambda_1 - \lambda_0} - 1} = \frac{-n_3}{\frac{\lambda_2 - \lambda_0}{\lambda_3 - \lambda_0} - 1},$$

$$c = (\lambda_1 - \lambda_0)(n_0 - n_1) = (\lambda_2 - \lambda_0)n_0 = (\lambda_3 - \lambda_0)(n_0 - n_3).$$

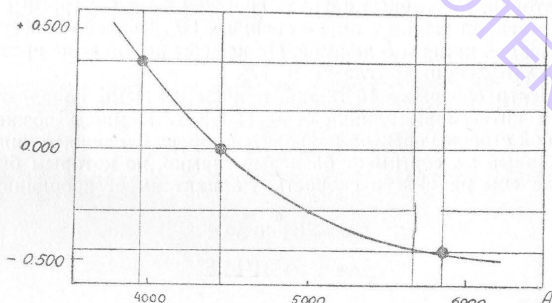


Рис. 1.

В результате получено:

$$\lambda_0 = 1903, \quad n_0 = -1.285, \quad c = -3313,$$

что позволило определить длины волн всех остальных линий метеорного спектра.

Введение такой методики связано с отсутствием на спектрах нуль-пункта. Этот метод эффективен при малой дисперсии. Задача намного облегчается, если удастся найти какую-нибудь характерную линию. Далее, как показала практика, для выбора часто встречающихся линий полезно учитывать «фамильное» сходство метеорных спектров одного потока [1].

Результаты определения длин волн и отождествления линий метеорного спектра приведены в таблице 1.

### 3. Фотометрирование метеорного спектра

Трудность данной части работы состояла в том, что проявленная пленка, на которой имелся спектр метеора, не была простандартизована и прокалибрована. К счастью, proximity от спектра метеора находился спектр звезды  $\alpha$  Лиры класса A0 удовлетворительного качества, который позволил получить некоторые качественные данные о метеоре.

Прежде всего были получены регистрограммы спектра метеора в четырех положениях и спектра  $\alpha$  Лиры на самогистрирующем микропhotометре МФ-4. Запись производилась параллельно направлению дисперсии при 21-кратном увеличении и масштабе 25:1.

Цвет метеора определялся по отношению к звезде  $\alpha$  Лиры. С этой целью находились эффективные длины волн  $\lambda_e^*$  и  $\lambda_e^n$ .  $\lambda_e^*$  находилось из распределения энергии для средней звезды класса A0[2]. В результате обычных вычислений для  $\alpha$  Лиры в фотографической области получена эффективная длина волны  $\lambda_e^* = 3926 \text{ \AA}$ . По регистрограмме мы можем определить некоторые  $\lambda^*$  и  $\lambda^n$ , которые будут характеризовать цвет звезды и метеора в совокупности с фактором чувствительности цветовой системы от длины волн (атмосфера, призмы, объектива и пленки). Считая, что чувствительность цветовой системы не зависит от снимаемого объекта, а также то, что почернения соответствуют нормальному участку характеристической кривой, можно записать очевидное равенство:

$$\lambda_e^* - \lambda^* = \lambda_e^n - \lambda^n.$$

Откуда находим:

$$\lambda_e^n = \lambda_e^* - \lambda^* + \lambda^n.$$

В результате вычислений получено:

1. Из регистрограммы  $\alpha$  Лиры  $\lambda^* = 4264 \text{ \AA}$ .
2. Из регистрограммы метеора после II вспышки  $\lambda_1^n = 4086 \text{ \AA}$ .
3. Из регистрограммы II метеорной вспышки  $\lambda_2^n = 4119 \text{ \AA}$ .
4. Из регистрограммы метеора до II вспышки  $\lambda_3^n = 4513 \text{ \AA}$ .
5. Из регистрограммы I метеорной вспышки  $\lambda_4^n = 4346 \text{ \AA}$ .

Учтя, что эффективная длина волны  $\alpha$  Лиры  $\lambda_e^* = 3926 \text{ \AA}$ , получаем соответственно эффективные длины волн излучения метеора в четырех положениях:

$$\lambda_{e_1}^n = 3748 \text{ \AA}, \lambda_{e_2}^n = 3781 \text{ \AA}, \lambda_{e_3}^n = 4175 \text{ \AA}, \lambda_{e_4}^n = 4008 \text{ \AA}.$$

Итак, легко видеть, что во время полета метеора эффективная длина волны излучения сдвигается в фиолето-

вую сторону, причем цвет метеора соответствует цвету быстрых метеоров [3].

Для определения относительных интенсивностей линий метеорного спектра необходимо найти спектральную чувствительность системы. Для этой цели были вычислены отношения  $J_{\lambda}/D_{\lambda}$  в зависимости от  $\lambda$ , где  $J_{\lambda}$  — распределение энергии в спектре  $\alpha$  Льры, а  $D_{\lambda}$  — соответствующие поглощения. Принимая интенсивность линии  $K$  ионизированного кальция во 2 вспышке за единицу, можно для прямолинейного участка характеристической кривой определить относительные интенсивности других линий. Таким образом, были найдены относительные интенсивности линий К и Н Са II, Na I, Mg II, Mg I, Fe (3850 Å) и относительная интенсивность трех плохо разделимых линий Fe I + Si II + H (среднее  $\lambda 6437 \text{ Å}$ ) в различных участках пути метеора. Интенсивности линий Mg II и Mg I несколько завышены, так как поглощения, соответствующие им, находятся в области недодержек.

Соответствующие результаты приведены в таблице 1.

Таблица 1

№	$\lambda \text{ Å}$	Элемент	Табл. $\lambda \text{ Å}$	Табличная интенсив- ность		Потен- циал возб. eV	Определенная интенсив- ность			
				дуга	искра		I	II	III	IV
1	3847	Fe I	3850	7	4	4.23	0.312	0.848	0.207	0.418
2	3895	Fe I	3896	5	3	8.29	—	—	—	—
3	3934	K Ca II	3934	10 R	10	3.15	.622	1.000	.441	.876
4	3970	H Ca II	3969	10 R	10	3.12	.421	0.788	.293	.627
5	4070	Fe I	4072	7	8	4.65	—	—	—	—
6	4122	Fe I	4122	4	1	5.83	—	—	—	—
7	4196	Fe I	4198	6	3	5.35	—	—	—	—
8	4344	Fe I	4344	2	—	?	—	—	—	—
9	4453	Mn, Ti	4453	7	3	5.72	—	—	—	—
10	4481	Mg II	4481	10d	6	11.63	.049	.277	.058	.117
11	5172	Mg I	5173	10R	10	5.11	.020	.105	.042	.041
12	5890	Na I	5890	10R	10	2.11	.032	.075	.049	.067
13	6118	Ca I	6122	8R	8	3.91	—	—	—	—
14	6251	Fe I	6252	4	2	4.39	—	—	—	—
15	6356	Si II	6359	—	—	10.67	0.045	0.099	0.041	0.086
16	6561	H	6563	—	—	12.09	—	—	—	—

Второй столбец содержит измеренные длины волн; третий столбец — атом или ион; четвертый столбец — лабораторные длины волн; пятый столбец — интенсивности линий (дуга, искра); шестой столбец — потенциалы возбуждения; седьмой, восьмой, девятый, десятый столбцы — измеренные относительные интенсивности в разных положениях метеорного спектра (I — после 2-й вспышки, II — 3-я вспышка, III — до 2-й вспышки, IV — 1-я вспышка).

Из таблицы видно, что интенсивность линий метеорного спектра K Ca II, Fe I, Fe I+Si II+H увеличивается во время вспышек (рис. 2), причем в коротковолновой области в большей степени, чем в длинноволновой; другими словами, во время вспышек метеор голубеет (рис. 3).

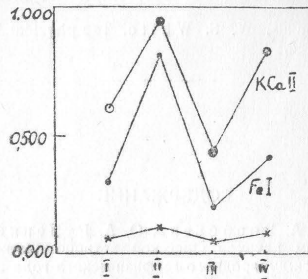


Рис. 2.

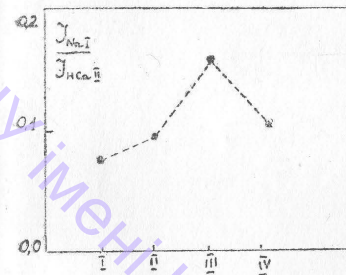


Рис. 3.

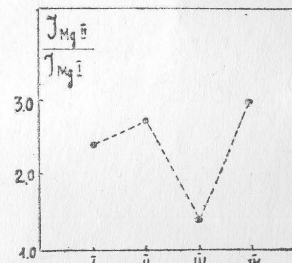


Рис. 4.

Если бы явление свечения метеора происходило в условиях термодинамического равновесия, то описанное поведение линий свидетельствовало бы о повышении эффективной температуры во время вспышек [4].

В заключение были вычислены отношения интенсивностей линий ионизированного и нейтрального магния. Из рис. 4 видно, что, по-видимому, степень ионизации увеличивается во время вспышек. Можно отметить, что отсутствие резонансной линии Ca I ( $\lambda 4227 \text{ Å}$ ) при значительной интенсивности Ca II говорит о том, что весь кальций практически ионизован во время полета метеора.

## ЛИТЕРАТУРА

1. Астапович И. С., Метеорные явления в атмосфере Земли, Москва, 1958.
2. Landolt-Bornstein, Zahlenwerte und Funktionen aus Physik, Chemie, 1954.
3. Jachchia L. G., On the "Color Index" of Meteors, AJ, 62, 10, 360—362, 1957.
4. R. N. Thomas, W. S. White, The physical Theory of Meteors Ap. J., 118, № 3, 1953.

## СОДЕРЖАНИЕ

Е. Н. Крамер, В. А. Воробьева, О. А. Руденко, Опыт работы на метеорном патруле Одесской астрономической обсерватории во время Международного геофизического года . . . . .	5
Р. Б. Теплицкая, Н. Н. Израецкая, Фотометрия метеоров (Эффективные звездные величины 83 метеоров)	65
Н. С. Комаров, Исследование спектра метеора 12 августа 1958 года	63

Редактор Е. М. Миронец

Техредактор Е. И. Мавергоз

Корректор Л. К. Дехтар

---

БФ 29504.

Подписано к печати 2-X-1963 г.

Формат бумаги 60×92<sup>1</sup>/<sub>16</sub>. Печ. л. 5,5. Учетно-издат. листов 5,5.

Зак. 1329.

Цена 40 коп.

Тираж 700.

Типография Одесского госуниверситета им. И. И. Мечникова, Щепкина, 12.